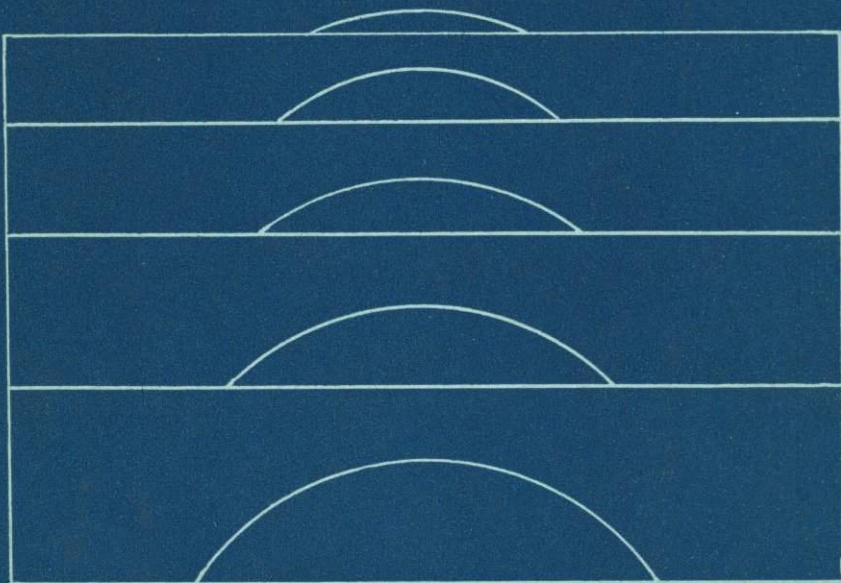
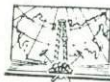


# КЛАССИФИКАЦИЯ ЛУННЫХ МАГМАТИЧЕСКИХ ПОРОД



# КЛАССИФИКАЦИЯ ЛУННЫХ МАГМАТИЧЕСКИХ ПОРОД

4760



МОСКВА «НЕДРА» 1985



Классификация лунных магматических пород/О. А. Богатиков, В. И. Гоньшакова, Д. И. Фрих-Хар и др.—М.: Недра, 1985, 72 с., ил.

Впервые осуществлена классификация лунных магматических пород на основе принципов, апробированных при систематике земных образований и с применением методов математической статистики. Подобный унифицированный подход не только подчеркивает общность магматизма Земли и Луны, но и позволяет корректировать на основании опыта изучения земных пород выделение таксономических подразделений лунных пород и сравнивать их с одноименными земными. Как и для земных пород классификация лунных магматических пород дается на химико-минералогической основе и является многоступенчатой.

Для геологов различных специальностей: петрологов, петрографов, планетологов.

Табл. 9, ил. 39, список лит.—49 назв.

Авторы: О. А. Богатиков, В. И. Гоньшакова, Д. И. Фрих-Хар, Г. Г. Кочемасов, В. М. Волкова, И. А. Чижкова, Б. В. Осипов

Рецензент: М. С. Марков, д-р геол.-мин. наук (Институт геологии АН СССР, ГИН АН СССР)

К 1904030000—467  
043(01)—85 61—85

© Издательство «Недра», 1985

## ВВЕДЕНИЕ

За десятилетие, прошедшее со времени доставки на Землю первых лунных образцов, уже накоплено более тысячи петрохимических анализов лунных магматических пород. Существуют также ограниченные данные по их петрографии и минералогии. Этот материал послужил основой для создания нескольких классификаций лунных горных пород и разработки вопросов их петrogenезиса [1, 3, 31, 40].

Различные приемы статистической обработки массива петрохимических данных, подкрепленные петрографическими исследованиями, позволили предыдущим исследователям выделить несколько десятков разновидностей магматических пород Луны (главным образом, основных). Более или менее единодушно эти разновидности, в свою очередь, группируются в небольшое число подразделений (3—7). Гораздо меньше согласия существует по вопросам генетических соотношений между группами и разновидностями пород. Несомненная сложность этих вопросов на всех этапах исследования усугублялась очевидной неполнотой имеющихся коллекций и недостаточной их изученностью. Так, в ранних классификациях лунных пород (до 1976 г.) отсутствовала важная группа «морских» базальтов — очень бедных титаном (VLT — basalts). Впервые фрагменты этих пород были доставлены «АЛС-24». Позднее при более тщательном изучении коллекций подобные базальты были обнаружены среди образцов с корабля «Аполлон-17», а единичные обломки богатых титаном базальтов — в районах с преобладанием «нормальных» базальтов. По-видимому, и на сегодняшний день не все разновидности лунных горных пород представлены в земных коллекциях и учтены при исследовании.

Предыдущие классификации лунных пород строились либо исключительно на химической основе [3], либо на данных нормативной минералогии [15].

Наиболее разработанную и полную классификацию предложили В. Энгельгардт и Р. Штенгелин [31], которые статистически обработали 678 химических анализов лунных образцов со структурами изверженных пород. К достоинствам этой классификации, с нашей точки зрения, относится использование принципов классификации земных магматических пород, предложенных Международной подкомиссией МСГН по систематике изверженных пород. К сожалению, авторы не проявили последовательности в применении этой классификации. В отсутствие достаточного количества данных по модальному минеральному составу лунных пород они, так же как и Дж. Вуд, использовали в качестве ведущего минералогического признака нормативный минеральный состав.

Наш опыт разработки классификации земных магматических пород показал неправомерность использования нормативных ми-

ралов для установления видов пород. Нормативный состав создает ложное представление о петрографическом облике породы. Например, в земных оливиновых базальтах содержание модального оливина обычно колеблется от 5 до 15 % (при содержании MgO от 7 до 12 %), а нормативный оливин в подобных породах вообще нередко отсутствует. Напротив, в лейкобазальтах, обычно не содержащих модального оливина, в нормах иногда появляется оливин; при этом содержание форстеритовой составляющей (Fo) в нем иногда на порядок выше, чем в модальном оливине собственно базальтов ( $MgO=5-7\%$ ). Нормативный состав не дает информации и об условиях становления породы, существенных при ее классификации.

Анализ предшествующих классификаций лунных пород показывает несостоительность применения нормативных минералов и для классификации лунных пород. Так, на основе «норм», на Луне выделены серии щелочных базальтов \*, содержащих только клинопироксены, и толеитовых с орто- и клинопироксенами. Здесь очевидно несоответствие объему понятий, установленных для земных пород по модальным минеральным ассоциациям [12, 10].

По другой причине в настоящее время нас не может удовлетворять классификация и номенклатура лунных пород, разработанные Д. Штофлером, Г. Кноллом и др. [44]. В этой работе не учтены рекомендации Терминологической комиссии Петрографического комитета ОГГГ АН СССР, касающиеся правил образования названий горных пород. Эти правила не допускают добавления к основному термину в качестве прилагательного названия породы другого вида. В рассматриваемой этими авторами классификации предлагаются такие названия пород как: троктолитовый анортозит, анортозитовый норит и пр.

Подобие лунного магматизма земному определяет приемлемость основных принципов классификации земных магматических пород, основанной на химических, модальных минералогических и геологических признаках [8] в приложении и к лунным.

Таким образом, в предлагаемой классификации лунных магматических пород основу систематики составляют химический состав, выраженный в процентах и, где это возможно, модальная (реальная) минералогия. Сохранение единого подхода к классификации позволяет естественно использовать данные по земным породам в идентификации лунных аналогов. Лишь разделение на ряды лунных пород происходит по отличным от земных признакам, что обусловлено, по-видимому, различным уровнем дифференцированности обеих планет. Так, для Земли, прошедшей полный эволюционный цикл развития с образованием целого ряда «оболочек», характерно проявление пород, широко варьирующих по содержанию щелочей ( $Na_2O+K_2O, \%$ ), что позволило выделить по этому признаку в каж-

\* В соответствии с последней классификацией земных магматических горных пород их следует определять как «субщелочные базальты» [8, 12].

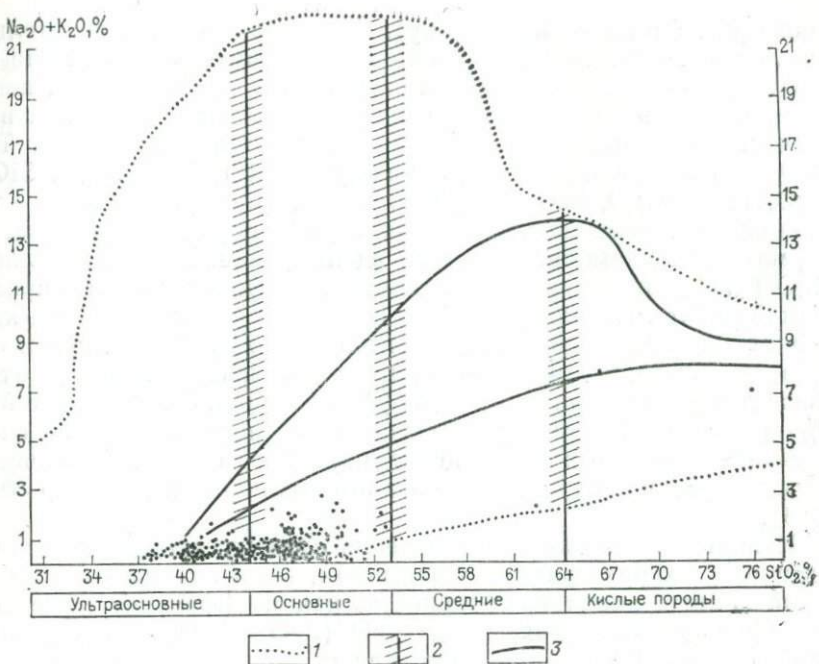


Рис. 1. Положение фигуративных точек лунных магматических пород

1 — область распространения химических составов магматических горных пород; 2 — границы разделения магматических горных пород на группы по содержанию кремнезема с «полями неопределенности»; 3 — область распространения субщелочных пород, выше — область распространения щелочных пород.

дой группе земных пород соответствующие петрохимические ряды — нормальной щелочности, субщелочные, щелочные.

Лунные магматические породы, которые нам известны, имеют по сравнению с земными пониженное содержание щелочей ( $\text{Na}_2\text{O}$ ,  $\text{K}_2\text{O}$ ), обычно не превышающее 3,0 %, а чаще всего колеблющееся в пределах 0,1—2 %. Эти цифры в систематике земных магматических пород соответствуют магматическим породам нормальной щелочности (нормального ряда), пределы содержаний  $\text{Na}_2\text{O} + \text{K}_2\text{O}$  в которых составляют 0—4,5 %. Аналогов субщелочных и щелочных пород с содержанием  $\text{Na}_2\text{O} + \text{K}_2\text{O}$  выше 4,5 % (до 20 %), и наличием щелочных темноцветных минералов в первых и фельдшпатоидов во вторых, на поверхности Луны пока не обнаружено (рис. 1) \*.

Заметим, что большая часть figurativных точек в поле ультраосновных пород нормального ряда (см. рис. 1) отвечает ильменитовым и ильменит-оливиновым базальтам и габбро, содержание  $\text{SiO}_2$  в которых занижено высокой концентрацией  $\text{FeO}$  и  $\text{TiO}_2$  (см.

\* Разделение пород по содержанию  $\text{Na}_2\text{O} + \text{K}_2\text{O}$  (%) то же, что и для земных пород [8].

также рис. 7 и пояснения к нему). Очевидно, что последовательное использование по аналогии с земными породами параметра  $\text{Na}_2\text{O} + \text{K}_2\text{O}$  в качестве ведущего для систематики лунных пород, неприемлемо. В то же время проведенные исследования вариаций в содержании отдельных химических компонентов ( $\text{MgO}$ ,  $\text{CaO}$ ,  $\text{TiO}_2$ ,  $\text{Al}_2\text{O}_3$  и др. и их соотношений между собой ( $\text{Al}_2\text{O}_3 - \text{MgO}$ ,  $\text{SiO}_2 - \text{MgO}$ ,  $\text{TiO}_2 - \text{MgO}$ ,  $\text{FeO} - \text{MgO}$ ) показали, что наряду с  $\text{SiO}_2$  — традиционным в систематике лунных горных пород параметром, информативным компонентом для идентификации пород, является  $\text{MgO}$  (%). Этот компонент и принят классификационным в предлагаемой работе. Используется он в соответствии с принципами классификации земных пород. Действительно, содержание  $\text{MgO}$  и оливина, например, в земных базальтах нормального ряда служит основой для разделения их на виды [8, с. 52, табл. 5]. Параметр  $\text{MgO}$  (%) рекомендован также Международной подкомиссией по систематике изверженных пород Международного союза геологических наук для разбраковки земных базальтовых пород (Циркуляр № 36, 1983).

Использование для подразделения лунных пород других петрохимических характеристик, в частности, такого традиционного для серий земных пород коэффициента, как коэффициент железистости (фракционирования) —  $K_{\Phi} = \text{FeO}/(\text{FeO} + \text{MgO}) \cdot 100$ , оказалось неэффективным. Так, например, для отдельных видов лунных базальтов значения  $K_{\Phi}$  перекрываются: для пикробазальтов  $K_{\Phi} = 53 - 61$ , оливиновых базальтов 50—74, базальтов 70—79, лейкобазальтов 75—84, двупироксеновых базальтов  $K_{\Phi} = 45 - 56$ .

Работа выполнена с использованием методов математической статистики. Корректность сведения в единую выборку данных по химическому составу, полученных различными методами, обоснована ранее [3].

Всего при классификации лунных магматических пород было использовано более 600 анализов; из них главную долю составляли базальты и долериты. Плутонические породы представлены меньшим числом химических анализов. Химические анализы были заимствованы как из отечественных, так и из зарубежных источников. При этом авторам была любезно предоставлена выборка анализов лунных пород, имеющаяся в ГЕОХИ АН СССР. При классификации базальтов нами не учитывались химические анализы стекол, поскольку они могли образоваться при импактном переплавлении механической смеси различных видов пород.

Известно, что главную массу доставленных на Землю лунных образцов, составляют породы основного состава. Значительно реже отмечаются породы ультраосновного, среднего и кислого состава. Подобная диспропорция, отражающая, возможно, естественные количественные соотношения различных пород на Луне, не позволяет классифицировать все лунные породы с равной степенью детальности. В соответствии с этим мы разработали две классификационные системы: общую или генеральную систематику для всех лунных пород (гл. 1) и отдельно классификацию основных

пород (гл. II), где количество информации достаточно для подробной их характеристики. В гл. III приводятся некоторые данные о мало распространенных на Луне ультраосновных, средних и кислых породах.

Для сравнения выделенных видов пород Луны и Земли (гл. IV) на ЭВМ «Мир-2» были вычислены средние значения 10 петрогенных химических компонентов для каждого вида пород обеих планет. Проведено покомпонентное сравнение их состава и составлены диаграммы, отражающие значимые различия (уровень значимости 0,05) в химическом составе однотипных видов пород обеих планет. Вычислены также парные коэффициенты корреляции для однотипных видов пород Луны и Земли и составлены уравнения регрессии, характеризующие их зависимость.

В прилагаемых классификационных таблицах (гл. II) даны следующие обозначения минералов.

Ab	альбит	Il	ильменит
Ap	анортитовая составляющая в плагиоклазе	M	темноцветные минералы
Aug	авгит	Mt	магнетит
Bt	биотит	Ol	оливин
Cpx	клинопироксен	Og	ортоклаз
Crt	хромшпинелид	Opx	ортопироксен
Di	диопсид	Pl	плагиоклаз
En	энстатит	Po	троилит
Fa	фаялитовая составляющая в оливине	Rx	пироксен
Fs	ферросилитовая (клиноферросилитовая) составляющая в пироксene	Rxf	пироксферроит
Fsp	калиевый и калиево-натриевый полевой шпат	Q	кварц
Ged	геденбергит	Qs	кристобалит
Hm	гематит	Qt	тридимит
Hu	гиперстен	Rm	рудный минерал
		Sp	шпинель
		ti-Aug	титанавгит
		ti-Mt	титаномагнетит
		Wo	волластонит

## ГЛАВА I.

### ОБЩАЯ СИСТЕМАТИКА МАГМАТИЧЕСКИХ ПОРОД

Систематика, таксономия — наука, позволяющая упорядочить, произвести группировку во взаимосвязанные и взаимоподчиненные таксономические единицы. Особая функция систематики магматических горных пород состоит в создании практической возможности ориентироваться во множестве существующих видов магматических горных пород. Систематика призвана учитывать строгие разграничения и постепенность переходов от одного таксономического подразделения к другому [8].

Общая систематика лунных пород, так же как и земных, предусматривает выделение пяти главных номенклатурных единиц — типа, класса, группы, ряда и семейства горных пород.

1. Тип горной породы характеризует способ ее образования —

магматический, осадочный и др. В данной работе систематизируются только магматические лунные породы.

2. Магматические породы по фациальным признакам можно разделить на два основных класса — plutонических и вулканических горных пород. При выделении класса помимо петрографических признаков и, в первую очередь, особенностей структуры, должны учитываться и геологические данные. Фациальные признаки в общем случае отражают глубину и скорость застывания магматической горной породы, условия ее кристаллизации.

3. Для выделения групп магматических пород (ультраосновных, основных, средних, кислых) используется традиционный и общепринятый химический признак — содержание кремнезема.

4. Группы лунных магматических пород делятся по разному уровню магнезиальности ( $MgO$ , %) на ряды.

5. Распределение лунных горных пород по группам (содержание  $SiO_2$ ) и по рядам (степень магнезиальности) позволяет выделить семейства лунных магматических горных пород с определенными для каждого семейства петрохимическими и петрографическими чертами. При этом петрографический признак является главным при выделении семейств полнокристаллических plutонических пород, для вулканических пород, напротив, семейства выделяются в основном по главным и дополнительным петрохимическим признакам, хотя для каждого семейства важнейшим признаком отается общность минералогических и структурных особенностей образующих их вулканических пород.

6. Вид горной породы определяется набором (комбинацией) типоморфных (главных) и ( $\pm$ ) существенных минералов, их количественными соотношениями и составом в совокупности с петрохимическими параметрами соответствующих группе, ряду, семейству. В некоторых семействах горных пород исторически сложившимся является разделение на виды по количественным соотношениям главных пордообразующих минералов.

Среди пордообразующих минералов целесообразно различать три группы [8].

1. Типоморфные минералы (кардинальные, по терминологии А. Лакруа, 1933 г.), определяющие минералогическое своеобразие ряда и являющиеся опорными (корневыми) для разделения его на семейства. Типоморфные минералы или их ассоциации служат индикаторами определенных генетических условий. По ним можно судить о проявлении определенных процессов, об условиях минералообразования и пр. [17, 18].

2. Существенные минералы (термин А. Лакруа), которые в комбинации с типоморфными минералами обусловливают разделение семейств на виды.

3. Характерные второстепенные минералы, которые в сочетании с типоморфными и существенными служат основой для выделения разновидностей горных пород.

Как показывают статистические данные, содержания типоморфных и ( $\pm$ ) существенных минералов для большей части видов гор-

ных пород составляют  $>10\%$ . В то же время известны и отклонения.

Так, например, в земных дунитах или оливинитах, типоморфными минералами которых, наряду с оливином, являются соответственно хромшипинелид или магнетит, содержание последних составляет ниже 10% ( $<5\%$ ). Подобная же картина наблюдается в некоторых видах средних горных пород, например, в кварцевых диоритах, содержание кварца в которых колеблется от 5 до 20%. Оливиновые виды отдельных ультраосновных и основных горных пород (оливиновое габбро, оливиновый норит и др.) также содержат оливина 5—20%. Указанные отклонения следует учитывать при выделении оливиновых или кварцевых видов лунных горных пород.

Выделение видов и разновидностей лунных пород, главным образом, плутонических, мы предлагаем проводить в соответствии с рекомендациями, сформулированными А. Н. Заварицким для земных пород следующим образом: «Разделение габбровых пород производится по таким признакам: во-первых, по преобладанию моноклинного или ромбического пироксена или роговой обманки, во-вторых, по присутствию или отсутствию, а иногда и преобладанию оливина, отчасти по присутствию кварца, биотита и т. д. Состав плагиоклаза также приходится принимать во внимание» [7]. Этот же принцип, по мере возможности, сохранен и при расчленении базальтов.

Для определения вида породы, помимо химического и минерального составов и структурных особенностей, привлекаются такие информативные показатели, как коэффициент глиноземистости —  $(al') = Al_2O_3 / (FeO + Fe_2O_3 + MgO)$ , коэффициент фемичностии —  $(f') = FeO + MgO + MnO + TiO_2$ .

Для бесполевошпатовых ультрамафитов, ввиду особенностей их химического состава, эти показатели неприемлемы; для них предлагаются использовать другие информативные коэффициенты [6]:  $\bar{A} = Al_2O_3 + CaO + Na_2O + K_2O$  и  $S = SiO_2 - (Fe_2O_3 + FeO + MgO + TiO_2)$ .

В дальнейшем каждый вид породы подразделяется на разновидности в зависимости от: а) особенностей состава главных породообразующих минералов (повышенная или пониженная основность плагиоклаза, высокая или низкая железистость темноцветных минералов); б) присутствия второстепенного минерала в количествах, выше нормального для данного вида горной породы; в) структурного признака и т. д.

Помимо названных классификационных признаков для отдельных семейств и видов лунных пород применяются дополнительные характеристики. К ним относятся, например,  $Al_2O_3 : MgO$ ,  $CaO : MgO$  и др. (см. табл. 5).

Таким образом, лунная горная порода (вид, разновидность) может быть определена только по комплексу признаков, в основе которых лежат химический и минеральный состав породы.

Так же как и для земных пород [8], на Луне выделены по содержанию кремнезема четыре группы:

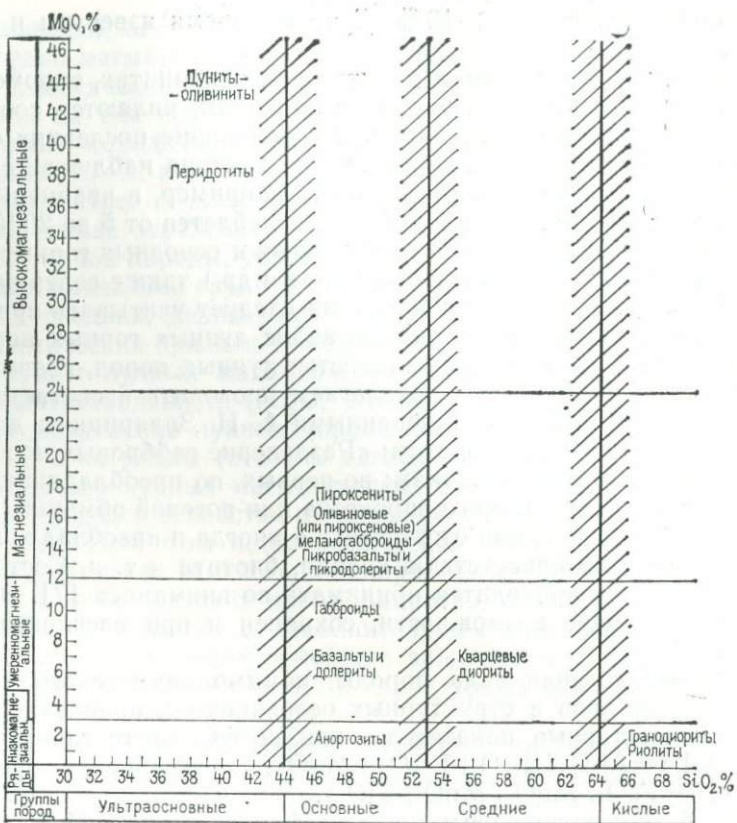


Рис. 2. Систематика лунных магматических пород в координатах  $\text{SiO}_2 - \text{MgO}$  (%)

Штриховкой показаны границы разделения магматических пород на группы по содержанию кремнезема с «полями неопределенности».

- 1) ультраосновных пород  $\text{SiO}_2 < 44\%$ ,
- 2) основных пород  $\text{SiO}_2 44-53\%$ ,
- 3) средних пород  $\text{SiO}_2 53-64\%$ ,
- 4) кислых пород  $\text{SiO}_2 > 64\%$ .

Границы между этими группами магматических пород в известной мере условны. Рекомендуемые границы для лунных пород основаны статистическим анализом геологически достоверного фактического материала по земным породам. Границы линии (рис. 2) соответствуют статистическим минимумам, а заштрихованные площади — «полям неопределенности» или пределам колебаний генеральных средних при 95 % уровне достоверности ( $x = \bar{x} \pm 2\sigma$ ).

Выявленные по содержанию кремнезема группы включают породы, различные по набору минералов и по их количественным соотношениям.

Таким образом, уже с этого уровня упорядочивания лунных

пород мы используем в качестве одного из критерииов модальный минеральный состав.

Группы пород подразделяются в зависимости от фациальной принадлежности на классы: вулканический и плутонический. Очевидно, что подобное подразделение для лунных пород является достаточно условным. Оно определяется по большей части лишь структурными критериями и не обосновано прямыми геологическими наблюдениями. Отсутствие в наших коллекциях достоверных образцов того или иного класса не может в то же время однозначно свидетельствовать о действительном отсутствии на Луне геологических тел соответствующих фаций. Оно, однако, в любом случае отражает малую их распространенность. Выделяются: плутонический класс в группе ультраосновных пород; вулканический и плутонический классы в группе основных пород; плутонический и вулканический классы в группе средних пород; плутонический и вулканический классы в группе кислых пород. Преобладающий класс назван первым.

Дальнейшее разделение групп лунных пород вулканического и плутонического классов Луны и Земли на ряды происходит, как отмечалось выше, по отличным от земных признакам. Мы уже указывали на преобладание на Луне основных пород. Опыт классификации земных магматических пород показал, что для основных пород  $MgO$  является высоко информативным параметром. Его информативность обусловлена обнаруженным нами соответствием содержания по массе (в %) этого компонента обычному количеству оливина в этих породах. Она также вытекает из хорошей корреляции содержания этого окисла с  $SiO_2$  — главнейшим классификационным окислом горных пород, а также и другими компонентами ( $TiO_2$ ,  $Al_2O_3$ ,  $CaO$ ). Исследования Э. Даути и др. [25] подтвердили достаточно высокую информативность  $MgO$  как главного породообразующего компонента и для видового подразделения лунных магматических пород. Это предопределило выбор  $MgO$  в качестве второй координаты диаграммы для подразделения лунных пород на ряды.

По содержанию  $MgO$  среди лунных пород выделяются четыре ряда:

- 1) высокомагнезиальный ( $MgO > 24 \%$ ),
- 2) магнезиальный [ $MgO 12(\pm 1) - 24 \%$ ],
- 3) умеренномагнезиальный — нормальный [ $MgO 3 - 12(\pm 1) \%$ ],
- 4) низкомагнезиальный ( $MgO 0 - 3 \%$ ).

На рис. 2 по горизонтали традиционно показаны группы пород (по содержанию  $SiO_2$ , %), по вертикали — ряды (по содержанию  $MgO$ , %). Граничные значения содержаний  $MgO$  для каждого из четырех рядов той или иной группы лунных пород, откорректированы и выбраны в соответствии с теми значениями  $MgO$ , которые установлены для семейств и входящих в них видов четырех групп земных магматических горных пород нормальной щелочности. Для последних содержания  $MgO$  коррелируются с особенностями их модального состава и содержанием темноцветных минералов, в пер-

вую очередь оливина [8]. Так, например, земные пикробазальты и пикродолериты, содержащие  $>15\%$  оливина, содержат  $12(\pm 1)$  —  $24\%$  MgO, оливиновые базальты и оливиновые долериты соответственно  $5$ — $15\%$  оливина и  $7(\pm 1)$ — $12(\pm 1)\%$  MgO, базальты и долериты —  $>5\%$  оливина и  $5$ — $7(\pm 7)\%$  MgO, лейкобазальты и лейдолериты —  $0\%$  оливина и  $3$ — $7(\pm 1)\%$  MgO. Обычно между рядами, так же как и между группами пород, статистически устанавливаются «поля неопределенности», исчисляемые  $\pm 1\%$  MgO. Ряды включают породы обоих классов — вулканического и плутонического.

Распределение лунных пород по группам (по содержанию SiO<sub>2</sub>) и по рядам (по содержанию MgO) позволяет выделить главные таксономические подразделения систематики — семейства лунных вулканических и плутонических пород. Так же как и для земных пород, для лунных образований под семейством понимается совокупность вулканических или плутонических пород сходного минерального состава с определенным соотношением петрохимических параметров (SiO<sub>2</sub>, MgO, Al<sub>2</sub>O<sub>3</sub>, FeO, CaO, TiO<sub>2</sub> и др.). При этом вулканические и плутонические породы выделяются в самостоятельные семейства, учитывающие своеобразие их состава и структур (см. рис. 2).

## ГЛАВА II. КЛАССИФИКАЦИЯ МАГМАТИЧЕСКИХ ПОРОД ОСНОВНОГО СОСТАВА

Лунные основные магматические породы представляют наиболее обширную группу, включающую базальты, габбро, анортозиты и др. Они содержат от 34 до 53 % кремнезема, что не строго соответствует значениям для земных аналогов [10], в которых содержание SiO<sub>2</sub> обычно колеблется в пределах 44—53 % с небольшими отклонениями ( $\pm 2\%$ ). Для лунных основных пород нижняя граница SiO<sub>2</sub> 34 % определяется рудными (ильменитовыми) базальтами и долеритами, а также ильменитовыми габбро. Пониженное содержание SiO<sub>2</sub> в рудных разновидностях пород характерно, как известно, и для земных аналогов. Это видно на примере габброидов Восточных Саян [2, 5], в рудных габбро которых значения SiO<sub>2</sub> снижаются до 34 % при содержании TiO<sub>2</sub> около 7 %.

Редкая встречаемость ильменитовых габбро и базальтов на Земле не позволила выделить их в классификации как один из видов земных магматических пород. Были выделены лишь железистые разновидности базальтов и долеритов, в которых содержание TiO<sub>2</sub> редко превышало 5 % — ферробазальты, феррогаббродолериты и пр. [8].

Напротив, широкое распространение в пробах лунных пород высокотитанистых (ильменитовых) базальтов и габбро дает основание для выделения их в самостоятельные ильменит-оливиновый и ильменитовый виды семейства лунных базальтов и долеритов.

Основные породы на Луне, в особенности, их вулканические

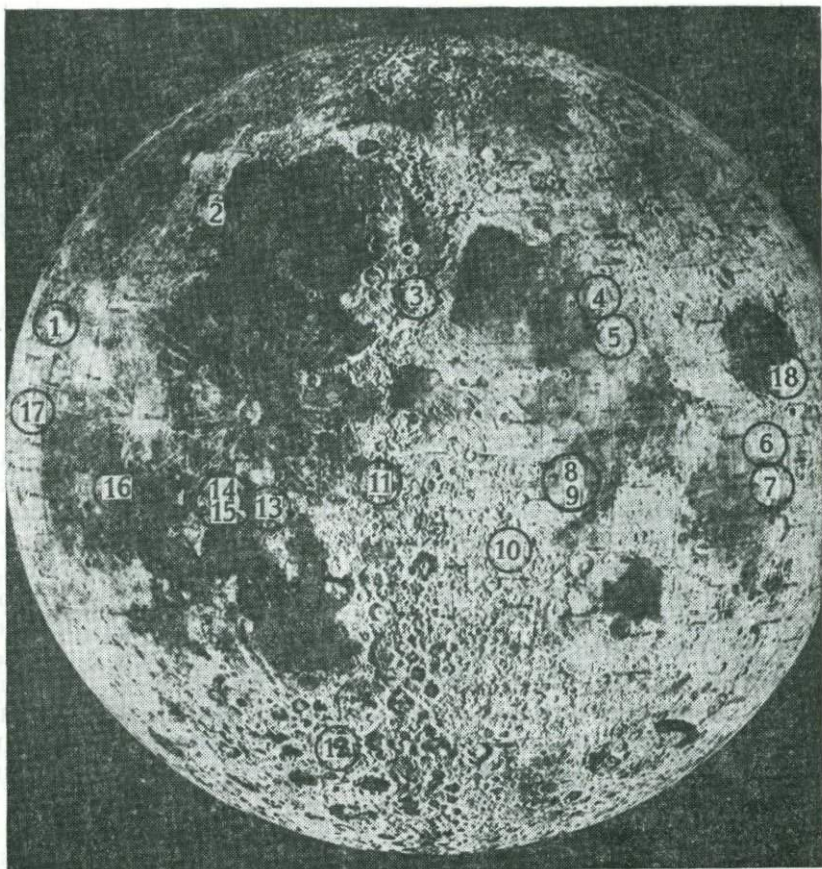


Рис. 3. Места посадки автоматических лунных станций и космических кораблей  
1 — «Луна-12»; 2 — «Луноход-1»; 3 — «Аполлон-15»; 4 — «Луноход-2»; 5 — «Аполлон-17»;  
6 — «Луна-20»; 7 — «Луна-16»; 8 — «Сервейер-5»; 9 — «Аполлон-11»; 10 — «Аполлон-16»; 11 —  
«Сервейер-6»; 12 — «Сервейер-7»; 13 — «Аполлон-14»; 14 — «Сервейер-3»; 15 — «Аполлон-12»;  
16 — «Сервейер-1»; 17 — «Луна-9»; 18 — «Луна-24».

представители, слагают огромные площади; они были зафиксированы во всех местах отбора образцов как автоматическими станциями «Луна-16, -20, 24», так и космическими кораблями «Аполлон-11, -12, -14, -15, -16, -17» (рис. 3) \*. Среди лунных основных плутонических пород наиболее широким развитием пользуются анортозиты, среди вулканических — базальты, которые являются характернейшими первичными вулканическими породами поверхности Луны.

Главные минералы земных и лунных основных пород — плагиоклаз и моноклинный пироксен. Оливин, кристобалит, тридимит,

\* Расположение станций и кораблей дается по И. И. Черкасову и В. В. Швареву.

бический пироксен и другие минералы присутствуют не во всех видах пород.

Группа лунных основных пород подразделяется по содержанию  $MgO$  (%) на 4 ряда: 1) высокомагнезиальный ( $MgO > 24\%$ ); 2) магнезиальный [ $MgO 12(\pm 1) - 24\%$ ]; 3) умеренномагнезиальный (нормальный) [ $MgO 3 - 12(\pm 1)\%$ ]; 4) низкомагнезиальный ( $MgO 0 - 3\%$ ). Каждый ряд заключает одно и более семейств, а последние, в свою очередь, один и более видов. Вид может объединять несколько разновидностей.

Семейства лунных магматических пород основного состава выделяются в первую очередь по петрохимическим признакам (содержание  $MgO$ ) с привлечением данных об ассоциациях типоморфных и существенных пордообразующих минералов, а также некоторых дополнительных петрографических признаков (структурные особенности и др.).

Виды лунных основных вулканических пород выделяются главным образом по химическому составу, а также, если возможно, модальному минеральному составу и структуре. При этом помимо  $MgO$  используются такие компоненты как:  $Al_2O_3$ ,  $TiO_2$ ,  $FeO$ ,  $CaO$  (%). Так, например, по содержанию  $Al_2O_3$  в оливиновых базальтах, долеритах, габбро выделяются нормальный и высокоглиноземистый виды этих пород. Привлечение  $Al_2O_3$  в классификационных целях, судя по земному опыту, имеет и геолого-генетический смысл и получило сейчас общее признание (Х. Куно, Т. И. Фролова, М. А. Петрова и многие др.). По существующим представлениям степень глиноземистости базитов отражает условия дифференциации исходных магм (главным образом, величину давлений, при которых осуществляются эти процессы).

Содержание  $TiO_2$  в базальтах и оливиновых базальтах ( $> 5$  до  $20\%$ ) позволяет выделять соответственно ильменитовый и оливильменитовый виды базальтов и долеритов. Повышенное содержание в основных вулканических породах  $FeO$  приводит к образованию ферробазальтов и ферродолеритов, как это характерно и для земных аналогов. Величина  $CaO/MgO$  корректирует выделение того или иного вида базальтов (см. табл. 1).

Виды лунных основных плутонических пород выделяются главным образом по минеральному составу: по преобладанию моноклинного или ромбического пироксена (габбро или норит), по присутствию или отсутствию оливина (оливиновые и безоливиновые породы), развитию преимущественно только плагиоклаза (анортозит и др.).

При этом, как и для земных пород, содержания типоморфных ( $\pm$ ) существенных минералов для большей части видов магматических пород должно составлять  $> 10\%$ .

При выделении многих видов лунных пород, так же как и для земных пород, помимо химического и модального минерального состава и структурных особенностей, информативными оказываются и некоторые петрохимические показатели. Их свойства при этом первоначально были выявлены на земных аналогах. Так, ко-

эффективент глиноземистости  $a1' = \text{Al}_2\text{O}_3 / (\text{FeO} + \text{MgO})$ , хорошо коррелируется с относительным количеством цветных и лейкократовых минералов в основных породах. На примере земных основных магматических пород показано, что его увеличение коррелируется с уменьшением количества цветных минералов. Так, к умеренноглиноземистым относятся земные базальтовые породы с цветовым индексом 40—47 (установленным для плутонических пород) и с  $a1' = 0,75—1,0$ . Основные породы с  $a1' = 1—2$  относятся к высокоглиноземистым, с  $a1' < 75$  — к низкоглиноземистым.  $f' = (\text{FeO} + \text{MgO} + \text{MnO} + \text{TiO}_2)$  надежно отражает степень фемичности породы (меланократовости — лейкократовости), особенно вулканических (стекловатых) пород, в которых модальный минеральный состав трудно определить.

Для выделения разновидностей основных магматических лунных пород предлагается использовать особенности вещественной характеристики. Этими особенностями могут быть:

а) в минеральном составе — присутствие второстепенного или акцессорного минерала в количестве выше нормального для данного вида породы; примером служит выделение разновидности шпинелевого троктолита в лунных плутонических породах, в которых содержание шпинели составляет менее 10% (5—10%);

б) в структуре — характер кристалличности — порфировые, порфировидные, витрофировые, офитовые и другие разновидности лунных пород.

В общем случае в разновидностях магматических пород содержание существенного пордообразующего минерала и характерного второстепенного (шпинель, ильменит и др.) не превышает 10% (< $\leq$ ). Если же их количество выше 10%, порода относится к самостоятельному виду. Примером последнего служит ильменитовый базальт и ильменит-оливиновый базальт и габбро, в которых содержание ильменита  $> 10\%$  и они относятся к самостоятельным видам.

## ОСНОВНЫЕ ВУЛКАНИЧЕСКИЕ ПОРОДЫ

На основе диаграммы  $\text{SiO}_2 - \text{MgO}$  и использования типических ассоциаций типоморфных и существенных пордообразующих минералов, среди лунных основных вулканических пород выделяются два ряда: магнезиальный —  $\text{MgO} 12(\pm 1) - 24\%$  при  $\text{SiO}_2 41 - 47\%$  и умеренномагнезиальный (нормальный) —  $\text{MgO} 3 - 12(\pm 1)\%$  при  $\text{SiO}_2 34 - 53\%$ . Типоморфными  $\pm$  существенными минералами магнезиального ряда являются  $\text{Ol}$ ,  $\text{Cpx}$ ,  $\text{Pl}$ ,  $\pm \text{Opx}$ , а умеренномагнезиального (нормального) —  $\text{Pl}$ ,  $\text{Cpx}$ ,  $\text{Ol}$ ,  $\pm \text{Opx}$ ,  $\pm \text{Q}$ ,  $\pm \text{Il}$ .

В магнезиальном ряду лунных основных вулканических и гипабиссальных пород\* выделяется одно семейство: пикробазальт и пикродолерит\*\* с одним видом того же наименования — пикробазальт и пикродолерит. Типоморфными  $\pm$  су-

\* Вулканические и гипабиссальные породы объединены в одно семейство.

\*\* Ранее эти породы назывались соответственно пикритобазальт и пикритодолерит.

## Классификация и номенклатура лунных

Ряд основных вулканических пород		Магнезиальный	Умеренномагнезиальный (нормальный)
Классификационные признаки ряда			
Границное содержание (%)	$\text{SiO}_2$ $\text{MgO}$	41—47 12 ( $\pm 1$ )—24	34—53 3—12 ( $\pm 1$ )
Типоморфные $\pm$ существенные модальные минералы		Ol, Cpx, Pl, $\pm$ Opx	Pl, Cpx, $\pm$ Ol, $\pm$ Opx, $\pm$ Q, $\pm$ Il
Семейство вулканических пород		Пикробазальтов и пикродолеритов	Базальтов
Границное содержание в семействе (%)	$\text{SiO}_2$ $\text{MgO}$	41—47 12 ( $\pm 1$ )—24	34—53 3—12 ( $\pm 1$ )
Типоморфные $\pm$ существенные модальные минералы семейств		Ol, Cpx (пижонит, клиногиперстен), Pl, $\pm$ Opx	Pl, Cpx (пижонит, клиногиперстен, $\pm$ Ol, $\pm$ Opx,
Вид вулканических пород	Пикробазальт и пикродолерит	Оlivиновый базальт и оливиновый долерит	Базальт и долерит
№ вида п/п	1Л	2Л + 3Л*	4Л
Типоморфные $\pm$ существенные модальные минералы видов	Ol, Cpx (пижонит, клиногиперстен), Pl, $\pm$ Opx, Il	Ol, Pl, Cpx (пижонит, клиногиперстен, субкальциевый авгит, редко ферроавгит)	Pl, Cpx (пижонит, субкальциевый авгит, редко ферроавгит), $\pm$ Ol
Состав и содержание модальных минералов видов (%)	Ol ( $\text{Fa}_{38-57}$ ) > 15 Cpx ( $\text{En}_{25-27} \times \text{Wo}_{32-37} \times \text{Fs}_{34-45}$ ) 35—55% Pl ( $\text{An}_{81-90}$ ) 20—30% $\pm$ Opx, Il до 5—8% Стекло (в базальтах)	Ol ( $\text{Fa}_{24-70}$ ) 5—15% Pl ( $\text{An}_{71-97}$ ) 20—30% Cpx ( $\text{En}_{81-82} \text{ Wo}_{2-46} \times \text{Fs}_{14-55}$ ) 40—60% Rm (Il, Sp, мет. Co, Ni, Fe, $\pm$ Po) 1—8% Стекло (в базальтах)	Pl ( $\text{An}_{71-25}$ ) 25—40% Cpx ( $\text{En}_{41-49} \text{ Wo}_{8-55} \times \text{Fs}_{20-38}$ ) 35—60% Rm (Il, Sp) 5—10% Ol ( $\text{Fa}_{25-52}$ ) 0—5% Il, Crt, Po, $\pm$ Qc, $\pm$ Qt Стекло (в базальтах)
Структура	Базальтов	Порфировая, основная масса гиалопилитовая	Порфировая, сернинопорфировая, микро
	Долеритов	Пойкилитовая сегрегационная	Пойкилоофитовая,

## основных вулканических пород

Умеренномагнезиальный (нормальный)			
		34—53 3—12 ( $\pm 1$ )	
		Pl, Cpx, $\pm$ Ol, $\pm$ Opx, $\pm$ Q, $\pm$ Il	
		Базальтов и долеритов	
		34—53 3—12 ( $\pm 1$ )	
		Ферроавгит, субкальциевый авгит, авгит, титанавгит, феррогеденбергит, пироксферроит), $\pm$ Q, $\pm$ Il	
Лейкобазальт и лейкодолерит	Ильменит-оливиновый базальт и ильменит-оливиновый долерит	Ильменитовый базальт и ильменитовый долерит	Двупироксеновый базальт
5Л	6Л	7Л	8Л
Pl, Cpx (клиногиперстен, редко пижонит), $\pm$ Q	Il, Pl, Ol, Cpx (пижонит, авгит, титанавгит, ферроавгит, пироксферроит)	Il, Pl, Cpx (авгит, ферроавгит, феррогеденбергит, пироксферроит)	Pl, Opx (высокомагнезиальный) Cpx (пижонит, субкальциевый авгит), $\pm$ Ol
Pl ( $\text{An}_{74-97}$ ) Cpx ( $\text{En}_{17-82} \text{ Wo}_{3-42} \times \text{Fs}_{1-46}$ ), $\pm$ Q Rm (Sp, Il, мет. Co, Ni, Fe) Стекло (в базальтах)	Pl ( $\text{An}_{73-81}$ ) 20—40% Ol ( $\text{Fa}_{90-40}$ ) 5—10% Cpx 40—50% Il 10—15% $\pm$ Po Стекло (в базальтах)	Pl ( $\text{An}_{89-85}$ ) 25—50% Cpx 30—45% Il 11—20% $\pm$ Sp, $\pm$ Crt, $\pm$ Po, $\pm$ Qt Стекло (в базальтах)	Pl ( $\text{An}_{80-85}$ ) > 50% Opx + Cpx < 35% $\pm$ Ol Rm (Il, Sp) $\sim$ 5% $\pm$ Qc Стекло (в базальтах)

порфировая, афировая; основная масса витрофировая, гиалопилитовая, вариолитовая

офитовая, субофильтовая, габброофильтовая, долеритовая



Границы содержания химических компонентов видов (%)	$\text{SiO}_2$	41—47 0,1—3	43—51 0,6—4	45—50* 0,3—2,5	43—51 0,3—5	
	$\text{Al}_2\text{O}_3$	4—12	8—17	17—22	12—17	
	$\text{FeO}$	11—25	8—23	7—13	13—21	
	$\text{MnO}$	0—0,5	0—0,5	0,05—0,2	0—0,3	
	$\text{MgO}$	12 ( $\pm 1$ )—21 (до 24)	7 ( $\pm 1$ )— 2 ( $\pm 1$ )	7 ( $\pm 1$ )—16	5—7 ( $\pm 1$ )	
	$\text{CaO}$	6—10	8—14	9—13	10—15	
	$\text{Na}_2\text{O}$	0,1—0,6	0,1—1	0,3—2	0,02—0,8	
	$\text{K}_2\text{O}$	0—0,1 (до 0,5)	0—0,7	0,05—0,8	0—0,3	
Важнейшие петрохимические характеристики видов (%)	$\text{P}_2\text{O}_5$	0—0,5	0—0,1 (до 0,5)	0—1	0—0,4	
	$\text{Al}' = \frac{\text{Al}_2\text{O}_3}{\text{Al}_2\text{O}_3 + (\text{FeO} + \text{MgO})}$ (коэффициент глиноzemистости)	$<0,75_{\text{H}^{2*}}$	$<0,75_{\text{H}}   0,75—1_{\text{Y}^{2*}}$	$>1_{\text{B}^{**}}$	$>0,75_{\text{H}}$	$0,75—1_{\text{Y}}$
	$f' = \frac{\text{FeO} + \text{MgO} + \text{MnO} + \text{TiO}_2}{\text{Al}_2\text{O}_3}$ (фемичность) <sup>5*</sup>	30—45	22—30	14—22	30—45	22—30
	$\text{Al}_2\text{O}_3/\text{MgO}$	0,2—0,7	0,7—1,9	1,5— 2,6	1,9—3,0	
	$\text{Al}_2\text{O}_3/\text{MgO}$	6—15	13—30	8—27	30—55	
	$\text{CaO}/\text{MgO}$	0,3—0,8	0,7—1,6	0,7— 1,5	1,5—2,5 (до 3)	
	Характерные особенности видов лунных вулканических пород	$\text{Ol} > 15\%$ $\text{MgO} > 12 (\pm 1)\%$ $\text{Al}_2\text{O}_3 < 12$ (часто < 9%) $\text{TiO}_2 0,1—3\%$	$\text{Ol} 5—15\%$ $\text{MgO} 7 (\pm 1) —$ — 12 ( $\pm 1$ ) % $\text{Al}_2\text{O}_3 8—17$ в высокоглиноzemистых 17—22% $\text{TiO}_2 0,2—4\%$	$\text{Ol} < 5\%$ $\text{MgO} 5—7 (\pm 1)$ $\text{Al}_2\text{O}_3 12—17\%$ $\text{TiO}_2 0,3—5\%$		

Примечание: Для лунных основных вулканических (и плутонических) пород к порядку континентальных — В (см. гл. IV); на рис. 7 для лунных пород буква Л опущена,

\* ЗЛ — высокоглиноzemистый оливиновый базальт, содержит также бариевый калиево-натриев

\*\*  $\text{H} < 0,75$  — низкоглиноzemистые.

\*\*\*  $\text{Y} 0,75—1$  — умереноглиноzemистые.

\*\*\*\*  $\text{B} > 1$  — высокоглиноzemистые.

5\* Фемичность вулканических пород соответствует в плутонических породах цветовому индекс всех петрохимических характеристик рассчитаны из конкретных (частных) анализов.

щественными минералами семейства и вида служат: Ol, Crpx, Pl, ± Opx (табл. 1).

В умеренномагнезиальном (нормальном) ряду — также одно семейство — базальтов и долеритов с шестью входящими в его состав видами: 1) оливиновый базальт и оливиновый долерит, 2) базальт и долерит, 3) лейкобазальт и лейкодолерит, 4) ильменит-оливиновый базальт и ильменит-оливиновый долерит, 5) ильме-

Продолжение табл. 1

42—52 1—5 (до 8)	34—46 5—14 (до 20)	37—48 5—13	47—53 1—2
14—19 14—21 0,1—0,3	7—11 14—22 0—0,3	7—15 14—24 0,1—0,4	17—23 5—9 0,1—0,2
3—5	7 ( $\pm 1$ )—12 ( $\pm 1$ )	5—7 ( $\pm 1$ )	6—8
11—13 0,1—0,9 0,1—0,5	9—13 0,2—1 0—0,3	8—14 0,3—1 0—0,7	10—13 0,6—2 0,4—0,6
0—0,6	0—0,2	0—0,6	0—0,6
0,75—1 y	>1 B	<0,75 H	<1 B
—	14—22	30—45	14—22
3,0—7,0 50—100	0,7—1,5 13—25	1,0—2,9 20—40	2,5—3,5 19—25
2—4,5 (до 6,5)	0,8—1,5	1,4—2,4	1,3—2
MgO 3—5% Al <sub>2</sub> O <sub>3</sub> 14—19 TiO <sub>2</sub> 1—5% (до 8%)	Ol 11—10% Al <sub>2</sub> O <sub>3</sub> 7—11% TiO <sub>2</sub> 5—14% (до 20%)	Ol <5% Al <sub>2</sub> O <sub>3</sub> 7—15% TiO <sub>2</sub> 5—13	MgO 6—8% Al <sub>2</sub> O <sub>3</sub> 17—23 TiO <sub>2</sub> 1—2

овым номерам прибавляется буква Л, для земных океанических аналогов буква Б, для земных  
ый полевой шпат и металлическое Co-Ni-Fe.

су (M): f' = 30—45 — меланократовые; 22—30 — мезократовые; 14—22 — лейкократовые. Значения

нитовый базальт и ильменитовый долерит, б) двупироксеновый ба-  
зальт.

Типоморфными  $\pm$  существенными минералами семейства ба-  
зальтов и долеритов являются Pl, Crx (пижонит, клиногиперстен,  
ферроавгит, субкальциевый авгит, авгит, титанавгит, феррогеден-  
бергит, пироксферроит),  $\pm$  Ol,  $\pm$  Opx,  $\pm$  Q,  $\pm$  Il.

Каждый вид семейства базальтов и долеритов характеризуется

Таблица 2

## Содержание MgO, состав (Fa) и содержание модального

Виды базальтов*	Лунные базальты								
	Обр.	MgO	Ol Fa <sup>**</sup>	Обр.	MgO	Ol Fa	Обр.	MgO	Ol Fa
Пикробабродолерит (олиновое микрогаббро)	15633	12,7	18 35—65	15641	10,2 <sup>3*</sup>	17 50—55	15385	16,5	30 35—40
Оливиновый базальт (то же)	15607	9,7	8 40—70	15647	10,5	11 30—55	15665	7,7	8 30—55
Базальт (пироксеновый базальт)	15116	7,3	нет дан- ных	15118	7,0	нет дан- ных	15682	7,3	нет дан- ных

Виды базальтов	Лунные базальты								
	Обр.	MgO	Ol Fa	Обр.	MgO	Ol Fa	Обр.	MgO	Ol Fa
Пикробабродолерит (олиновое микрогаббро)	—	—	—	—	—	—	—	—	—
Оливиновый базальт (то же)	15643	12,5	13 40—60	15613	10,4	10 40—68	15615	11,3	13 30—60
Базальт (пироксеновый базальт)	—	—	—	—	—	—	—	—	—

Примечания: 1) Данные по лунным базальтам заимствованы из работы [25].

2) По земным базальтам из работы «Магматические горные породы» [10].

\* Вид базальта в соответствии с разработанной авторами терминологией, в скобках, — по Э. Дауту и др. [25].

\*\* Fa —  $\text{Fe}_2\text{SiO}_4$  — железистая составляющая в оливине.

3\* Отклонение содержаний MgO (%) в породе от принятых значений для данного вида. Объяснение этому см. в тексте.

своим составом типоморфных ± существенных минералов. Так, например, для вида оливиновый базальт и оливиновый долерит характерен парагенезис Ol, Pl, Crx, для вида базальт и долерит — Pl, Crx, ± Ol, для лейкобазальта и лейкодолерита — Pl, Crx, ± Q, для ильменит-оливинового базальта — Il, Ol, Pl, Crx, для ильменитового базальта — Il, Pl, Crx, двупироксенового базальта — Pl, Opx, Crx, ± Ol. Другим критерием для выделения видов в семействе базальтов и долеритов служит содержание в них MgO (%) и оливины (см. табл. 1 и 2\*). При этом в лунных базальтах в отличие от

\* В табл. 2 для сравнения приводятся данные для лунных и земных базальтов.

## оливина в лунных и земных базальтах

Виды базальтов*	Лунные базальты									
	Обр.	MgO	Ol Fa	Обр.	MgO	Ol Fa	Обр.	MgO	Ol Fa	
15387	18,1	34 35—50	—	—	—	—	—	—	—	
15669	10,1	10 35—50	15676	9,2	9 30—65	15678	9,0	7 35—55	15610	10,7 35—60
15684	10,8 <sup>3*</sup>	нет дан- ных	15105	9,0 <sup>3*</sup>	4 30—65	—	—	—	—	

## Продолжение табл. 2

Виды базальтов	Лунные базальты								Земные базальты		
	Обр.	MgO	Ol Fa	Обр.	MgO	Ol Fa	Обр.	MgO	Ol Fa	MgO в базальтах (%)	Ol (%) Fa
—	—	—	—	—	—	—	—	—	—	12—24	15—45 10—25
15617	11,8	11 30—73	15620	10,9	8 35—70	15623	11,4	9 45—70	7—12	5—15	15—50
—	—	—	—	—	—	—	—	—	5—7	2—5	25—55

земных пород не наблюдается закономерного увеличения железистости (содержание Fa) оливина с понижением основности пород (понижение содержания MgO, %).

Наряду с этим у некоторых видов лунных базальтов отмечаются отклонения, т. е. несоответствие значений MgO и содержаний оливина от типовых для самого семейства. В частности, такие отклонения наблюдаются для пикробазальтов и пикродолеритов (см. табл. 2, обр. 15641, показано звездочкой), для базальтов и долеритов (обр. 15684, 15105, отмечено значком 3\*). В наиболее представительном и, по-видимому, наиболее широко распространенном на Луне виде оливиновых базальтов и оливиновых долеритов та-

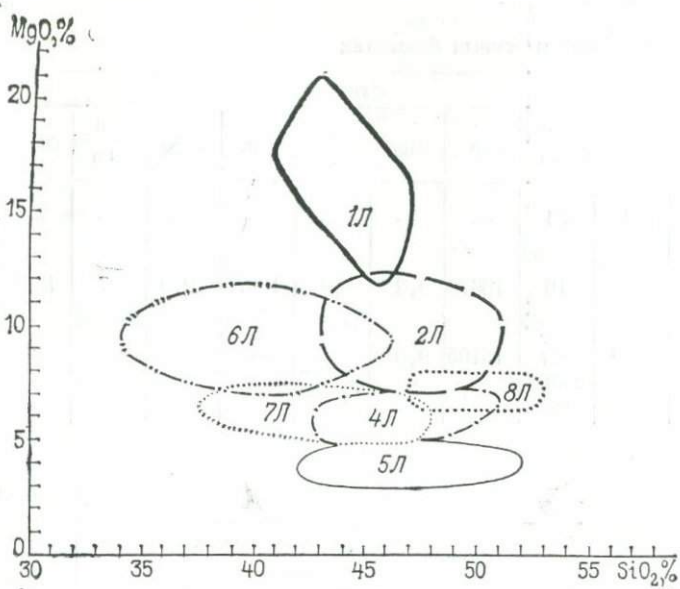


Рис. 4. Положение полей статистического распределения составов видов лунных основных вулканических пород в координатах  $\text{SiO}_2 - \text{MgO}$  (%)

1Л — пикробазальты и пикродолериты; 2Л — оливиновые базальты и оливиновые высокоглиноземистые долериты; 3Л — оливиновые высокоглиноземистые базальты и оливиновые высокоглиноземистые долериты; 4Л — базальты и долериты; 5Л — лейкобазальты и лейкодолериты; 6Л — ильменит — оливиновые базальты и ильменит — оливиновые долериты; 7Л — ильменитовые базальты и ильменитовые долериты; 8Л — двупироксеновые базальты

ких отклонений не установлено. Для данного вида базальтов с содержанием  $\text{MgO} (\%) 7-12 (\pm 1) \%$  количество оливина колеблется в пределах 5—15 % ( % ).

Заниженные значения  $\text{MgO}$  в пикробазальтах (10,2 % в обр. 15 641) по сравнению с содержанием в них оливина (17 %) и, наоборот, повышенные значения  $\text{MgO}$  (10,8 % для обр. 15 684 и 9,0 % для обр. 15 105, см. табл. 2) для базальтов по сравнению с содержанием в них оливина (в обр. 15 684 оливина нет, в обр. 15 105 оливина 4 %) можно объяснить значительными колебаниями состава оливина в этих образцах (разностях). Так, например, базальт (оливиновый базальт\*) фрагмента G-37 [47] содержит около 50 % плагиоклаза, 30 % пироксена, 15 % оливина (±), 6 % ильменита, 3 % ульвошпинели и небольшое количество циркона (%). Химический состав базальта G-37:  $\text{SiO}_2$  42,8;  $\text{TiO}_2$  4,3;  $\text{Al}_2\text{O}_3$  15,4;  $\text{Cr}_2\text{O}_3$  0,3;  $\text{MgO}$  6,4;  $\text{FeO}$  18,1;  $\text{MnO}$  0,3;  $\text{CaO}$  11,2;  $\text{Na}_2\text{O}$  0,7;  $\text{K}_2\text{O}$  0,1;  $\text{P}_2\text{O}_5$  0,4 (приведено к 100 %).

Авторы объясняют высокое содержание в породах оливина при низком значении  $\text{MgO}$  малым содержанием магния в оливине и пироксене. Состав оливина —  $\text{Fa}_{41-70}$ , состав пи-

\* По нашей терминологии.

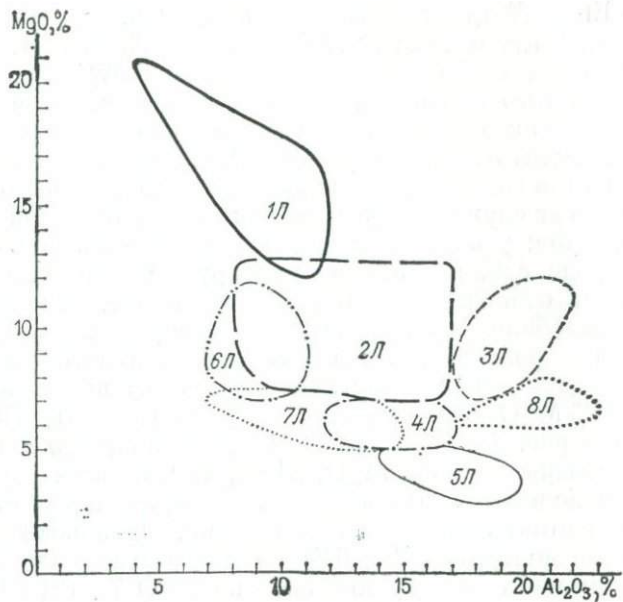


Рис. 5. Положение полей статистического распределения составов видов лунных основных вулканических пород в координатах  $\text{Al}_2\text{O}_3$  —  $\text{MgO}$  (%). Условные обозначения см. рис. 3

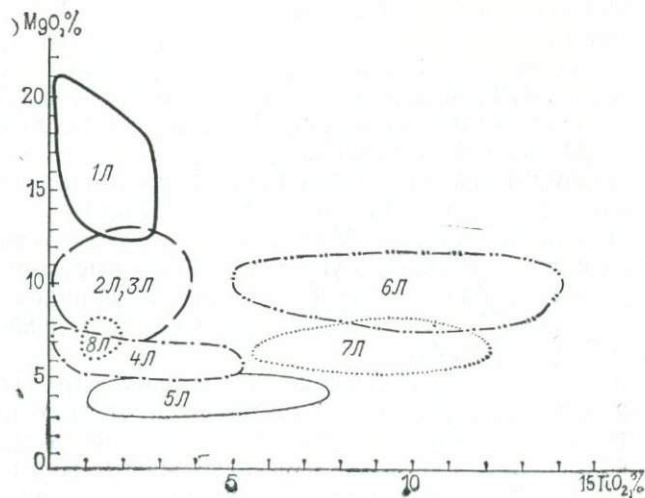


Рис. 6. Положение полей статистического распределения составов видов лунных основных вулканических пород в координатах  $\text{TiO}_2$  —  $\text{MgO}$  (%). Условные обозначения см. рис. 3

роксена —  $\text{En}_{29-48}\text{Wo}_{11-35}\text{Fs}_{31-46}$  (например,  $\text{En}_{40}\text{Wo}_{21}\text{Fs}_{39}$ ,  $\text{En}_{29}\text{Wo}_{27}\text{Fs}_{44}$ ;  $\text{En}_{31}\text{Wo}_{23}\text{Fs}_{46}$ ;  $\text{En}_{48}\text{Wo}_{11}\text{Fs}_{41}$ ;  $\text{En}_{34}\text{Wo}_{35}\text{Fs}_{31}$ ). Таким образом, когда нет соответствия в содержании  $\text{MgO}$  и оливина от принятых для того или иного вида базальтов значений  $\text{MgO}$  (см. табл. 1), необходимо учитывать состав оливина, а также пироксена, в частности энстатитовой составляющей. Следует, однако, подчеркнуть, что в отличие от оливина ни плагиоклаз, ни пироксен сами по себе не могут служить определяющим признаком при классификации базальтов: у пироксена при более-менее постоянном содержании в породе, слишком широко варьирует состав, у плагиоклаза, напротив, при относительно постоянном составе, отмечаются значительные колебания в его содержании в породах (см. табл. 1).

Химическое различие выделенных видов лунных базальтов и долеритов<sup>\*</sup> двух семейств наглядно видно из прилагаемых диаграмм  $\text{SiO}_2 - \text{MgO}$  (рис. 4),  $\text{Al}_2\text{O}_3 - \text{MgO}$  (рис. 5),  $\text{TiO}_2 - \text{MgO}$  (рис. 6). На рис. 4, 5, 6 пикробазальты и пикродолериты (1Л) резко обособлены по  $\text{SiO}_2$ ,  $\text{MgO}$ ,  $\text{Al}_2\text{O}_3$ ,  $\text{TiO}_2$  от всех других видов базальтов и долеритов, что подчеркивает правомерность их выделения в самостоятельное семейство и вид. Оливиновые базальты и оливиновые долериты (2Л, 3Л) на диаграмме  $\text{SiO}_2 - \text{MgO}$  (см. рис. 4) занимают поле, ограниченное по  $\text{MgO}$  7—12( $\pm 1$ ) %, а по  $\text{SiO}_2$  — 43—51 %.

На диаграмме  $\text{TiO}_2 - \text{MgO}$  (см. рис. 6) видна низкая титанистость при высоком значении  $\text{MgO}$  оливиновых базальтов и долеритов, в том числе и их высокоглиноземистых представителей (2Л, 3Л). Отличие лунных высокоглиноземистых оливиновых базальтов и долеритов (3Л) от нормальных (2Л) по глиноземистости четко видно на рис. 5.

Собственно базальты и долериты на рисунках 4, 5, 6 (поле 4Л) занимают также достаточно четко обособленное от других видов базальтов поле, которое лишь частично перекрывается по  $\text{SiO}_2$  и  $\text{Al}_2\text{O}_3$  (см. рис. 4, 5) полем ильменитовых базальтов (7Л), в то же время отличие указанных видов (4Л и 7Л) хорошо видно на диаграмме  $\text{MgO} - \text{TiO}_2$  (см. рис. 6).

Лейкобазальты и лейкодолериты (поле 5Л) отличаются от других видов в основном по малому содержанию  $\text{MgO}$  — 3—5 % (см. рис. 4) и довольно высокому —  $\text{Al}_2\text{O}_3$  (см. рис. 5). Высокая концентрация  $\text{Al}_2\text{O}_3$  сближает их, как увидим ниже, с высокоглиноземистыми оливиновыми базальтами (поле 3Л) и двупироксеновыми базальтами (поле 8Л), но последние два вида (3Л и 8Л) содержат  $\text{MgO} > 5$  % (см. рис. 4).

Виды ильменит-оливиновых (поле 6Л) и ильменитовых базальтов и долеритов (поле 7Л) резко отличаются от всех видов базальтов и долеритов по высокому содержанию  $\text{TiO}_2$  (см. рис. 6), что несомненно подтверждает их самостоятельность. Вид ильменит-оливинового базальта и долерита (6Л) отличается от вида ильме-

\* Для лунных базальтов (и габброидов) к цифрам прибавлена буква Л для отличия их от одноименных земных пород океанов (Б) и континентов (В), рассматриваемых в целях сравнения в гл. IV.

нитового базальта и долерита (7Л) более высоким содержанием  $MgO$  (см. рис 4, 5, 6).

Двутироксеновые базальты (поле 8Л), в отличие от других видов базальтов и долеритов, характеризуются наиболее высоким содержанием  $SiO_2$  (см. рис. 4) и  $Al_2O_3$  (см. рис. 5). Наличие же в этом виде двух пироксенов также подтверждает его самостоятельность и облегчает диагностику.

Применение диаграмм  $SiO_2 - MgO$ ,  $TiO_2 - MgO$ ,  $Al_2O_3 - MgO$ , на которых виды базальтов и долеритов, занимают, как правило, обособленные поля (см. рис. 4, 5, 6), подтверждает правомерность выделения их в самостоятельные виды. Проведенный корреляционный анализ содержаний породообразующих окислов выделенных видов лунных базальтов и долеритов, показал наличие либо положительных, либо отрицательных значений коэффициентов парной корреляции, свидетельствуя тем самым о прямой линейной связи между изучаемыми окислами (см. гл. IV, рис. 39 а—д).

Ниже приводятся краткие петрографическая и петрохимическая характеристики выделенных видов лунных базальтов и долеритов по данным авторов и других исследователей.

### Пикробазальт и пикродолерит (пикритовый базальт) \*

Характерной особенностью этого вида является содержание оливина  $>15\%$ ,  $MgO > 12 (\pm 1)\%$  и  $Al_2O_3 < 12\%$  (часто  $< 9\%$ ). Содержание  $TiO_2$  0,1—0,3 %.

Пикробазальты и пикродолериты наблюдаются среди образцов «АЛС-16, -24», а также в пробах «Аполлона-12, -14, -15, -17» (рис. 7).

Пикробазальты со станции «Луна-16» (по Л. Холлистеру и др.— оливиновые микробазальты) содержат скелетные образования оливина, плагиоклаза, ильменита и интерстициальный пироксен. Содержание модального оливина ( $Fa_{38-57}$ ) 17,3 %, плагиоклаза ( $Ap_{81-90}$ ) 33,5, клинопироксена ( $En_{23-27} Wo_{32-37} Fs_{36-45}$ ) 45,5, ильменита 3,7 %. Ильменит содержит 1,7 %  $MgO$  и 0,6 %  $Cr_2O_3$ . Размер кристаллов оливина от 100 до 250 мкм, но наблюдаются и более мелкие — 25 мкм. В оливине отмечены следы ульвошпинели, содержащей 14,5 %  $Cr_2O_3$  и 1,5 %  $MgO$ . Кристаллы плагиоклаза достигают длины от 20 до 125 мкм, и ширины от 1 до 30 мкм.

Для пикробазальтов со станции «Луна-16» характерна порфировая структура, фенокристаллы представлены оливином и плагиоклазом. Пространственные соотношения минералов свидетельствуют, что вначале кристаллизовались оливин и плагиоклаз  $Ap_{90}$  (I) и вместе с ними или несколько раньше ульвошпинель; позже кристаллизовалась основная масса, состоящая из плагиоклаза  $Ap_{81}$  (II), ильменита и клинопироксена. Порфировая структура и в особенно-

\* Здесь и далее в скобках указаны названия лунных пород, обычно употребляемые исследователями.

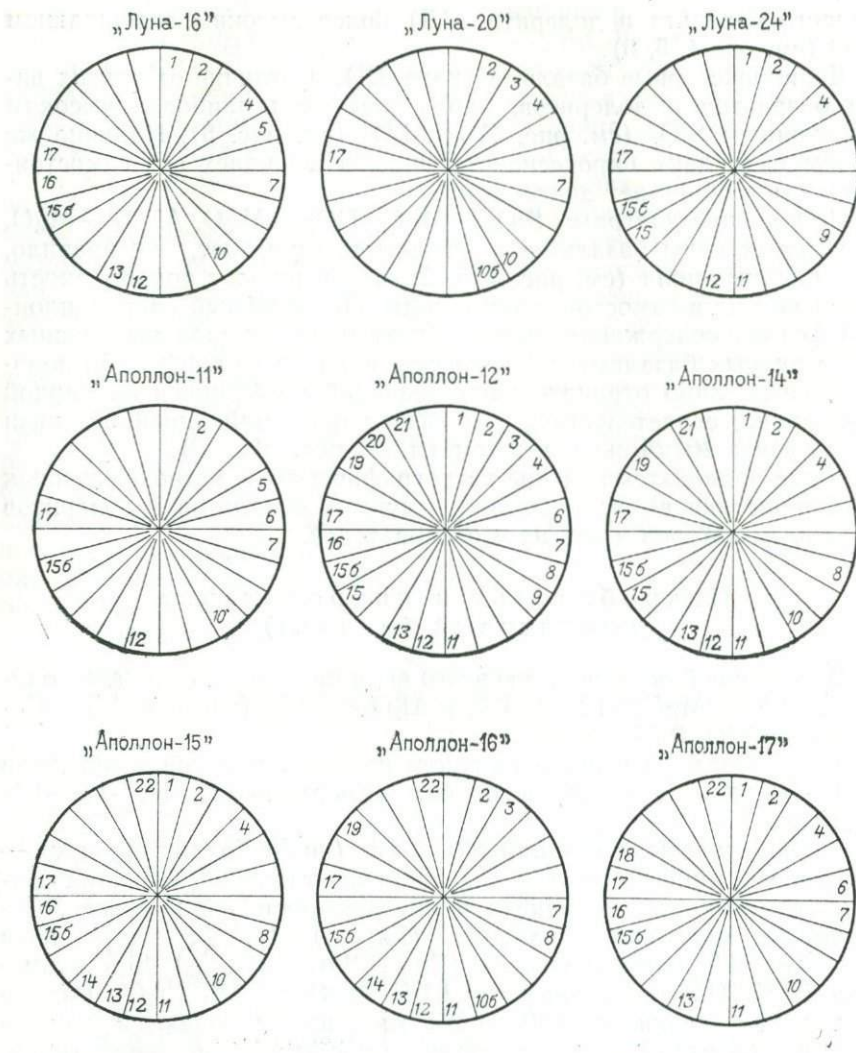


Рис. 7. Виды лунных магматических пород в местах взятия образцов

Вулканические и гипабиссальные породы: 1 — пикробазальт и пикродолерит; 2 — оливиновый базальт и оливиновый долерит; 3 — оливиновый высокоглиноземистый базальт; 4 — базальт и долерит; 5 — лейкобазальт и лейкодолерит; 6 — ильменит-оливиновый базальт и ильменитовый долерит; 7 — ильменитовый базальт и ильменитовый долерит; 8 — двупироксеновый базальт. Плутонические породы: 9 — оливиновое (или пироксеновое) меланогаббро; 10 — трактолит; 106 — шпинелевый трактолит; 11 — оливиновое габбро; 12 — оливиновое высокоглиноземистое габбро (лейкогаббро); 13 — ильменит-оливиновое габбро; 14 — оливиновый норит; 15 — габбро; 156 — лейкогаббро; 16 — норит; 17 — анортозит; 18 — дунит; 19 — перидотит; 20 — пироксенит; 21 — кварцевый диорит; 22 — гранодиорит

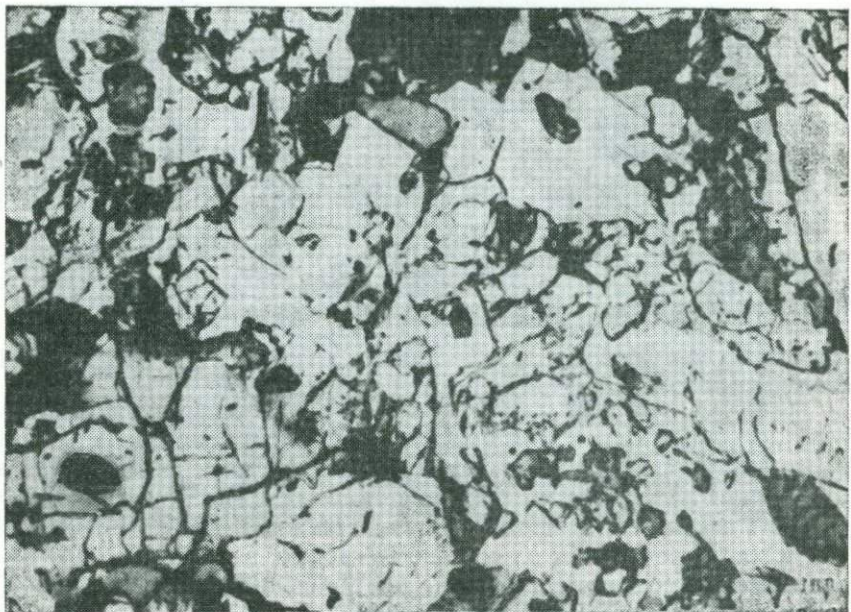


Рис. 8. Пикрогаббродолерит с габбродолеритовой структурой (без анализатора).

Порода состоит в основном из пироксена (52 %), оливина (18 %) и плагиоклаза (21 %) с небольшим содержанием хромита (6 %) и других минералов (обр. 15633, [25])

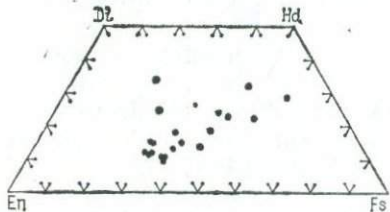


Рис. 9. Переменный состав пироксена в пикродолеритах «Аполлон-15» (обр. 15 633, [25])

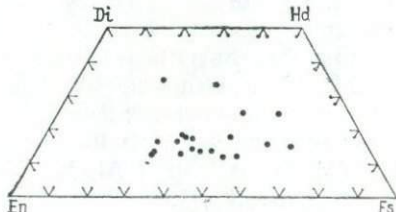


Рис. 10. Переменный состав пироксена в пикродолеритах «Аполлон-15» (обр. 15 641, [25])

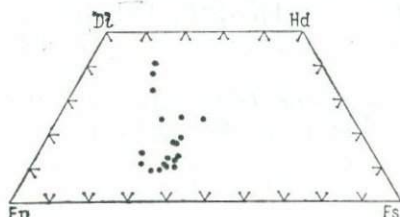


Рис. 11. Переменный состав пироксена в пикродолеритах «Аполлон-15» (обр. 15 385, [25])

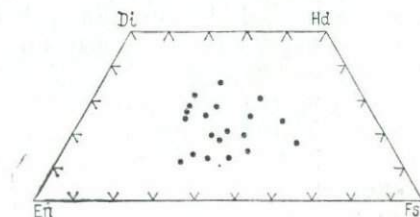


Рис. 12. Переменный состав пироксена в оливиновых базальтах «Аполлон-15» (обр. 15 607, [25])

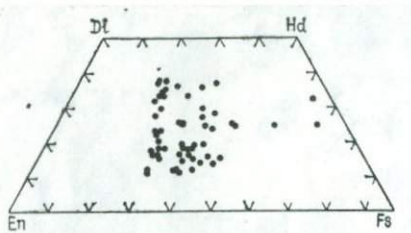


Рис. 13. Переменный состав пироксена в оливиновых долеритах (обр. 15 615, по Э. Даути и др.— оливиновое микрогаббро)

сти скелетная форма раннего оливинина указывают на быструю кристаллизацию пород.

Пикродолериты с корабля «Аполлон-15» (Э. Даути и др. [25, табл. 2]) относят к «морским» базальтам и называют либо оливиновыми микрогаббро (обр. 15 633 и 15 641), либо полевошпатовыми перидотитами (обр. 15 385). Подобная идентификация однако не правомерна. Эти породы по содержанию в них плагиоклаза (21 %) не отвечают ни оливиновому габбро, в котором содержание плагиоклаза всегда выше 35 %, ни полевошпатовому перидотиту, содержащему не более 35 % плагиоклаза.

Для обр. 15 633 приводится микрофотография (рис. 8), которая характеризует габбродолеритовую структуру породы.

Для пикродолеритов с «Аполлона-15» и для пикродолеритов «АЛС-16» характерно непостоянство состава клинопироксенов (рис. 9, 10, 11), в то время как оливин и плагиоклаз имеют достаточно постоянный состав.

Пикробазальты и пикродолериты — породы низкоглиноземистые ( $al' < 0,75$ ) и высокофеомичные ( $f' = 30—45$ ), т. е. высокомеланократовые. Сравнительно с другими видами базальтов и долеритов характеризуются самыми низкими значениями коэффициентов:  $Al_2O_3/MgO = 0,2—0,7$ ;  $Al_2O_3/(MgO/FeO) = 6—15$ ;  $CaO/MgO = 0,3—0,8$  (см. табл. 1).

### Оливиновый базальт и оливиновый долерит

Для пород характерно содержание олинина, колеблющееся в пределах 5—15 % (по объему),  $MgO$  7—( $\pm 1$ )—12( $\pm 1$ ) % (по массе),  $Al_2O_3$  8—17, а в высокоглиноземистых разностях 17—22 %,  $TiO_2$  0,2—4 %.

В составе пород присутствуют: оливин ( $Fa_{24—70}$ ), плагиоклаз ( $Alp_{71—97}$ ), клинопироксен, обычно сильно колеблющегося состава (рис. 12, 13, 14), а также шпинель, ильменит, троилит и другие акцессорные минералы, в базальтах — стекло [34]. Структура пород нередко порфировая, основная масса стекловатая, криптокристаллическая или долеритовая (рис. 15, 16). Фенокристаллы образованы оливином (I) размером около 1 мм и плагиоклазом. В основной криптокристаллической или стекловатой массе содержатся

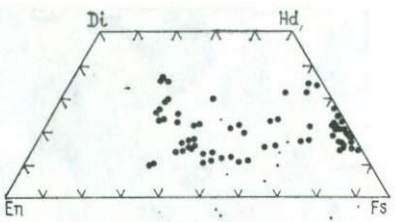


Рис. 14. Переменный состав пироксена в оливиновых базальтах (обр. 15 615, «Аполлон-15» [25])



Рис. 15. Оливиновый долерит с микродолеритовой структурой (без анализатора).  
Порода состоит (в %) из плагиоклаза (30), пироксена (56), оливин (8) и рудного — ильменита (5) и хромита (обр. 15607, «Аполлон-15» [25])

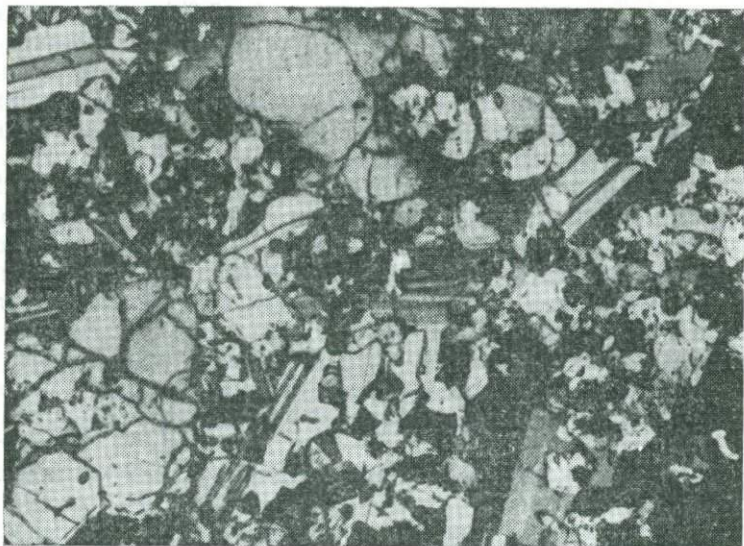


Рис. 16. Оливиновый долерит с долеритовой, участками офитовой структурой  
(с анализатором)

Порода состоит (в %) из плагиоклаза (29), пироксена (51), оливин (11), рудных (6 — хромит, ильменит) и др. минералов (обр. 15647 — то же)

скелетные зерна шпинели и микролиты крионопироксена и оливина (II). По данным Д. Грина и др. [34] кристаллизация оливина проходила при температуре 1230 °С, клинопироксена около 1190 °С, шпинели 1210 °С (обр. 12009, «Аполлон-12»). Шпинель высокомагнезиальная и имеет состав:  $\text{SiO}_2$  0,05;  $\text{TiO}_2$  4,84;  $\text{Al}_2\text{O}_3$  12,40;  $\text{Cr}_2\text{O}_3$  50,16;  $\text{V}_2\text{O}_5$  0,98;  $\text{FeO}$  24,59;  $\text{MnO}$  0,37;  $\text{MgO}$  7,26;  $\text{CaO}$  0,04;  $\Sigma = 100,69$  (по данным электронного микрозондирования [34]).

Для высокоглиноземистых оливиновых базальтов, в частности, с корабля «Аполлон-15» [20] характерно присутствие стекла с содержанием  $\text{SiO}_2$  63,3—77,1 \* и  $\text{K}_2\text{O}$  5,7—10,8 %, а также барийсодержащего калиевого полевого шпата (обр. 15356, 1-1) состава: а)  $\text{An}_{48,7}\text{Ab}_{9,7}\text{Or}_{31,4}\text{Cp}_{10,2}$ , б)  $\text{An}_{26,0}\text{Ab}_{3,3}\text{Or}_{62,6}\text{Cp}_{8,1}$ , в)  $\text{An}_{9,0}\text{Ab}_{2,4}\text{Or}_{79,7}\text{Cp}_{8,9}$  и металлического железа кобальт- и никельсодержащего:  $\text{Fe}_{92,5-96,0}\text{Ni}_{5,9-4,5}\text{Co}_{0,44-0,47}$ .

Оливиновые базальты обычно низкоглиноземистые ( $\text{al}' < 0,75$ ), реже умереноглиноземистые ( $\text{al}' = 0,75-1$ ) и высокоглиноземистые ( $\text{al}' > 1$ ). Фемичность последних низкая ( $f' = 14-22$ ), первых — высокая ( $f' = 30-45$ ).

Оливиновые базальты и оливиновые долериты наиболее широко развитые породы на Луне — они отмечены во всех местах взятия образцов «АЛС-16, -20, -24» и «Аполлон-11, -12, -14, -15, -16, -17» (см. рис. 7).

### Базальт и долерит

Для пород характерно незначительное (<5 %) содержание оливина, а нередко и полное его отсутствие. Содержание  $\text{MgO}$  5—7 ( $\pm 1$ ) %,  $\text{Al}_2\text{O}_3$  12—17,  $\text{TiO}_2$  0,3—5 %. Главными минералами базальтов и долеритов являются плагиоклаз ( $\text{An}_{71-95}$ ) и клинопироксен переменного состава (рис. 17, 18, 19); последний соответствует чаще всего пижониту, субкальциевому авгиту, авгиту, реже ферроавгиту. В породах присутствуют также ильменит ( $\text{MgO} 0,2 \%$ ), шпинель (по составу между хромитом и ульвошпинелью), троилит. металлическое Fe, нередко тридимит и кристобалит. Последние два минерала иногда содержатся в количествах >3 %, что позволяет выделять кристобалитовые или тридимитовые разновидности базальтов и долеритов (обр. 10044, [48]).

Для базальтов («Аполлон-12, -15») характерна порфировая структура [27]. Фенокристаллы представлены крупным зональным магнезиальным пижонитом с оболочкой из авгита и ферроавгита. Содержание фенокристаллов пироксена до 36—44 %. Размер фенокристаллов пироксена колеблется по длине 0,5—2 мм и ширине 0,6—0,8 мм.

В мелкозернистой основной пироксен-плагиоклазовой массе пироксен более железистый, чем в фенокристаллах. Там, где присут-

\* Многие исследователи лунного материала неоднократно отмечали накопление кислых (риолитовых) продуктов на последней стадии кристаллизации «морских» базальтов [40].

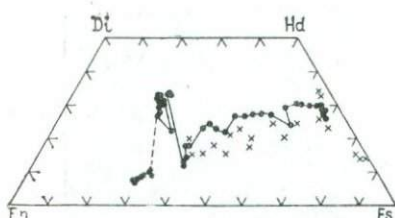


Рис. 17. Переменный состав пироксена в базальтах (обр. 15 116, «Аполлон-15» [25])

Точки — состав последовательных зон вкрапленников плагиоклаза; крестики — состав пироксенов основной массы.

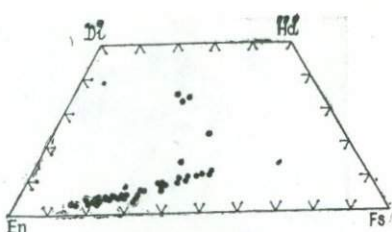


Рис. 18. Переменный состав пироксена в базальтах «Аполлон-15» (обр. 15 382)

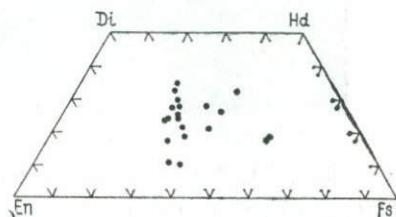


Рис. 19. Переменный состав пироксена в базальтах «Аполлон-15» (обр. 15 605)

стает металлическое железо ( $\text{Ni} 3—7\%$ ,  $\text{Co} \approx 1,5\%$ ), оно обычно включено в фенокристаллы пироксена. Стекло базальтов богато калием, иногда в стекле содержится бариевый калиево-натриевый полевой шпат. Там, где присутствует оливин, состав его близок к составу в оливиновых видах базальтов (см. табл. 1).

Базальты и долериты низко- и умеренноглиноземистые (нормальные). Низкоглиноземистые — породы меланократовые ( $f' = 30—45$ ), умеренно-глиноземистые — мезократовые ( $f' = 22—30$ , см. табл. 5). Они наблюдаются среди образцов «АЛС-16, -20, -24», а также «Аполлона-12, -14, -15, -17» (см. рис. 7).

На рис. 20, 21, 22 представлены наиболее характерные структуры лунных базальтов, а на рис. 23, 24 — лунных долеритов, весьма сходные с земными [13].

### Лейкобазальт и лейкодолерит (высокоглиноземистый базальт)

Данный вид пород характеризуется минимальным среди базальтов содержанием  $\text{MgO}$  3—5 и наибольшим  $\text{Al}_2\text{O}_3$  14—19 и довольно высоким  $\text{TiO}_2$  1—5 % (до 8 %). Породы высокоглиноземистые, редко умеренноглиноземистые. Для них весьма показательны коэффициенты  $\text{Al}_2\text{O}_3/(\text{MgO}/\text{FeO}) = 50—100$ ,  $\text{CaO}/\text{MgO} = 2—6,5$ ,  $\text{Al}_2\text{O}_3/\text{MgO} = 3—7$ , которые резко выделяют этот вид базальтов от всех других видов (см. табл. 1).

В их минеральном составе, помимо плагиоклаза (An<sub>74—97</sub>)

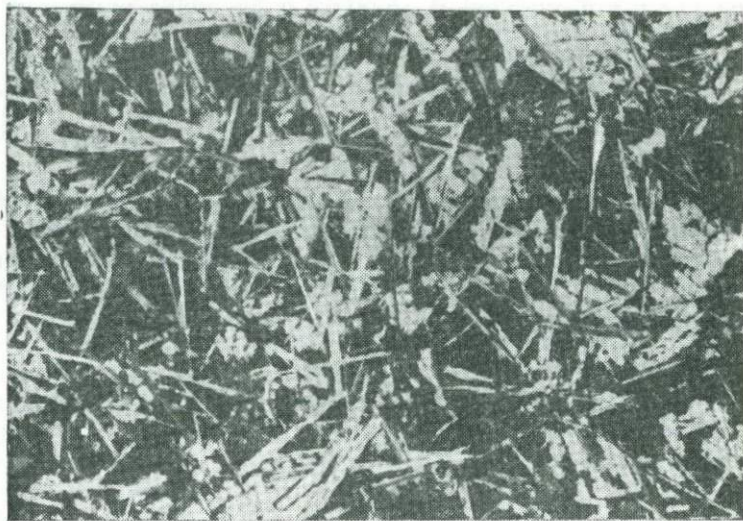


Рис. 20. Базальт с субофитовой структурой (без анализатора)

Порода состоит (в %) из лейст плагиоклаза (49), пироксена (34) и рудных минералов (5). В интерстициях присутствует стекло, кристобалит и др. (обр. 15382, то же)

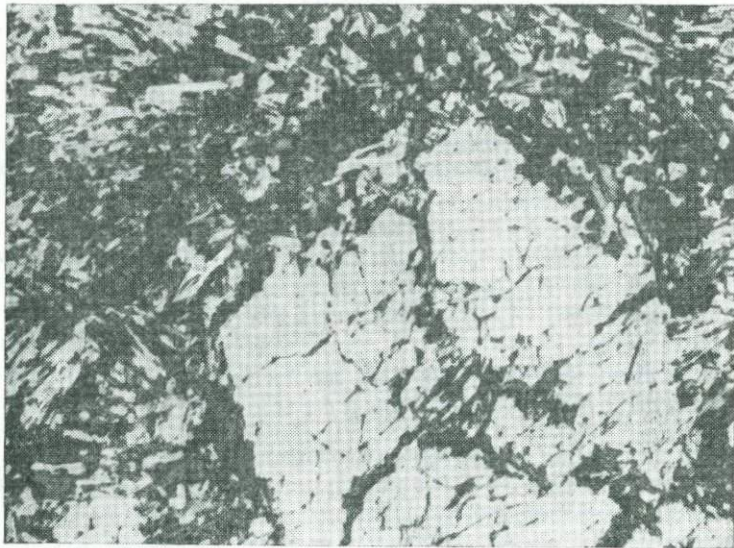


Рис. 21. Порфировый базальт с интерсерптельной, местами микрофитовой основной массой (без анализатора).

Фенокристалл пироксена около 1 см в длину. Плагиоклаза 29, пироксена 61 % (обр. 15118, то же)



Рис. 22. Базальт с гиалиновой основной массой (без анализатора)  
В микрокристаллах пироксен (44 %). Стекло составляет 51,6, оливин 4 рудные 0,4 % (обр.  
15125, то же)



Рис. 23. Долерит с пойкилоофитовой структурой; увел. 170, без анализатора  
(обр. 20.2.9.1; из коллекции ИГЕМ АН СССР)

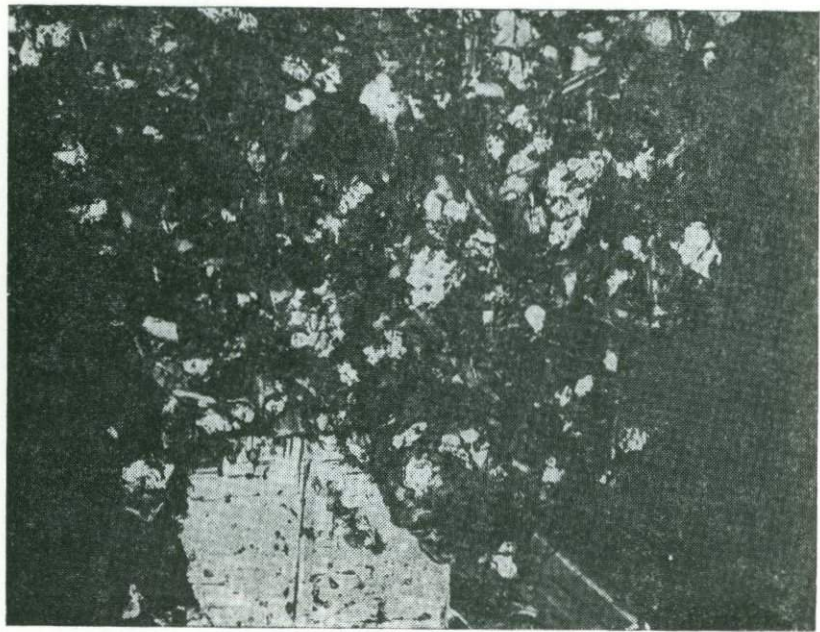


Рис. 24. Плагиофировый долерит с панидоморфнозернистой основной массой. Увел. 170, с анализатором (обр. 1018 из коллекции ГЕОХИ им. В. И. Вернадского АН СССР)

и клинопироксена, обычно резко переменного состава ( $\text{En}_{38-80}\text{Wo}_{22-7}\text{Fs}_{40-13}$ ) [20], иногда присутствуют кварц, кристобалит, тридимит, а также шпинель и металлическое железо, содержащее кобальт и никель (обр. 15 359;  $\text{F}_{90.5-93.9}\text{Ni}_{7.5-5.1}\text{Co}_{0.94-0.92}$ ; обр. 15 382:  $\text{Fe}_{95.5-98.7}\text{Ni}_{0.96-0.11}\text{Co}_{1.23-0.67}$ ). Присутствующее в лейкобазальтах стекло содержит  $\text{SiO}_2$  73,2—75,3 %,  $\text{K}_2\text{O}$  6,3—7,1 % (обр. 153 158).

Лейкобазальты и лейкодолериты распространены на Луне крайне ограниченно; они отмечены среди образцов, взятых аппаратами «АЛС-16» и «Аполлон-11» (см. рис. 7).

#### Ильменитовый и ильменит-оливиновый базальт и долерит (высокотитанистый базальт)

Эти образования — весьма характерные породы Луны; на Земле они крайне редки (известны находки в Восточных Саянах, на Сибирской платформе). Особенностью лунных ильменитовых пород является высокое содержание ильменита >10 % (по объему) и  $\text{TiO}_2$  5—14 % (до 20 %, см. табл. 1). Породы низкоглиноземистые с высокой фемичностью ( $f' = 30-45$ ), что сближает их с пикробазальтами и оливиновыми базальтами (см. табл. 1). В составе иль-

менит-оливинового вида наблюдаются плагиоклаз ( $\text{An}_{73-81}$ ), оливин ( $\text{Fa}_{30-40}$ ), ильменит и клинопироксен. Помимо обычных для других видов базальтов клинопироксенов в них отмечается новый минерал — пироксферроит — кальцийсодержащий железистый силикат [43].

В безоливиновом ильменитовом виде помимо ильменита содержится троилит с включениями металлического железа [29, 37]. Породы отмечены в пробе «АЛС-16», среди образцов с корабля «Аполлон-11» и др. (см. рис. 7).

### Двупироксеновый базальт (KREEP-базальт высокоглиноземистый)

Особенность этого вида базальтов — наличие двух пироксенов — клинопироксена (пижонит, субкальциевый авгит) и высокомагнезиального ортопироксена (редок гиперстен). Кроме того, этот вид базальтов обычно содержит плагиоклаз ( $\text{An}_{80-85}$ ) в количестве  $>50\%$  (по объему), что отличает его от большинства других видов базальтов (низко- и умеренноглиноземистых), в которых содержание плагиоклаза всегда меньше. От лейкобазальтов, которые так же как и данный вид являются высокоглиноземистыми и имеют низкую фемичность ( $f' = 14-22$ ), их отличает присутствие двух пироксенов. Все имеющиеся в нашем распоряжении химические анализы рассматриваемого вида убеждают исследователей отнести вид к так называемым KREEP-базальтам, т. е. базальтам, содержащим повышенное количество калия, фосфора и редкоземельных элементов.

Указанные особенности характерны и для земного высокоглиноземистого вида базальтов, а также двупироксенового, именуемого «гиперстеновым базальтом» [10]. Последний широко развит в пределах островных дуг Земли, но здесь ортопироксен железистый (гиперстен), в то время как в лунных породах он обычно высокомагнезиальный.

Структура данного вида базальтов нередко субофитовая. Обильные плагиоклазовые лейсты достигают  $0,2-0,8$  мм в длину и  $<0,1$  в ширину. Присутствующее стекло высококремниевое ( $\text{SiO}_2$  70—75 %,  $\text{K}_2\text{O}$  6—8 %). Породы содержат также кристобалит, а из рудных минералов — ильменит и шпинель [36].

В связи с выделением на Луне различными исследователями особой группы KREEP-базальтов, необходимо отметить, что большая часть их отвечает по нашей номенклатуре высокоглиноземистым двупироксеновым базальтам, отдельные образцы идентифицируются как низко-, умеренно- и высокоглиноземистые оливиновые базальты и долериты.

Среди «морских» базальтов наиболее широко развиты оливиновые, реже ильменит-оливиновые и ильменитовые базальты — типа А, В, С [45].

Таблица 3

## Классификация и номенклатура лунных

Ряд основных плутонических пород	Магнезиальный			Умеренномагнезиальный (нормальный)	
Классификационный признак ряда	Граничное содержание SiO <sub>2</sub> MgO (%)	41—48 12 (±1)—27		38—52 3—12 (±1)	
	Типоморфные ± существенные модальные минералы	Ol, Pl, ±Cpx, ±Opx			Pl, ±Cpx, ±Opx, ±Ol, ±Il
Семейство плутонических пород	Оливиновых (или пироксеновых) меланогабброидов			Габброидов	
Граничное содержание в семействе (%)	SiO <sub>2</sub> (%) MgO (%)	41—48 12 (±1)—27		38—52 3—12 (±1)	
Типоморфные ± существенные модальные минералы семейств	Ol, Pl, ±Cpx, ±Opx			Pl, Cpx, ±Opx, ±Ol, ±Il	
Вид плутонических пород	Оливиновое (или пироксеновое) меланогаббро	Троктолит		Оливиновое габбро	
Типоморфные ± существенные модальные минералы видов	Ol, Cpx, Pl, ±Opx	Ol, Pl		Ol, Pl, Cpx	
№ вида п/п	9Л	10Л	10бЛ*	11Л	12Л
Состав и содержание модальных минералов видов (%)	Ol (Fa <sub>40-65</sub> ) 15—35% Cpx (магнезиальный)>20 Pl (An <sub>84-93</sub> )>20 Crt Po	Ol (Fa <sub>5-35</sub> ) 35—50% Pl (An <sub>83-98</sub> ) 47—60% ±Opx ±Cpx (En <sub>82-80</sub> Wo <sub>4-30</sub> Fs <sub>9-23</sub> ) ±Sp ±Il	Ol (Fa <sub>30-50</sub> ) 8—18% Pl (An <sub>91-98</sub> )>30% Cpx (En <sub>59-67</sub> Wo <sub>7-21</sub> Fs <sub>19-26</sub> )>50% ±Il ±Qs ±Sp	Pl (An <sub>77-88</sub> ) 30—40%, в лейкогаббро 77—90% Cpx (En <sub>3-80</sub> Wo <sub>4-44</sub> Fs <sub>7-27</sub> ) 50—70% Ol (Fa <sub>15-25</sub> ) Opx (бронзит) (Opx+Ol 42—64%) Rm<3%	Pl (An <sub>90-94</sub> ) 35—58% Opx (En <sub>72-74</sub> ) в лейкогаббро <30% ±Ol (Fa <sub>8-37</sub> ), ±Fsp (An <sub>21,6</sub> Ab <sub>5,0</sub> Or <sub>73,3</sub> ) (в лейкогаббро) ±Sp, ±Il, ±Po (Rm 6—10%)
Структура	Габбровая	Панидиоморфноэзернистая	Габбровая, габброофито-пойкилитовая, гипидио-субофитовая, сидерони		
Границы содержания химических компонентов видов (%)	SiO <sub>2</sub> TiO <sub>2</sub> Al <sub>2</sub> O <sub>3</sub>	41—48 0,2—3 8—11	41—45 (до 47) 0,05—1 (до 1,8) 14—25	41—45 0,05—0,3 0,2—2,5 22—25 (до 29)	43—52 0,2—2 (редко до 4) 8—20 20—26

## основных плутонических пород

	Умеренномагнезиальный (нормальный)			Hизкомагнезиальный	
	38—52 3—12 (±1)			42—50 0—3	
	Pl, ±Cpx, ±Opx, ±Ol, ±Il			Pl, ±Cpx, ±Opx	
		Габброидов		Анортозитов	
	38—52 3—12 (±1)			42—50 0—3	
	Pl, Cpx, ±Opx, ±Ol, ±Il			Pl, ±Cpx, ±Opx	
		Габбро		Анортозит	
	Ol, Pl, Cpx			Pl	
	13Л	14Л	15Л	16Л	
	Pl Cpx Ol Il>10	Pl (An <sub>85-90</sub> ) 35—54% Ol (Fa <sub>15-25</sub> ) Opx (бронзит) (Opx+Ol 42—64%) Rm<3%	Pl (An <sub>77-88</sub> ) 30—40%, в лейкогаббро 77—90% Cpx (En <sub>3-80</sub> Wo <sub>4-44</sub> Fs <sub>7-27</sub> ) 50—70% Ol (Fa <sub>8-37</sub> ), ±Fsp (An <sub>21,6</sub> Ab <sub>5,0</sub> Or <sub>73,3</sub> ) (в лейкогаббро) ±Sp, ±Il, ±Po (Rm 6—10%)	Pl (An <sub>90-94</sub> ) 35—58% Opx (En <sub>72-74</sub> ) в лейкогаббро <30% ±Ol (Fa <sub>8-37</sub> ), ±Fsp (An <sub>21,6</sub> Ab <sub>5,0</sub> Or <sub>73,3</sub> ) (в лейкогаббро) ±Sp, ±Il, ±Po (Rm 6—10%)	Pl (An <sub>75-100</sub> ) 85—100% ±Ol (Fa <sub>14-51</sub> ) Opx (En <sub>60</sub> Wo <sub>3</sub> Fs <sub>37</sub> ) ±Cpx (En <sub>39-51</sub> Wo <sub>24-44</sub> Fs <sub>13-24</sub> ) ±Po, ±Crt, ±Il)
	17Л				
	вая, микроморфическая, Аллотриоморфно-эзернистая	Габбровая, габброофитовая	Габбровая, габброофитовая	Аллотриоморфно-эзернистая	Панидиоморфно-эзернистая, гранобластовая
	38—45 5—6 9—14	41—47 0,6—1,8 17—23	43—48 (до 52) 0,6—4 10—23	43—47 (до 50) 0,1—2 23—31	47—51 0,4—1,8 14—17 26—36

Границочные содержания химических компонентов видов (%)	FeO	15—25	3—10	4—7	5—12 (до 24)	4—11
	MnO	0,2—0,4	0,02—0,2	0,03—0,1	0,1—0,3	0,04—0,2
	MgO	12 (±1)— —16	14—21 (до 27)	12 (±1)—16 (до 19)	8—12 (до 11)	7—12 (±1)
	CaO	8—12	7—14	11—15	8—14	10—15
	Na <sub>2</sub> O	0,2—0,3	0,2—1	0,2—0,6	0—1,1	0,2—1
	K <sub>2</sub> O	0—0,03	0—0,2	0—0,2	0,05—0,8 (до 1,2)	0—0,3 (до 1)
	P <sub>2</sub> O <sub>5</sub>	0	0—0,3	0—0,2	0—1	0—0,5
al' = $\frac{Al_2O_3}{(FeO+MgO)}$ (коэффициент глиноzemистости)	H	H	Y —1	B 0,75— —1	Y —1	B —1
Характерные особенности видов лунных плутонических пород	MgO > 12 (±1) Al <sub>2</sub> O <sub>3</sub> < 11 FeO > 14 TiO <sub>2</sub> < 3	MgO > 12 (±1) Al <sub>2</sub> O <sub>3</sub> > 14 FeO < 10 TiO <sub>2</sub> < 1	MgO > 12 (±1) Al <sub>2</sub> O <sub>3</sub> > 22 FeO < 7 TiO <sub>2</sub> < 0,3	MgO < 12 (±1) Al <sub>2</sub> O <sub>3</sub> < 20 FeO 5—12 (до 24) TiO <sub>2</sub> < 2,5	MgO < 12 (±1) Al <sub>2</sub> O <sub>3</sub> > 20 FeO 4—11 TiO <sub>2</sub> < 2 ± 11	MgO < 12 (±1) Al <sub>2</sub> O <sub>3</sub> > 20 FeO 4—11

Примечания: 12 Л — оливиновое высокоглиноземистое габбро. Разновидности (б):

## ОСНОВНЫЕ ПЛУТОНИЧЕСКИЕ ПОРОДЫ

Лунные основные plutонические породы представлены тремя главными семействами (табл. 3): 1) оливиновых (или пироксеновых) меланогаброидов, 2) габроидов и 3) анатортитов, относимых, соответственно к магнезиальному [MgO 12 (±1) — 24 % при SiO<sub>2</sub> 41—48 %], умеренному магнезиальному (нормальному) [MgO 3—12 (±1) % при SiO<sub>2</sub> 38—52 %] и низкомагнезиальному ряду [MgO 0,3 % при SiO<sub>2</sub> 42—50 %].

Условно, без включения в классификационную табл. 3, выделяется на Луне и семейство пироксенитов (см. рис. 2), по которому мы располагаем крайне ограниченным числом анализов. Мы полагаем, однако, что эта ограниченность обусловлена в основном слабой изученностью Луны и подобные породы имеют широкое распространение. Название семейства дано в соответствии с систематикой земных пород.

В нашем распоряжении имеется всего 3 химических анализа (табл. 4). Эти породы ранее были определены как ультрамафиты (1 — 1270, 15-2; 2 — 12070, 25-(7-1), 3 — 1200, 1; 12057, 12070 [42, табл. 14]. Однако сопоставление их с земными аналогами скорее позволяет отнести их к породам семейства пироксенитов. В частности, по содержанию SiO<sub>2</sub>, TiO<sub>2</sub>, Al<sub>2</sub>O<sub>3</sub>, FeO, MgO они близки роговообманковым пироксенитам [8, табл. 7].

Типоморфными ± существенными минералами семейства оливиновых (или пироксеновых) меланогаброидов являются Ol, Pl, ±Cpx, ±Opx. Данное семейство состоит из двух видов: 1) оливиновых (или пироксеновых) меланогаббро и 2) троктолитов. Для первого вида к типоморфным ± существенным минералам относят Ol, Cpx, Pl, ±Opx, для второго — Ol, Pl. Оливиновое

21—25 0,2—0,4 8—12 ( $\pm 1$ )	7—12 (до 15) 0,1—0,2 9—12 (до 15)	6—23 0,1—0,3 5—7 ( $\pm 1$ )	3—10 0—0,1 3—7 ( $\pm 1$ )	8—15 0,1—0,3 9—12 (до 16)	0,04—4 0—0,1 0—3
9—14 0,2—0,6 0,04—0,08	9—14 0,3—1,7 0,1—0,6	9—14 0,2—1 0,03—2	13—17 0,02—0,6 (до 1,3) 0—0,3 (до 1)	8—12 0,3—1 0,1—0,6	17—20 0,3—0,7 0—0,1
0—0,1	0,1—0,8	0—1	0—0,3 (до 1)	0—0,75	0—0,2
H <0,75	H <0,75 0,75—1	Y B >1	H <0,75 0,75—1	Y B >1	B >1
MgO < 12 ( $\pm 1$ ) Al <sub>2</sub> O <sub>3</sub> < 14 FeO 21—25 TiO <sub>2</sub> < 5 11 > 10	MgO < 12 ( $\pm 1$ ) Al <sub>2</sub> O <sub>3</sub> 17—23 FeO 7—12 (до 15) TiO <sub>2</sub> < 1,8	MgO 5—7 ( $\pm 1$ ) Al <sub>2</sub> O <sub>3</sub> 10—23 FeO 6—23 TiO <sub>2</sub> < 4	MgO 3—7 ( $\pm 1$ ) Al <sub>2</sub> O <sub>3</sub> 23—31 FeO 3—10 TiO <sub>2</sub> < 2	MgO 9—12 (до 16) Al <sub>2</sub> O <sub>3</sub> 14—17 FeO 8—15 TiO <sub>2</sub> < 1,8	MgO < 3 Al <sub>2</sub> O <sub>3</sub> 26—36 FeO 0,04—4 TiO <sub>2</sub> < 0,4

\* шпинелевый троктолит. 2\* лейкогаббро (габбро-анортозит).

(или пироксеновое) меланогаббро — редкая порода на Луне. По имеющимся данным она встречена только среди образцов станций «Луна-24» и корабля «Аполлон-12»; второй же вид — троктолит и его разновидность — шпинелевый троктолит отмечены в образцах «АЛС-16, -20», «Аполлон-11, -14, -15, -16, -17» (см. рис. 7).

Типоморфными  $\pm$  существенными минералами второго семейства — габброидов являются Pl, Cpx,  $\pm$  Opx,  $\pm$  Ol,  $\pm$  Il. Оно состоит из 5 видов: 1) оливинового габбро — Ol, Pl, Cpx; 2) ильменит-оливинового габбро — Ol, Pl, Cpx, Il; 3) оливинового норита — Ol, Opx, Pl; 4) габбро — Pl, Cpx; 5) норита — Ol, Opx. Наиболее распространением среди указанных видов пользуются оливиновое габбро и габбро («АЛС-16, -24»; «Аполлон-11, -12, -14, -15, -16, -17»). Отметим, что среди основных пород вулканического класса наиболее широко развиты оливиновые базальты и базальты (см. рис. 7), самые близкие им по химическому и минеральному составу.

Третье семейство — аортозитов, главным минералом которого является Pl ( $\pm$  Cpx,  $\pm$  Opx) состоит из одного вида того же наименования. Аортозиты отмечены во всех местах отбора образцов «АЛС-16, -20, -24» и «Аполлона-11, -12, -14, -15, -16, -17» (см. рис. 7). Таким образом, аортозиты среди плутонических пород Луны — распространенная порода. Особенно широко они представлены в материковых пробах.

Главные особенности минерального, химического состава, а также структур лунных основных плутонических пород приведены в табл. 3. Следует отметить, что для плутонических пород, классифицируемых, по возможности, в соответствии с видами земных плутонических пород, имеется значительно меньше материалов, чем для вулканических пород. Это в значительной степени определило условность выделения некоторых видов. Так, оливиновый норит,

Таблица 4

## Химический состав лунных пироксенитов (%)

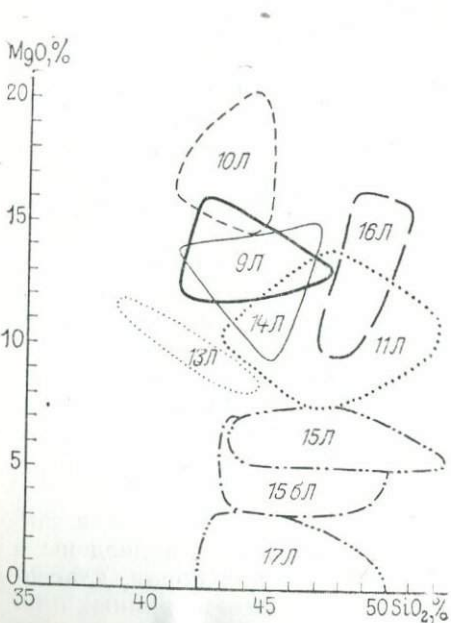
Компоненты	Образец			Компоненты	Образец		
	1	2	3		1	2	3
SiO <sub>2</sub>	41,3	50,2	51,8	MgO	15,3	13,4	17,9
TiO <sub>2</sub>	3,3	1,60	0,88	CaO	6,8	11,3	5,8
Al <sub>2</sub> O <sub>3</sub>	7,6	3,6	1,16	Na <sub>2</sub> O	0,26	0,12	0,02
Cr <sub>2</sub> O <sub>3</sub>	0,70	0,57	0,35	K <sub>2</sub> O	0,07	0,06	—
FeO'	24,5	18,0	22,7	P <sub>2</sub> O <sub>5</sub>	—	0,05	—
MnO	0,27	0,24	0,29	Сумма	100,10	99,15	100,91

Примечание:

1 — 1270, 15—2; 2 — 12070, 25—(7—1) [23]; 3 — 1200, 1; 12057, 12070 [42, табл. 14].

оливиновое габбро и норит различаются, как известно, по наличию или отсутствию в них ортопироксена. В то же время данные о наличии в лунных породах ортопироксена зачастую отсутствуют. Не можем мы привести и полной характеристики ильменит-оливинового габбро, которое в соответствии с принципами классификации, выделено по высокому содержанию в нем ильменита (>10%).

Для более точной диагностики того или иного вида и выработки критерии их различия были привлечены вариационные диаграммы некоторых химических компонентов



SiO<sub>2</sub> — MgO, FeO — MgO, Al<sub>2</sub>O<sub>3</sub> — MgO (рис. 25, 26, 27). На диаграммах обособляются поля видов № 9 (с существенным перекрытием видом 9 видом 14 на рис. 25), 10, 13, 15, 15б, 17\*. Наряду с этим на указанных диаграммах видны также перекрытия полей № 11 (оливиновое габбро), № 14 (оливиновый норит) и № 16 (норит). Это свидетельствует об определенном химическом сходстве указанных видов. Во всех

Рис. 25. Положение полей статистического распределения составов видов лунных основных плутонических пород в координатах SiO<sub>2</sub> — MgO (%)

9 Л — оливиновое (или пироксеновое) меланогаббро; 10 Л — троктолит; 11 Л — оливиновое габбро; 13 Л — ильменит-оливиновое габбро; 14 Л — оливиновый норит; 15 Л — габбро; 15БЛ — лейкогаббро; 16 Л — норит; 17 Л — анортозит

\* Наименование видов п/п см. в табл. 3.

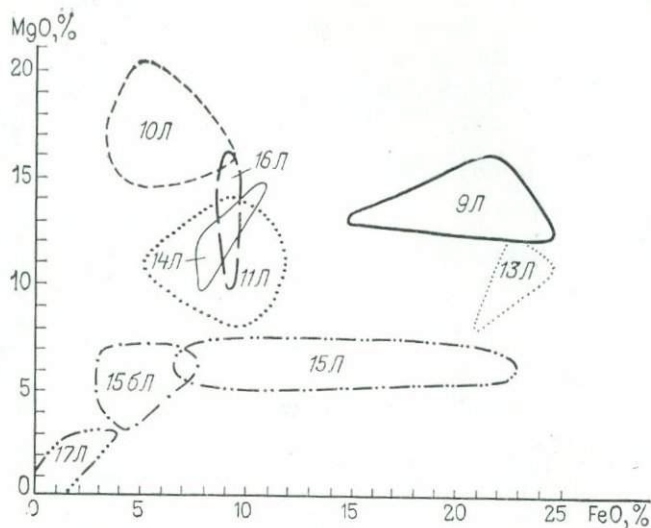


Рис. 26. Положение полей статистического распределения составов лунных основных плутонических пород в координатах  $\text{FeO} - \text{MgO}$  (%)

Условные обозначения см. на рис. 25

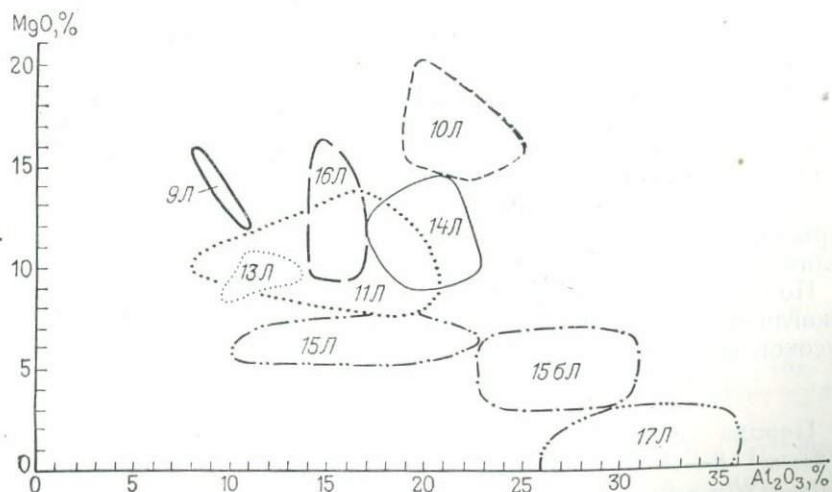


Рис. 27. Положение полей статистического распределения составов видов лунных основных плутонических пород в координатах  $\text{Al}_2\text{O}_3 - \text{MgO}$  (%)

Условные обозначения см. на рис. 25

этих случаях для более точной диагностики необходимо использовать минералогические данные, которые, как мы уже отмечали, к сожалению, в литературе зачастую отсутствуют. В результате мы не исключаем возможность некорректного, в ряде случаев, отнесения породы к тому или иному виду (габбро, норит).

Виды, по которым в литературе приводятся петрографические данные, мы кратко охарактеризуем ниже.

### Оливиновое меланогаббро

Для данного вида характерно высокое содержание  $MgO > 12(\pm 1)\%$ ,  $FeO > 14\%$  и низкое  $Al_2O_3 < 11\%$  и  $TiO_2 < 3\%$  (см. табл. 3).

Порода состоит из оливина ( $Fa_{40-65}$ ) в количестве 15—35 %, магнезиального клинопироксена  $> 20\%$ , плагиоклаза ( $Ap_{86-93}$ )  $> 20\%$ , знаков хромшпинелида, троилита. Порода низкоглиноземистая.

В. Л. Барсуков, Л. В. Дмитриев и др. [4] выделяют меланогаббро среди образцов, взятых «АЛС-24» (обр. 1642). Авторы относят эти породы к низкотитанистым и низкощелочным. Приводится их химический состав (%):  $SiO_2$  47,6;  $TiO_2$  0,20;  $Al_2O_3$  9,94;  $Cr_2O_3$  1,12;  $FeO$  14,7;  $MnO$  0,25;  $MgO$  13,0;  $CaO$  12,2;  $Na_2O$  0,21;  $K_2O$  0,03. Высказывается предположение, что порода может соответствовать самостоятельной эволюционной линии. Это подтверждается магнезиальным составом оливина. Авторы не исключают также возможности раннего кумулятивного происхождения слагающего ее оливина. В этом случае, как отмечается, порода должна принадлежать к наиболее глубинным разностям рассматриваемой серии.

### Троктолит

Порода состоит из оливина ( $Fa_{5-35}$ ) 35—50 % и основного плагиоклаза ( $Ap_{88-98}$ ) 47—60 %. Кроме того, могут присутствовать орто- и клинопироксены, шпинель и ильменит. Для рассматриваемого вида характерно высокое содержание  $MgO > 12(\pm 1)$  и  $Al_2O_3 > 14\%$  и низкое  $FeO < 10$  и  $TiO_2 < 1\%$ .

Разновидностью троктолита является шпинелевая порода, содержащая несколько больше  $Al_2O_3$  (до 22 %), чем обычный троктолит, а также меньшее количество  $FeO < 7\%$  и  $TiO_2 < 0,3\%$ .

По имеющимся материалам, троктолиты низко-, умеренно- и высокоглиноземистые. Шпинелевые троктолиты — только умеренно и высокоглиноземистые (см. табл. 3).

### Оливиновое габбро

Порода состоит из трех главных минералов: оливина ( $Fa_{30-50}$ ) 8—18 %, плагиоклаза ( $Ap_{91-95}$ )  $> 30$  и клинопироксена ( $En_{59-67} Wo_{7-21} Fs_{19-26}$ )  $> 50\%$ . Могут присутствовать ильменит, шпинель, кристобалит. А. Бенс, Т. Гроув и Т. Скэмбос [21] приводят для шпинелевого габбро следующий модальный минеральный состав (в %): клинопироксен 52,2, плагиоклаз 33,7, оливин 9,5,

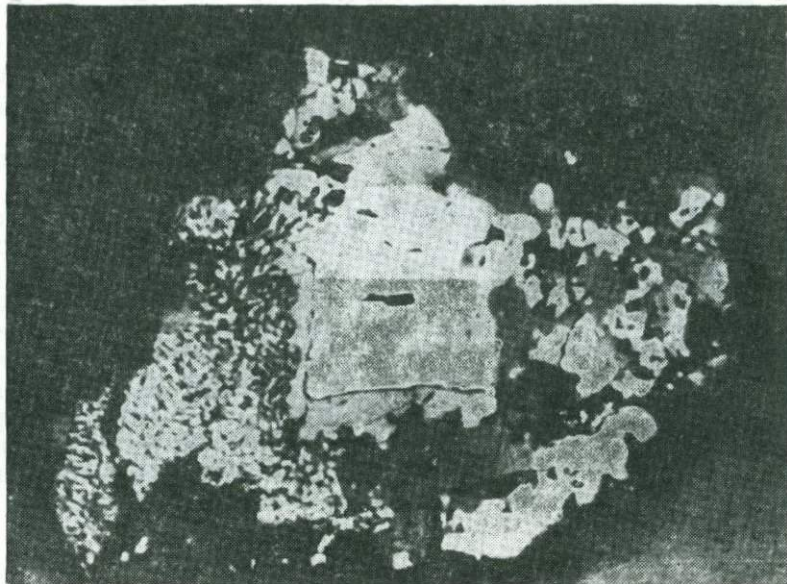


Рис. 28. Оливиновое микрогаббро

Тонкокристаллический эвтектоидный агрегат (фаялит+феррогеденбергит+тридимит?), кородирующий соседние зерна микрогаббро (24.1.11.7) \*. В центре сросток ульвошпинели и ильменита. Увел. 320, без анализатора (из коллекции ИГЕМ АН СССР)

кристобалит 3,0, ильменит 0,6, шпинель и металлическая фаза — следы. Оливин по составу колеблется от  $Fa_{35}$  до  $Fa_{70}$  (редко до  $Fa_{80}$ ). Клинопироксен также весьма непостоянного состава от высокомагнезиального пижонита ( $En_{56}Wo_{12}$ ) до высококальциевого пироксена ( $En_{43}Wo_{36}$ ) и высокожелезистого пижонита. Плагиоклаз по составу основной ( $An_{80-90}$ ).

Оливиновое микрогаббро проб «АЛС-24», по данным Н. А. Ашихминой, О. А. Богатикова, Д. И. Фрих-Хара и других имеют аллотропоморфную, гипидоморфную, иногда субофитовую микроструктуру. Породы сложены клинопироксеном и плагиоклазом при подчиненной роли оливина и других минералов. Исследование состава существующих минералов и изучение их взаимоотношений позволило выделить три ведущие минеральные парагенные ассоциации, определяющие три разновидности микрогаббро.

1. Пижонит-авгит + аортит ( $An_{90-95}, Ogr_{0,1-0,5}$ ) + гиалосидерит до гортонолита ( $Fa_{42-59}$ ) + хромит.

2. Субкальциевый авгит — ферроавгит + битовнит ( $An_{84-90}, Ogr_{0,5-0,7} \pm$  феррогортонолит до фаялита ( $Fa_{75-93}$ ) + ильменит + ульвошпинель.

3. Феррогеденбергит + битовнит-аортит ( $An_{84-90}, Ogr_{do\ 1,5}$ ) + фаялит ( $Fa_{92}$ ) + ильменит + ульвошпинель.

\* Здесь и далее точки в нумерации разделяют (слева направо) номер АЛС, номер лабораторной (ИГЕМ) пробы, номер лабораторной фракции, номер фрагмента.

В пределах отдельных фрагментов оливинового микрогаббро выявляется непостоянство состава слагающих их минералов: так, например, в одном из таких фрагментов (24.1.2.4) \* состав всех зерен различен и меняется: у плагиоклаза (3 зерна) от  $\text{An}_{84}\text{Or}_{0.6}$  до  $\text{An}_{90}\text{Or}_{0.3}$ ; клинопироксена (5 зерен) от  $\text{En}_{17}\text{Fs}_{60}\text{Wo}_{23}$  до  $\text{En}_{47}\text{Fs}_{23}\text{Wo}_{30}$ , у оливина (3 зерна) от  $\text{Fa}_{85}$  до  $\text{Fa}_{93}$ . Различаются также составы зерен ильменита, минералов группы шпинели.

Во всех трех разновидностях оливинового микрогаббро в качестве поздней ассоциации минералов присутствуют минералы кремнезема (тридимит и кристобалит), а также калиевый полевой шпат.

Среди поздних образований в фаялитовом габбро встречаются участки, сложенные тонкокристаллическим агрегатом (фаялит + + феррогеденбергит + тридимит?) с эвтектоидной микроструктурой (рис. 28). Эти агрегаты корродируют и прорастают края более крупных зерен фаялита и феррогеденбергита. В левой части фрагмента (см. рис. 28) можно заметить участок перекристаллизованного эвтектоидного агрегата — более крупные выделения пироксена вмещают идиоморфные кристаллы оливина и тридимита (?).

### Ильменит-оливиновое габбро

Данный вид габброидов отличается от других видов обилием ильменита ( $>10\%$ ) и высокими значениями  $\text{FeO}$  (21—25 %) и  $\text{TiO}_2$  ( $>5\%$ ). Характерно низкое содержание  $\text{Al}_2\text{O}_3$  ( $<14\%$ ; см. табл. 3). Специчен низкоглиноземистый характер пород.

### Габбро

Для габбро показательно присутствие двух главных минералов: плагиоклаза ( $\text{An}_{77-98}$ ) 30—40 % (в лейкогаббро до 77—90 %) и клинопироксена переменного состава (см. табл. 3) в количестве 50—70 % (в лейкогаббро менее 30 %). Могут присутствовать единичные зерна оливина, калиевого полевого шпата, а также шпинель, ильменит, троилит. Содержание рудных минералов составляет 6—10 %.

Содержание  $\text{MgO}$  в габбро 5—7 ( $\pm 1$ ) %, в лейкогаббро 3—7 ( $\pm 1$ ) %;  $\text{Al}_2\text{O}_3$  в габбро 10—23 %, в лейкогаббро  $>23$  % (до 31). Коэффициент глиноземистости ( $\text{al}'$ )  $>1$ . Весьма показательно для лейкогаббро также низкое содержание  $\text{FeO}$  3—10 %, которое в габбро значительно выше и колеблется от 6 до 23 %.

Структура габбро габбровая или габброфитовая (рис. 29). Плагиоклаз представлен лейстовидными кристаллами или неправильными зернами. Клинопироксен встречается в неправильных выделениях. Аксессорные минералы наблюдаются в виде неправильных зерен, за исключением ульвошинели, которая иногда образует гипидиоморфные кристаллы. Хромит встречается очень редко в форме мелких октаэдрических кристаллов и пространственно разобщен с ульвошинелью [14].



Рис. 29. Габбро с офитовой структурой. Увел. 170, с анализатором (обр. 24.8.21.2 из коллекции ИГЕМ АН СССР)



Рис. 30. Норит с аллотриоморфнозернистой структурой  
Состоит из гиперстена и плагиоклаза ( $An_{78-85}$ ) 50—60 %. Увел. 170

### Норит и оливиновый норит

Для пород характерно присутствие оливинна ( $Fa_{15-25}$ ), плагиоклаза ( $An_{78-90}$ ) и ортопироксена (гиперстена или бронзита). В оливиновых норитах содержание оливинна и ортопироксена составляет 40—60 %, в норитах — оливин отсутствует. Для норитов характерна аллотриоморфная структура (рис. 30).

## Анортозит

Анортозиты освещены в литературе наиболее полно [24, 26, 49]. Характерной минеральной особенностью их является почти полная мономинеральность. Содержание плагиоклаза ( $An_{75-100}$ ) не-редко составляет 95—100 %, иногда снижаясь до 85 %. В виде единичных зерен (редко до 9 %) встречаются оливин ( $Fe_{25-50}$ ), клинопироксен (пижонит  $W_{04-16}Fs_{20-30}$ ) и крайне редко ортопироксен; из рудных минералов — ильменит, хромшпинелид, троилит; из акцессорных — циркон, апатит. Содержание  $MgO$  в них, сравнительно с другими основными plutоническими породами, минимальное  $<3\%$ , а  $Al_2O_3$  максимальное 26—36 %.

Среди образцов с корабля «Аполлон-11» исследователи выделяют два типа анортозитов: высококалиевый [24].

Высококалиевый тип состоит из следующих минералов:

обр. 14 321,17: плагиоклаз ( $An_{85}$ ), 98 %, циркон 1 %, витлокит 0,5 % \*, пироксен 0,5 %,  $K_2O=0,15\%$ ;

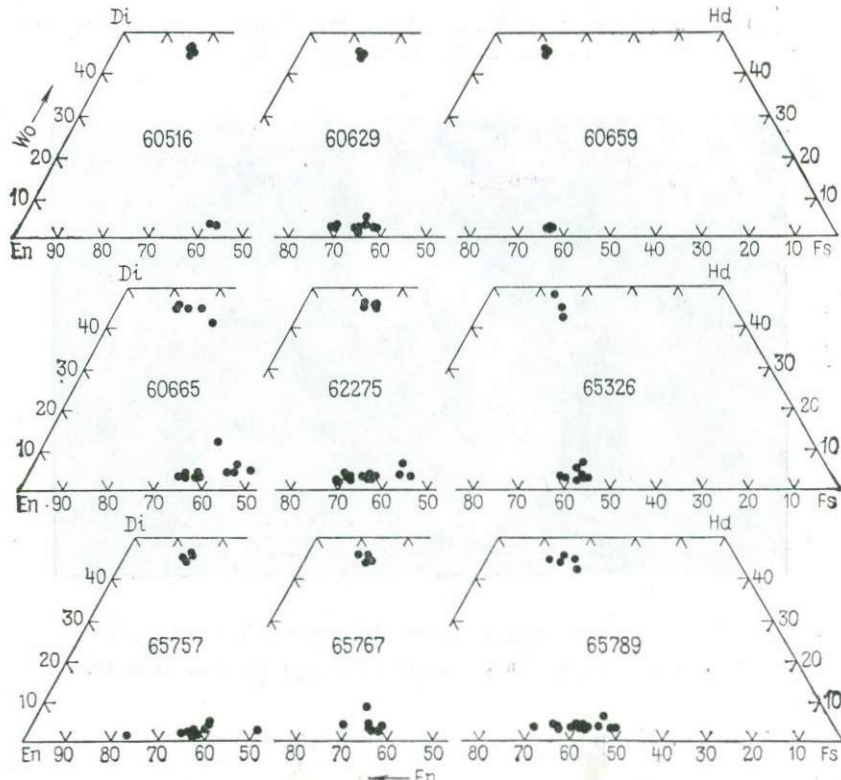


Рис. 31. Состав пироксена в железистых анортозитах в пробах с корабля «Аполлон-16» [28]

Пятизначные цифры обозначают номера проб.

\* Фосфат кальция  $(Ca, X)_3([P, Si]O_4)_2$  [16].



Рис. 32. Анортозит с гранобластовой структурой (обр. 60 619, «Аполлон-16» [28])

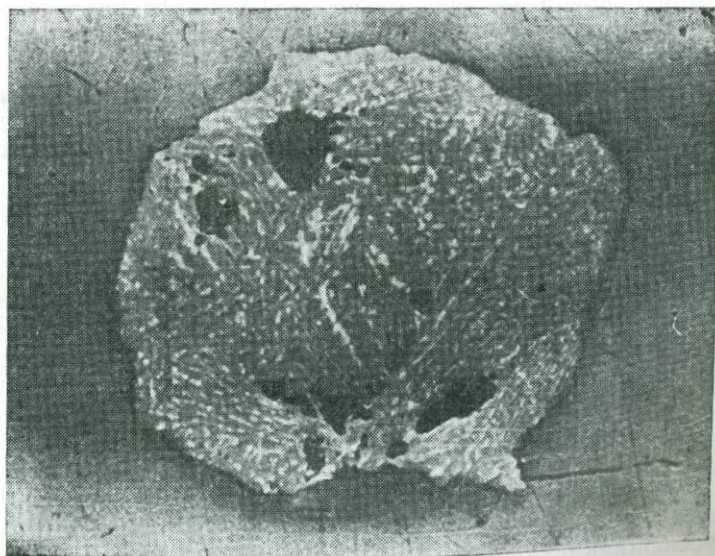


Рис. 33. Анортит из анортозита с тончайшими вростками феррогортонолита (обр. 24.1.10.1; увел. 250; коллекция ИГЕМ АН СССР)

- обр. 12 033,85: плагиоклаз ( $\text{An}_{80}$ ) 99 %, оливин ( $\text{Fa}_{30}$ ) 1 %, ильменит 1 %,  $\text{K}_2\text{O}=0,20$  %;
- обр. 12 233,97,7: плагиоклаз ( $\text{An}_{88}$ ) 100 %,  $\text{K}_2\text{O}=0,30$  %.
- Низкокалиевый тип:**
- обр. 14,161,35,2: плагиоклаз ( $\text{An}_{95}$ ) 90 %, оливин ( $\text{Fa}_{40}$ ) 9 %, ортопироксен 1 %,  $\text{K}_2\text{O}=0,04$  %;
- обр. 10 085,87,1: плагиоклаз 100 %,  $\text{K}_2\text{O}=0,01$  %;
- обр. 10 085,87,1: плагиоклаз ( $\text{An}_{75}$ ) 85 %, низкокальциевый клинопироксен — 20 %,  $\text{K}_2\text{O}=0,01$  %.

Среди аортозитов выделяется разновидность железистых аортозитов [28]. Данная разновидность обнаружена среди образцов «Аполлон-15, -16» (обр. 60 516, 1; 60 618, 1; 60 619, 1 и др.). Ее состав: плагиоклаз ( $\text{An}_{96-98}$ ), акцессорный высоко- и низкокальциевый пироксен (рис. 31), очень немного оливина ( $\text{Fa}_{60-62}$ ), следы ильменита (5,4—7,6 %  $\text{MgO}$ ) и хромита (3—5 %  $\text{TiO}_2$ , 5—6 %  $\text{MgO}$ , 12—15 %  $\text{Al}_2\text{O}_3$ ). Структура грубозернистая, катакластическая. На микрофото (рис. 32) представлен аортозит (обр. 60 619, «Аполлон-16») с гранобластовой структурой. Выделяемые исследователями гранобластовые разновидности аортозитов характеризуются наличием высокомагнезиальных оливинов ( $\text{Fa}_{25-30}$ ) и клинопирокснов.

Изредка наблюдаются также шпинель-оливиновые разновидности аортозитов, в которых плагиоклаз по составу почти чистый аортит ( $\text{An}_{96}$ ), а оливин ( $\text{Fa}_{17}$ ) и пироксен ( $\text{Ep}_{80-85}$ ) весьма магнезиальные.

Фрагменты аортозитов из пробы IV горизонта АЛС 24 по данным Е. В. Свешниковой, Н. А. Ашихминой, О. А. Богатикова, Д. И. Фрих-Хара и др. [11] сложены преобладающим по объему аортитом ( $\text{An}_{94-96}$ ,  $\text{Ogr}_{0,1-0,4}$ ) с мелкими включениями в него феррогортонолита ( $\text{Fa}_{75}$ ) и хромита ( $\text{MgO} 7,7$  %). Иногда в подобных породах наблюдается микроструктура распада твердого раствора (фрагмент 24, 1, 10, 1). На рис. 33 кристалл аортита содержит многочисленные тонкие (1—5 мкм) вrostки феррогортонолита, ориентированные преимущественно в трех направлениях.

Ориентированные включения оливина в аортозите как характерные образования были отмечены в образце аортозита 67 455, взятого у края кратера «Северный Луч» (North Ray) экспедицией «Аполлон-16» [38]. Исследователями отмечается значительная железистость оливина ( $\text{Fa}_{50}$ ), ассоциирующего с этим аортозитом.

### ГЛАВА III. УЛЬТРАОСНОВНЫЕ, СРЕДНИЕ И КИСЛЫЕ МАГМАТИЧЕСКИЕ ПОРОДЫ

Классификация лунных ультраосновных, средних и кислых пород, представленных в коллекциях образцов Земли лишь единичными образцами, дается условно.

Таблица 5

## Химический состав лунных ультраосновных плутонических пород (%)

Компоненты	Образец*				
	1	2	3	4	5
SiO <sub>2</sub>	40,61	39,93	37,5	40,3	42,2
TiO <sub>2</sub>	0,02	0,03	0,05	0,32	0,60
Al <sub>2</sub> O <sub>3</sub>	1,27	1,53	1,59	3,7	2,32
Cr <sub>2</sub> O <sub>3</sub>	0,11	—	0,49	0,12	0,45
FeO	11,46	11,34	5,8	12,2	20,3
MnO	0,11	0,13	0,16	0,11	0,20
MgO	45,51	43,61	33,7	41,2	26,0
CaO	1,22	1,14	6,2	1,70	8,5
Na <sub>2</sub> O	0,02	<0,02	0,14	0,07	0,16
K <sub>2</sub> O	<0,01	0,005	0,04	0,02	0,01
P <sub>2</sub> O <sub>5</sub>	—	0,04	0,02	0,36	0,04
S	—	0,01	—	—	—
Сумма	100,46	97,78	100,00	100,10	100,78

Примечание: Семейство дунитов — оливинитов (условно): 1 — 72415.11; 2 — 72415.2; 1—2 — по Р. Гасту и др. [32]. Семейство перидотитов (условно): 3 — 67435, 14 (занесено из журнала *Science*, 1973, v. 179); 4 — 14318, 4 (6), по М. Принсу и др. [30]; 6 — 12070, 30-2, по Т. Банчу и др. [23].

\* Система нумерации американских образцов принята следующей: образцы с кораблей «Аполлон-11» обозначаются пятизначным числом, начиная с десяти тысяч (10 0001 и т. д.), «Аполлон-12» — с двенадцати тысяч (12 001 и т. д.), «Аполлон-14» — с четырнадцати тысяч, а «Аполлон-15» — с пятнадцати тысяч. Образцы с «Аполлон-16» нумеруются с шестидесяти тысяч, а с «Аполлон-17» — с семидесяти тысяч. Дополнительные цифры означают номер фрагмента образца, подвергшегося исследованию.

В группе лунных ультраосновных плутонических пород ( $\text{SiO}_2 < 44\%$ ) выделяются два семейства, относящиеся к высокомагнезиальному ряду: дунитов — оливинитов и перидотитов (см. рис. 2). Мы условно выделяем эти два семейства, хотя минеральный модальный состав химически проанализированных образцов отсутствует. При этом мы используем опыт исследования пород Земли, в результате которого установлено, что для дунитов — оливинитов земного происхождения характерно присутствие одного главного пордообразующего минерала — оливина, для семейства перидотитов — типична ассоциация трех минералов O1+Opx+Cpx. При этом особенности минерального состава земных пород четко коррелируются с их химизмом. Это дает основание для определения (с некоторой долей условности) принадлежности лунных пород к тому или иному семейству или виду лишь по химическому составу.

В рассматриваемых лунных породах табл. 5 (анализы 1, 2) содержание всех петрогенных компонентов соответствует земным породам семейства оливинитов — дунитов [8, с. 28]. Кроме того, рассматриваемые породы по значению коэффициентов  $A = \text{Al}_2\text{O}_3 + \text{CaO} + \text{Na}_2\text{O} + \text{K}_2\text{O}$  и  $S = \text{SiO}_2 - (\text{Fe}_2\text{O}_3 + \text{FeO} + \text{MgO} + \text{MnO} + \text{TiO}_2)$  также соответствуют породам семейства оливинитов — ду-

Таблица 6

Химический состав лунных средних пород (%)

Компоненты	Образец		
	1	2 (среднее из 2)	3
SiO <sub>2</sub>	61,3	62,6	58,6
TiO <sub>2</sub>	1,17	1,40	0,78
Al <sub>2</sub> O <sub>3</sub>	12,0	10,2	17,3
Cr <sub>2</sub> O <sub>3</sub>	—	0,10	0,03
FeO'	10,0	12,3	5,6
MnO	0,19	0,17	0,06
MgO	6,0	3,1	6,5
CaO	6,30	7,0	5,7
Na <sub>2</sub> O	1,20	1,00	1,30
K <sub>2</sub> O	1,96	2,30	2,07
P <sub>2</sub> O <sub>5</sub>	0,00	—	0,15
Сумма	100,02	100,17	98,09

1 — 12013 (по Р. Чарлезу); 2 — 12013; 3 — 14257,3; 2 и 3 — по М. Принсу, К. Кейлу и др.

Таблица 7

Химический состав лунных гранодиоритов (%)

Компоненты	Образец		
	1	2	3
SiO <sub>2</sub>	65,6	65,6	66,71
TiO <sub>2</sub>	0,1	0,1	0,09
Al <sub>2</sub> O <sub>3</sub>	17,6	17,6	19,61
Cr <sub>2</sub> O <sub>3</sub>	сл.	—	—
FeO'	0,7	0,7	0,29
MnO	сл.	0,0	—
MgO	0,2	0,2	0,07
CaO	3,5	3,5	5,77
Na <sub>2</sub> O	0,4	0,4	2,49
K <sub>2</sub> O	8,2	8,1	2,74
P <sub>2</sub> O <sub>5</sub>	0,2	0,2	—
Сумма	96,5	97,1	97,77

1 — 72275 (11), по Д. Стозеру и др. [41]; 2 — 72275; 3 — 60017; 2—3 — заимствовано из журнала Science, Jan, 1973. v. 179.

нитов: A=2,52 и S=16,49 (анализ 1) и A=2,69 и S=15,18 (анализ 2).

Породы, условно относимые к семейству перидотитов, более разнообразны по химическому составу, в частности, по содержанию MgO, Al<sub>2</sub>O<sub>3</sub> и CaO. Лунная порода анализа № 3 отвечает земному шпинелевому перидотиту по высокому содержанию Al<sub>2</sub>O<sub>3</sub> (15,9), MgO (33,7) и Cr<sub>2</sub>O<sub>3</sub> (0,49 %), характерных для пород семейства перидотитов.

Порода анализа № 4 ближе всего земному гарцбургиту, хотя по содержанию SiO<sub>2</sub> и MgO она может быть отнесена и к дуниту. Однако для последнего не характерно такое высокое содержание Al<sub>2</sub>O<sub>3</sub> (3,7 %).

Порода анализа № 5, судя по содержанию главных петrogenических компонентов и, в частности, MgO, скорее всего соответствует земному верлиту; земные аналоги содержат MgO 23—30 %.

Малое число анализов по ультрабазитам, имеющееся в нашем распоряжении, не позволяет классифицировать эти породы более дробно, и мы вынуждены ограничиться лишь указанием положения их в общей систематике лунных пород (см. рис. 2).

Среди лунных средних магматических пород [SiO<sub>2</sub> 53(±2)—64(±2)], на основании имеющихся единичных химических анализов (3 анализа) намечается одно семейство (табл. 6), условно относимое к кварцевым диоритам\* умеренномагнезиального ряда (MgO=3—12(±1) %). Рассматриваемые породы близки к земным кварцевым диоритам по содержанию MgO и Al<sub>2</sub>O<sub>3</sub>.

\* По Т. Банчу и др. [22] это полнокристаллические породы.

[8]. По коэффициенту глиноzemистости  $[al' = Al_2O_3/(FeO + MgO)]$  данные породы, так же как и земные кварцевые диориты, относятся к умеренно- и высокоглиноzemистым разностям ( $al' = 0,75$  и  $>1$  соответственно). По степени меланократовости — лейкократовости ( $f' = FeO + MgO + MnO + TiO_2$ ) они являются лейко- и мезократовыми породами ( $f' = 12,88—17,17$ ). Эти же значения характерны и для земных кварцевых диоритов (и андезитов).

Кислые породы Луны [19] и др. представлены стеклом в мезостазисе базальта, обломками гранита и риолита, частицами стекла в брекчии и реголите как на материке, так и на «море». Они встречаются в материале всех лунных экспедиций. По данным Г. Райдера и др. [46] число фрагментов кислого материала размером  $>0,2$  мм в брекчиях № 72 215 и 72 235 составляет  $\approx 5\%$  (цитируется по О. И. Яковлеву [19]). В отдельных участках этих образцов число фрагментов достигало 23 %. В образцах брекчий № 72 255 и 72 275 обломки «гранита» (размером от 0,5 до 2 мм) составляют 1—2 %. Общее содержание кислых продуктов в лунном материале по весьма приблизительной оценке составляет 1 %. Самым крупным из известных образцов, содержащих более 50 % «гранита» (фельзита) по данным Р. Гей и др. [33] является образец брекчии № 12 013 размером  $4 \times 3 \times 2$  см и массой 82,3 г.

Лунные граниты — весьма специфические породы, они отличаются по целому ряду признаков от земных гранитов. Для лунных гранитов характерно полное отсутствие водосодержащих фаз (слюд и амфиболов), высокое содержание  $K_2O$ ,  $BaO$ ,  $P_2O_5$ ,  $TR$  и низкое  $Na_2O$ . Фазы кремнезема представлены кристобалитом и тридимитом, калиевый полевой шпат — ортоклазом с высоким содержанием аортита или санидином; для плагиоклаза характерно высокое содержание аортитовой составляющей.

Отмечаемый в лунных брекчиях микрогранит («серая брекчия» по наименованию, данному рядом исследователей) имеет порфироющую структуру и пузырчатую текстуру. Микрогранит состоит из тридимита и кристобалита, калий-бариевого полевого шпата ( $Og_{65}Ab_{26}Ap_9$ ) и пироксена. В ассоциации с ними встречаются также плагиоклаз (среднего состава), апатит, витлокит, циркон,  $Ti$ -хромит. Для микрогранита характерно высокое содержание  $K$ ,  $R$ ,  $Ba$ ,  $Rb$ .

Имеющиеся в нашем распоряжении анализы (табл. 7) кислых магматических пород свидетельствуют о принадлежности их к одному семейству гранодиоритов низкомагнезиального ряда ( $MgO < < 3\%$ ). Судя по литературным данным [46 и др.] породы относятся к плутоническому классу.

По коэффициенту глиноzemистости эти породы крайне высоко-глиноzemистые ( $al' = 19,55—54,47$ ) и могут быть сопоставлены с субщелочными кислыми вулканическими (онгонит) и плутоническими (микроклин-альбитовый гранит) породами [8, табл. 17, 18]. По сравнению с земными гранодиоритами рассматриваемые породы более обогащены калием и резко обеднены натрием. По остальным компонентам они близки земным аналогам.

Рассматриваемые породы можно было бы сопоставить и с земными микроклин-альбитовыми гранитами, так как они обладают близким по значению коэффициентом глиноземистости. Однако они уступают названным гранитам по содержанию  $\text{SiO}_2$  и  $\text{Na}_2\text{O}$ . Этот дефицит, учитывая плутоническую природу пород, скорее всего, следует считать первичным, не связанным с вторичным испарением компонентов [46 и др.].

## ГЛАВА IV.

### СРАВНИТЕЛЬНЫЙ АНАЛИЗ ЛУННЫХ И ЗЕМНЫХ ОСНОВНЫХ МАГМАТИЧЕСКИХ ПОРОД

Для сравнения лунных и земных основных вулканических и плутонических пород было использовано более 1000 химических анализов, заимствованных из литературных источников.

Анализы земных пород взяты из следующих районов континентальных областей (включая островные дуги) в СССР: Восточная Сибирь, Урал, Кавказ, Кольский полуостров, Украина, Западная Латвия, Тиман, Дальний Восток, Саяны, Прибайкалье, Средняя Азия, о-в Сахалин, п-ов Камчатка, Курильские острова и др.; за рубежом: Канада, США, Индия, Чехословакия и др.

По океаническим областям анализы приводятся для следующих регионов: ложе Индийского и Атлантического океанов, рифтовые зоны подводных хребтов Индийского океана, Срединно-Атлантического и др.

Химические анализы подбирались преимущественно по образцам, для которых известен минеральный состав породы, а содержание воды и других летучих компонентов составляло не более 2,5 %.

Различие и специфика каждого вида лунных и земных пород наглядно выявляется при сравнительном анализе их химического состава.

Обработка данных химических анализов (на ЭВМ Мир-2) проходила в следующем порядке:

1) вычисление статистических параметров выборочного распределения;

2) проверка соответствия выборочного распределения нормальному закону;

3) проверка гипотезы о равенстве дисперсий выборок по критерию Фишера;

4) проверка гипотезы о равенстве средних выборок по критерию Стьюдента [9];

5) корреляционный анализ.

Результаты обработки данных на ЭВМ представлены в табл. 8, 9 и на диаграммах (рис. 34, 35 а — ж, 36, 37, 38 а — з), составленных по методу Р. М. Константинова (ИГЕМ АН СССР).

На диаграммах на пересечении каждой пары строка — столбец находится квадрат, в котором записаны все значимые различия

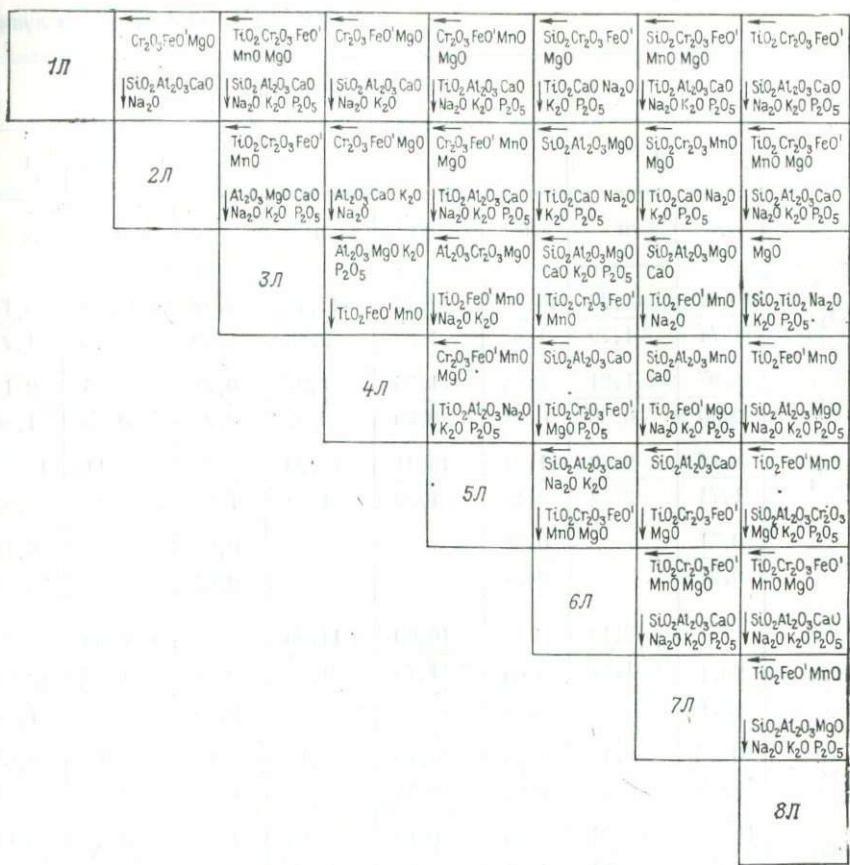


Рис. 34. Сравнение среднего химического состава видов лунных базальтов и долеритов (1Л — 8Л, см. табл. 8)

средних значений содержаний породообразующих окислов между соответствующими видами пород. Стрелка направлена в сторону увеличения среднего значения. Под значимыми различиями средних содержаний породообразующих окислов в породах понимаются различия, которые выявляются в процессе статистической обработки при уровне значимости 0,05.

Полученные диаграммы позволяют наглядно представить имеющиеся различия между видами лунных и земных пород.

Например, для сравнения видов 5Л и 8Л лунных высокоглиноzemистых базальтов (лейкобазальтов и двупироксеновых базальтов) следует рассмотреть квадрат, находящийся на пересечении строки, соответствующей виду 5Л и столбца, отвечающего виду 8Л (т. е. на пересечении 5-й строки и 8-го столбца) на рис. 34.

Лейкобазальты (группа 5Л) отличаются от двупироксеновых базальтов (группа 8Л) большим содержанием  $\text{TiO}_2$ ,  $\text{FeO}$ ,  $\text{MnO}$  (соот-

Средний химический состав лунных

Окислы	# вида							
	1		2		3		4	
	Л	В	Л	Б	В	Л	Б	Л
SiO <sub>2</sub>	44,21 1,74	43,73 1,79	46,36 1,87	48,46 1,65	47,47 2,56	46,67 1,70	48,99 0,96	46,11 1,77
TiO <sub>2</sub>	1,97 0,90	1,21 0,68	1,98 0,94	1,35 0,50	1,27 0,57	0,71 0,24	0,85 0,25	2,15 1,56
Al <sub>2</sub> O <sub>3</sub>	8,45 1,71	9,68 2,77	11,27 3,42	15,41 1,20	15,23 1,49	19,36 1,67	19,11 1,49	13,99 1,64
Cr <sub>2</sub> O <sub>3</sub>	0,51 0,27	— 0,23	0,38 —	— —	0,20 0,04	— —	0,18 0,09	— —
Fe <sub>2</sub> O <sub>3</sub>	— 20,1	{ 13,10 1,87	— 19,50	{ 10,00 1,75	{ 11,50 1,30	— 8,34	{ 6,99 1,18	— 17,50
FeO	2,71 2,71	3,78 3,78	— —	— —	— 1,39	— 1,39	— 1,82	— —
MnO	0,27 0,05	0,16 0,04	0,25 0,07	0,18 0,04	0,18 0,05	0,13 0,03	0,13 0,03	0,25 0,04
MgO	15,55 2,03	18,81 4,31	10,03 1,61	8,10 7,40	8,53 1,37	11,38 1,45	7,83 0,65	6,11 0,74
CaO	8,04 1,10	8,17 2,58	10,23 0,86	11,51 1,01	9,81 1,37	12,20 0,99	13,42 0,91	12,71 1,24
Na <sub>2</sub> O	0,24 0,12	0,96 0,62	0,30 0,12	2,35 0,39	2,17 0,67	0,42 0,04	1,98 0,31	0,45 0,17
K <sub>2</sub> O	0,05 0,03	0,28 0,18	0,05 0,03	0,25 0,16	0,66 0,31	0,16 0,05	0,15 0,06	0,10 0,09
P <sub>2</sub> O <sub>5</sub>	0,05 0,05	0,14 0,15	0,05 0,04	0,16 0,08	0,17 0,08	0,13 0,06	0,08 0,04	0,06 0,06
Число анализов	24	26	69	56	49	23	15	56

П р и м е ч а н и я: 1. Л — лунные базальты и долериты, Б — базальты и долериты земных океанов, Базальт и долерит; 3 — оливиновый высокоглиноземистый базальт и долерит; 4 — базальт и долерит; 5 — базальт и долерит; 6 — лейкобазальт и лейкодолерит; 7 — ильменит-оловиновый базальт и долерит; 8 — двутироксеновый базальт и долерит.

и земных базальтов и долеритов (%)

# Вида								
	4		5		6		7	
	Б	В	Л	Б	В	Л	Л	В
48,54 1,65	49,09 1,56	45,81 3,01	48,57 2,35	47,96 1,53	39,45 1,97	42,06 2,15	48,88 2,06	51,10 0,94
2,11 0,74	1,56 0,69	3,34 2,09	0,56 0,31	1,10 0,23	12,04 1,19	9,58 1,97	1,25 0,21	1,00 0,12
14,76 1,56	15,25 1,38	17,72 1,90	20,56 2,93	19,14 2,52	8,79 0,73	10,84 1,81	20,53 1,29	17,96 0,51
— —	— 0,10	— 0,04	— —	— —	0,34 0,20	0,22 0,11	0,20 0,05	— —
{ 12,40 1,95	{ 11,80 1,57	— 14,70	{ 5,59 3,48	{ 10,40 1,42	— 19,00	— 18,30	— 7,79	{ 9,68 7,08
0,20 0,04	0,18 0,05	0,21 0,04	0,13 0,05	0,19 0,08	0,25 0,03	0,22 0,07	0,10 0,04	0,16 0,04
6,35 0,68	6,0 0,66	3,66 0,73	5,70 0,89	4,70 0,77	8,97 1,20	6,68 0,69	7,31 0,62	5,26 0,71
10,63 1,00	9,59 1,56	13,15 1,62	14,17 2,92	11,76 0,50	10,47 0,49	11,37 1,08	11,98 1,07	9,50 0,50
2,51 0,27	2,48 0,68	0,69 0,29	1,84 0,43	2,54 0,46	0,43 0,13	0,57 0,14	0,87 0,39	2,76 0,37
0,36 0,19	0,72 0,38	0,24 0,07	0,19 0,11	0,53 0,19	0,10 0,10	0,19 0,16	0,51 0,05	1,01 0,27
0,22 0,09	0,21 0,11	0,11 0,07	0,05 0,03	0,17 0,10	0,08 0,06	0,13 0,06	0,40 0,16	0,21 0,06
29	59	16	6	12	77	66	10	7

нов, В — базальты и долериты земных континентов. Виды: 1 — пикробазальт и пикродолерит; 2 — базальт и долерит; 5 — лейкобазальт и лейкодолерит; 6 — ильменит-оловиновый базальт и долерит; 7. В числителе  $x$  — среднее арифметическое, в знаменателе  $S$  — стандартное отклонение.

Средний химический состав лунных и земных

Таблица 9

Окислы	# вида									
	9		10		10б		11		12	
	Л	В	Л	В	Л	Л	В	Л	Л	Л
SiO <sub>2</sub>	43,63 3,48	45,47 3,83	43,58 1,51	44,60 0,90	43,42 0,99	47,09 2,30	46,27 3,03	45,78 1,74	41,22 2,53	
TiO <sub>2</sub>	1,16 1,35	1,54 1,02	0,36 0,47	0,07 0,02	0,17 0,05	1,54 0,58	0,83 0,36	0,75 0,58	4,37 0,25	
Al <sub>2</sub> O <sub>3</sub>	9,60 0,97	9,62 2,54	20,70 2,65	18,61 1,15	23,09 1,31	16,87 3,89	17,89 2,87	23,95 1,69	11,43 1,92	
Fe <sub>2</sub> O <sub>3</sub>	—	—	—	—	—	—	—	—	—	
FeO	20,50 5,22	13,90 4,10	5,97 1,71	11,10 3,14	4,84 0,72	11,30 4,76	9,56 2,57	16,47 1,42	22,6 1,38	
MnO	0,29 0,08	0,19 0,05	0,07 0,03	0,10 0,03	0,07 0,04	0,14 0,07	0,14 0,07	0,08 0,03	0,30 0,07	
MgO	13,56 2,31	16,35 3,74	16,81 1,50	14,74 2,27	14,19 2,18	10,19 1,52	8,41 1,37	9,39 1,34	10,01 1,49	
CaO	9,88 2,10	10,50 3,45	11,54 1,69	8,19 1,82	13,24 0,74	10,66 1,38	14,63 2,30	13,18 1,34	11,44 1,47	
Na <sub>2</sub> O	0,24 0,04	1,28 0,51	0,36 0,10	2,09 0,91	0,39 0,09	0,67 0,29	1,65 0,82	0,56 0,29	0,40 0,14	
K <sub>2</sub> O	0,02 0,02	0,30 0,24	0,07 0,06	0,29 0,12	0,05 0,05	0,38 0,28	0,18 0,08	0,12 0,09	0,06 0,02	
P <sub>2</sub> O <sub>5</sub>	—	0,18 0,11	0,04 0,02	—	0,05 0,03	0,33 0,24	0,08 0,05	0,15 0,14	0,04 0,01	
Число анализов	5	11	31	5	21	42	19	31	4	

Л—лунные породы, В—земные (континентальные) породы. Виды: 9—оливиновое меланогаббр  
глиноzemистое габбро; 13—ильменит-оливиновое габбро; 14—оливиновый норит; 15—габбро; 15б—

\* 6—разновидность вида.

(континентальных) основных плутонических пород (%)

	# вида									
	14		15		15б		16		17	
	Л	В	Л	В	Л	В	Л	В	Л	В
	47,75 3,38	48,84 2,72	46,60 2,52	48,00 3,03	45,05 1,48	51,73 1,13	48,65 3,17	49,44 2,65	44,39 1,15	51,56 2,04
	1,14 0,56	1,01 0,83	1,76 1,25	1,65 1,16	0,29 0,12	1,27 1,09	1,12 0,61	0,84 0,98	0,08 0,07	0,28 0,40
	17,62 3,36	15,32 4,70	14,97 4,62	15,99 1,70	26,93 2,31	21,30 0,90	17,17 1,90	17,12 2,45	33,87 1,48	28,07 3,05
	—	—	—	—	—	—	—	—	—	—
	9,34 2,15	10,40 1,31	16,1 6,25	9,88 3,34	5,45 1,61	6,33 1,68	8,40 1,53	8,61 2,91	1,24 1,06	2,53 2,13
	0,15 0,08	0,18 0,07	0,20 0,08	0,15 0,06	0,06 0,03	0,09 0,02	0,12 0,02	0,15 0,06	0,02 0,02	0,02 0,02
	12,17 2,77	10,65 5,78	6,42 0,78	6,14 0,95	5,89 1,64	3,18 1,19	11,80 3,62	8,88 2,78	1,24 1,12	1,05 0,64
	10,37 1,82	9,50 1,32	12,15 1,42	12,45 3,48	15,08 1,30	11,13 1,35	10,31 1,58	9,59 1,78	18,51 0,83	11,74 2,26
	0,73 0,48	2,20 0,93	0,45 0,27	1,91 0,93	0,43 0,20	3,18 1,00	0,68 0,29	2,20 0,70	0,43 0,13	3,26 1,01
	0,39 0,29	0,57 0,34	0,31 0,56	0,62 0,59	0,07 0,39	0,72 0,45	0,38 0,21	0,34 0,14	0,04 0,03	0,59 0,50
	0,27 0,21	0,20 0,16	0,22 0,31	0,18 0,12	0,05 0,03	0,16 0,10	0,32 0,25	0,09 0,04	0,04 0,02	0,09 0,08
	5	6	11	23	43	6	5	10	53	10

о; 10—троктолит; 10б\*—шпинелевый троктолит; 11—оливиновое габбро; 12—оливиновое высоко-  
лайкогаббро; 16—норит; 17—анортозит.

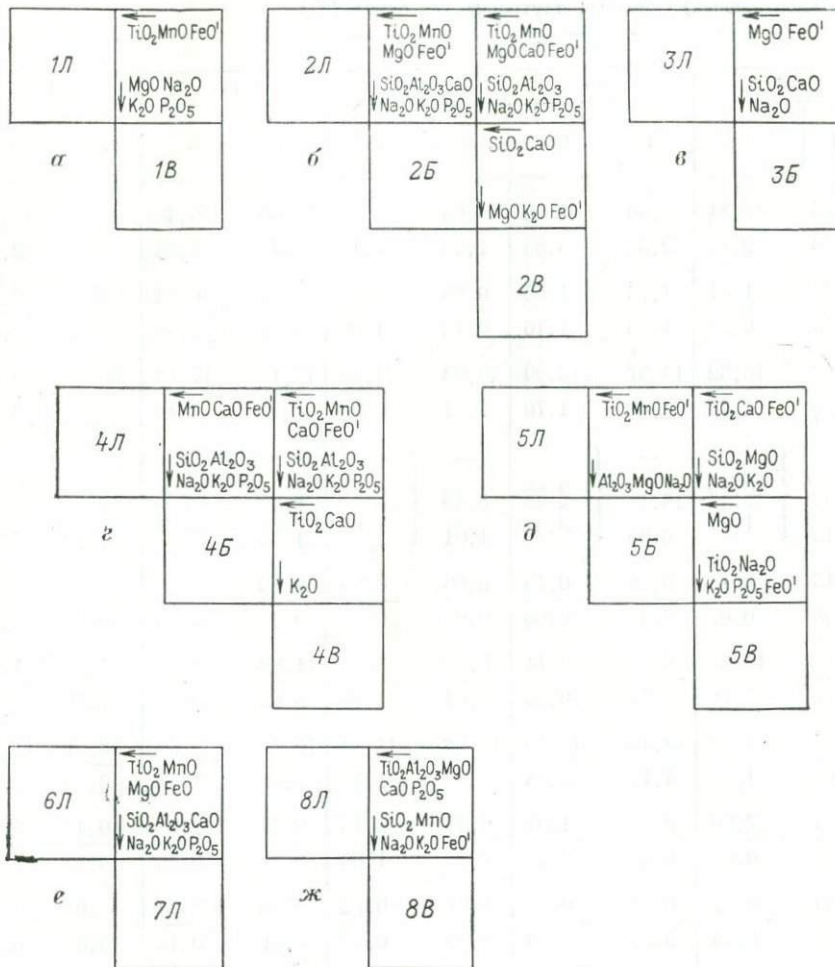


Рис. 35. Сравнение среднего химического состава лунных и земных вулканических пород (см. табл. 8)

*α* — пикробазальты и пикродолериты лунные (1Л) и континентальные (1В); *β* — оливиновые базальты и оливиновые долериты лунные (2Л), океанические (2Б) и континентальные (2Б); *γ* — оливиновые высокоглиноземистые базальты и долериты лунные (3Л) и океанические (3Б); *ε* — базальты и долериты лунные (4Л), океанические (4Б) и континентальные (4Б); *δ* — лейкобазальты и лейкодолериты лунные (5Л), океанические (5Б) и континентальные (5Б); *η* — лунные ильменит-оловиновые (6Л) и ильменитовые (7Л) базальты и долериты; *η* — лунные двупироксеновые (8Л) и гиперстеновые (двутироксеновые) континентальные (8Б) базальты

всегда изображены около стрелки, направленной справа налево) и меньшим содержанием  $\text{SiO}_2$ ,  $\text{Al}_2\text{O}_3$ ,  $\text{Cr}_2\text{O}_3$ ,  $\text{K}_2\text{O}$ ,  $\text{MgO}$ ,  $\text{P}_2\text{O}_5$  (соответствующие окислы изображены около стрелки, направленной сверху вниз).

Эта разница количественно может быть оценена с помощью таблицы средних содержаний (см. табл. 8 и 10).

По остальным окислам данные виды лунных базальтов значимых различий средних содержаний не имеют. Указанные петрохимические различия рассматриваются двух видов базальтов проявляются и в определенном различии состава и содержания пироксенов, плагиоклазов, рудных минералов. Так, например, повышенное содержание в двупироксеновых базальтах  $\text{MgO}$ , сравнительно с лейкобазальтами, можно объяснить присутствием в первых высокомагнезиального ортопироксена, так же как повышенное содержание в них  $\text{SiO}_2$  и  $\text{Al}_2\text{O}_3$  — высоким содержанием плагиоклаза. Аналогично можно сравнить любую пару видов лунных и земных пород, используя вышеуказанные таблицы и рисунки.

Результат проведенного корреляционного анализа содержаний пордообразующих окислов видов лунных базальтов (см. табл. 8) позволяет оценить степень взаимной связи между изучаемыми окислами (переменными). Положительные значения коэффициента парной корреляции указывают на прямую линейную связь между переменными. Отрицательные значения коэффициента корреляции означают, что с увеличением (уменьшением) содержания одного окисла уменьшается (увеличивается) содержание другого.

Вычисленные значимые (при уровне значимости 0,05) коэффициенты парной корреляции показывают, что:

- 1) в группах 2Л, 7Л, 8Л прослеживается отрицательная связь между  $\text{MgO}$  и  $\text{SiO}_2$ ;
- 2) в группах 1Л, 2Л — отрицательная, а в группе 7Л — положительная связь между  $\text{MgO}$  и  $\text{TiO}_2$ ;
- 3) в группах 1Л, 3Л, 4Л, 5Л, 7Л — отрицательная связь между  $\text{MgO}$  и  $\text{Al}_2\text{O}_3$ ;
- 4) в группах 1Л, 2Л, 3Л, 4Л, 5Л, 6Л — отрицательная связь между  $\text{MgO}$  и  $\text{CaO}$ ;
- 5) в группах 3Л и 4Л — положительная связь между  $\text{MgO}$  и  $\text{FeO}$ .

Эти зависимости можно представить графически с помощью уравнений регрессии (рис. 39 а — д).

Сравним некоторые виды лунных вулканических пород с соответствующими видами земных (см. табл. 8 и рис. 35 а — ж).

Из табл. 8 и рис. 35 а видно, что лунные пикробазальты и пикродолериты (1Л) отличаются от пикробазальтов и пикродолеритов земных континентов (1 В) большим содержанием  $\text{TiO}_2$ ,  $\text{MnO}$ ,  $\text{FeO}$  и меньшим  $\text{Na}_2\text{O}$ ,  $\text{K}_2\text{O}$ ,  $\text{P}_2\text{O}_5$ . Учитывая возможность улетучивания трех последних компонентов в породах Луны, можно сделать вывод, что главное отличие рассматриваемых лунных пород состоит в большей их титанистости и железистости. Как будет показано ниже, эта особенность является характерной чертой и для многих других видов лунных пород.

9Л	MnO FeO' ↓ Al <sub>2</sub> O <sub>3</sub> MgO	MnO FeO' ↓ Al <sub>2</sub> O <sub>3</sub> Na <sub>2</sub> O	MnO MgO FeO' ↓ SiO <sub>2</sub> Al <sub>2</sub> O <sub>3</sub> Na <sub>2</sub> O K <sub>2</sub> O	MnO MgO FeO' ↓ Al <sub>2</sub> O <sub>3</sub> Na <sub>2</sub> O K <sub>2</sub> O CaO	— ↓ K <sub>2</sub> O
10Л	MgO FeO' ↓ Al <sub>2</sub> O <sub>3</sub> CaO	Al <sub>2</sub> O <sub>3</sub> MgO CaO ↓ SiO <sub>2</sub> TiO <sub>2</sub> MnO Na <sub>2</sub> O K <sub>2</sub> O P <sub>2</sub> O <sub>5</sub> FeO'	MgO ↓ SiO <sub>2</sub> TiO <sub>2</sub> Al <sub>2</sub> O <sub>3</sub> Na <sub>2</sub> O K <sub>2</sub> O P <sub>2</sub> O <sub>5</sub> CaO	— ↓ SiO <sub>2</sub> Al <sub>2</sub> O <sub>3</sub> MgO	TiO <sub>2</sub> MnO FeO'
10БЛ	Al <sub>2</sub> O <sub>3</sub> MgO CaO ↓ SiO <sub>2</sub> TiO <sub>2</sub> MnO Na <sub>2</sub> O K <sub>2</sub> O FeO' P <sub>2</sub> O <sub>5</sub>	MgO ↓ SiO <sub>2</sub> TiO <sub>2</sub> FeO' Na <sub>2</sub> O K <sub>2</sub> O P <sub>2</sub> O <sub>5</sub>	— ↓ Al <sub>2</sub> O <sub>3</sub> MgO	Al <sub>2</sub> O <sub>3</sub> MgO ↓ TiO <sub>2</sub> MnO FeO'	— ↓ TiO <sub>2</sub> MnO FeO'
11Л	SiO <sub>2</sub> TiO <sub>2</sub> MnO MgO K <sub>2</sub> O P <sub>2</sub> O <sub>5</sub> FeO' ↓ Al <sub>2</sub> O <sub>3</sub> CaO	SiO <sub>2</sub> Al <sub>2</sub> O <sub>3</sub> K <sub>2</sub> O P <sub>2</sub> O <sub>5</sub> ↓ TiO <sub>2</sub> MnO FeO'	— ↓ SiO <sub>2</sub> Al <sub>2</sub> O <sub>3</sub> K <sub>2</sub> O P <sub>2</sub> O <sub>5</sub> CaO	— ↓ TiO <sub>2</sub> MnO FeO'	— ↓ TiO <sub>2</sub> MnO FeO'
12Л	— ↓ SiO <sub>2</sub> Al <sub>2</sub> O <sub>3</sub> K <sub>2</sub> O P <sub>2</sub> O <sub>5</sub> CaO	— ↓ TiO <sub>2</sub> MnO FeO'	— ↓ SiO <sub>2</sub> Al <sub>2</sub> O <sub>3</sub> K <sub>2</sub> O P <sub>2</sub> O <sub>5</sub> CaO	— ↓ TiO <sub>2</sub> MnO FeO'	— ↓ TiO <sub>2</sub> MnO FeO'
13Л	—	—	—	—	—

Рис. 36. Сравнение среднего химического состава видов лунных основных плутоницеских пород ( $\delta$  — разновидность данного вида; №№ 9Л — 17Л, см. в табл. 9)

Повышенная в сравнении с земными аналогами железистость и титанистость лунных пикробазальтов и пикродолеритов проявляется в относительно высокой железистости входящих в их состав ( $>15\%$  оливинов Fa<sub>38–57</sub>, против Fa<sub>10–25</sub> — в земных), а также в повышенном содержании в них титансодержащих рудных минералов (5–8 %, против 2–7 % в земных; см. табл. 1, а также [8, табл. 5]).

Оливиновые базальты и долериты Луны (2Л) отличаются от соответствующего земного океанического вида (2Б) большей основностью: в них выше содержания TiO<sub>2</sub>, FeO, MnO, MgO и меньше — SiO<sub>2</sub>, Al<sub>2</sub>O<sub>3</sub>, CaO, Na<sub>2</sub>O, K<sub>2</sub>O, P<sub>2</sub>O<sub>5</sub> (см. табл. 8, рис. 35 б). Почти те же соотношения лунных оливиновых базальтов и долеритов с земными континентальными оливиновыми базальтами и долеритами (2В) — в последних лишь меньше CaO.

Имеющиеся материалы о минеральном составе лунных и земных оливиновых базальтов и долеритов (см. табл. 1, [8, табл. 5]) показывают, что лунные оливиновые базальты и долериты отличаются

MnO	MgO	MnO MgO FeO <sup>1</sup>		MnO MgO FeO <sup>1</sup>
↓ Al <sub>2</sub> O <sub>3</sub> Na <sub>2</sub> O K <sub>2</sub> O	↓ Al <sub>2</sub> O <sub>3</sub> Na <sub>2</sub> O CaO	↓ Al <sub>2</sub> O <sub>3</sub> Na <sub>2</sub> O K <sub>2</sub> O CaO	↓ Al <sub>2</sub> O <sub>3</sub> Na <sub>2</sub> O K <sub>2</sub> O	↓ Al <sub>2</sub> O <sub>3</sub> Na <sub>2</sub> O CaO
Al <sub>2</sub> O <sub>3</sub> MgO	Al <sub>2</sub> O <sub>3</sub> MgO	MgO	Al <sub>2</sub> O <sub>3</sub> MgO	Ti <sub>2</sub> O <sub>2</sub> MnO FeO <sup>1</sup> MgO K <sub>2</sub> O
↓ FeO <sup>1</sup> SiO <sub>2</sub> TiO <sub>2</sub> MnO Na <sub>2</sub> O K <sub>2</sub> O P <sub>2</sub> O <sub>5</sub>	↓ SiO <sub>2</sub> TiO <sub>2</sub> MnO FeO <sup>1</sup>	↓ SiO <sub>2</sub> Al <sub>2</sub> O <sub>3</sub> P <sub>2</sub> O <sub>5</sub> CaO	↓ SiO <sub>2</sub> TiO <sub>2</sub> MnO Na <sub>2</sub> O K <sub>2</sub> O P <sub>2</sub> O <sub>5</sub> FeO <sup>1</sup>	↓ SiO <sub>2</sub> Al <sub>2</sub> O <sub>3</sub> Na <sub>2</sub> O CaO
Al <sub>2</sub> O <sub>3</sub> MgO CaO	Al <sub>2</sub> O <sub>3</sub> MgO CaO	MgO	Al <sub>2</sub> O <sub>3</sub> CaO	Ti <sub>2</sub> O <sub>2</sub> MnO MgO FeO <sup>1</sup>
↓ SiO <sub>2</sub> TiO <sub>2</sub> MnO Na <sub>2</sub> O K <sub>2</sub> O P <sub>2</sub> O <sub>5</sub> FeO <sup>1</sup>	↓ SiO <sub>2</sub> TiO <sub>2</sub> MnO FeO <sup>1</sup>	↓ SiO <sub>2</sub> TiO <sub>2</sub> Al <sub>2</sub> O <sub>3</sub> CaO FeO <sup>1</sup>	↓ SiO <sub>2</sub> TiO <sub>2</sub> FeO <sup>1</sup> MnO K <sub>2</sub> O P <sub>2</sub> O <sub>5</sub>	↓ SiO <sub>2</sub> Al <sub>2</sub> O <sub>3</sub> CaO
Ti <sub>2</sub> O <sub>2</sub> FeO <sup>1</sup>	MgO Na <sub>2</sub> O	↓ SiO <sub>2</sub> TiO <sub>2</sub> MnO MgO Na <sub>2</sub> O K <sub>2</sub> O P <sub>2</sub> O <sub>5</sub> FeO <sup>1</sup>	↓ FeO <sup>1</sup>	↓ FeO <sup>1</sup> SiO <sub>2</sub> TiO <sub>2</sub> MnO MgO Na <sub>2</sub> O K <sub>2</sub> O P <sub>2</sub> O <sub>5</sub>
↓ MgO	↓ MnO CaO FeO <sup>1</sup>	↓ Al <sub>2</sub> O <sub>3</sub> CaO	↓	↓ Al <sub>2</sub> O <sub>3</sub> CaO
Al <sub>2</sub> O <sub>3</sub> CaO	Al <sub>2</sub> O <sub>3</sub> MgO	↓ Ti <sub>2</sub> O <sub>2</sub> MnO K <sub>2</sub> O Na <sub>2</sub> O P <sub>2</sub> O <sub>5</sub> MgO FeO <sup>1</sup>	↓ Al <sub>2</sub> O <sub>3</sub> CaO	↓ SiO <sub>2</sub> TiO <sub>2</sub> FeO <sup>1</sup> MnO MgO Na <sub>2</sub> O K <sub>2</sub> O P <sub>2</sub> O <sub>5</sub>
↓ Ti <sub>2</sub> O <sub>2</sub> MnO K <sub>2</sub> O MgO FeO <sup>1</sup>	↓ Ti <sub>2</sub> O <sub>2</sub> MnO FeO <sup>1</sup>	↓ At <sub>2</sub> O <sub>3</sub> CaO	↓ MnO K <sub>2</sub> O FeO <sup>1</sup>	↓ At <sub>2</sub> O <sub>3</sub> CaO
Ti <sub>2</sub> O <sub>2</sub> MnO FeO <sup>1</sup>	Ti <sub>2</sub> O <sub>2</sub> MnO MgO FeO <sup>1</sup>	↓ Ti <sub>2</sub> O <sub>2</sub> MnO MgO FeO <sup>1</sup>	↓ Ti <sub>2</sub> O <sub>2</sub> MnO FeO <sup>1</sup>	↓ Ti <sub>2</sub> O <sub>2</sub> MnO FeO <sup>1</sup>
↓ SiO <sub>2</sub> Al <sub>2</sub> O <sub>3</sub> Na <sub>2</sub> O K <sub>2</sub> O P <sub>2</sub> O <sub>5</sub>	↓ SiO <sub>2</sub>	↓ At <sub>2</sub> O <sub>3</sub> CaO	↓ SiO <sub>2</sub> At <sub>2</sub> O <sub>3</sub> K <sub>2</sub> O P <sub>2</sub> O <sub>5</sub>	↓ At <sub>2</sub> O <sub>3</sub> CaO
14.7	MgO	↓ SiO <sub>2</sub> TiO <sub>2</sub> MnO MgO FeO <sup>1</sup> K <sub>2</sub> O P <sub>2</sub> O <sub>5</sub>		↓ SiO <sub>2</sub> TiO <sub>2</sub> FeO <sup>1</sup> MnO MgO Na <sub>2</sub> O K <sub>2</sub> O P <sub>2</sub> O <sub>5</sub>
	↓ CaO FeO <sup>1</sup>	↓ At <sub>2</sub> O <sub>3</sub> CaO	↓	↓ At <sub>2</sub> O <sub>3</sub> CaO
15.7	Ti <sub>2</sub> O <sub>2</sub> MnO FeO <sup>1</sup>	↓ Ti <sub>2</sub> O <sub>2</sub> MnO FeO <sup>1</sup>	↓ MnO CaO	↓ SiO <sub>2</sub> TiO <sub>2</sub> MnO MgO FeO <sup>1</sup>
	↓ At <sub>2</sub> O <sub>3</sub> CaO	↓	↓ MgO	↓ At <sub>2</sub> O <sub>3</sub> CaO
15.6.7	At <sub>2</sub> O <sub>3</sub> CaO	↓ At <sub>2</sub> O <sub>3</sub> CaO	↓ SiO <sub>2</sub> TiO <sub>2</sub> MnO MgO Na <sub>2</sub> O K <sub>2</sub> O P <sub>2</sub> O <sub>5</sub> FeO <sup>1</sup>	↓ At <sub>2</sub> O <sub>3</sub> CaO
	↓ SiO <sub>2</sub> TiO <sub>2</sub> MnO MgO Na <sub>2</sub> O K <sub>2</sub> O P <sub>2</sub> O <sub>5</sub> FeO <sup>1</sup>	↓ At <sub>2</sub> O <sub>3</sub> CaO	↓	↓ At <sub>2</sub> O <sub>3</sub> CaO
16.7	SiO <sub>2</sub> TiO <sub>2</sub> MnO MgO K <sub>2</sub> O P <sub>2</sub> O <sub>5</sub> FeO <sup>1</sup>	↓ At <sub>2</sub> O <sub>3</sub> CaO	↓ SiO <sub>2</sub> TiO <sub>2</sub> MnO MgO K <sub>2</sub> O P <sub>2</sub> O <sub>5</sub> FeO <sup>1</sup>	↓ At <sub>2</sub> O <sub>3</sub> CaO
	↓ At <sub>2</sub> O <sub>3</sub> CaO	↓	↓	↓ At <sub>2</sub> O <sub>3</sub> CaO
17.7				

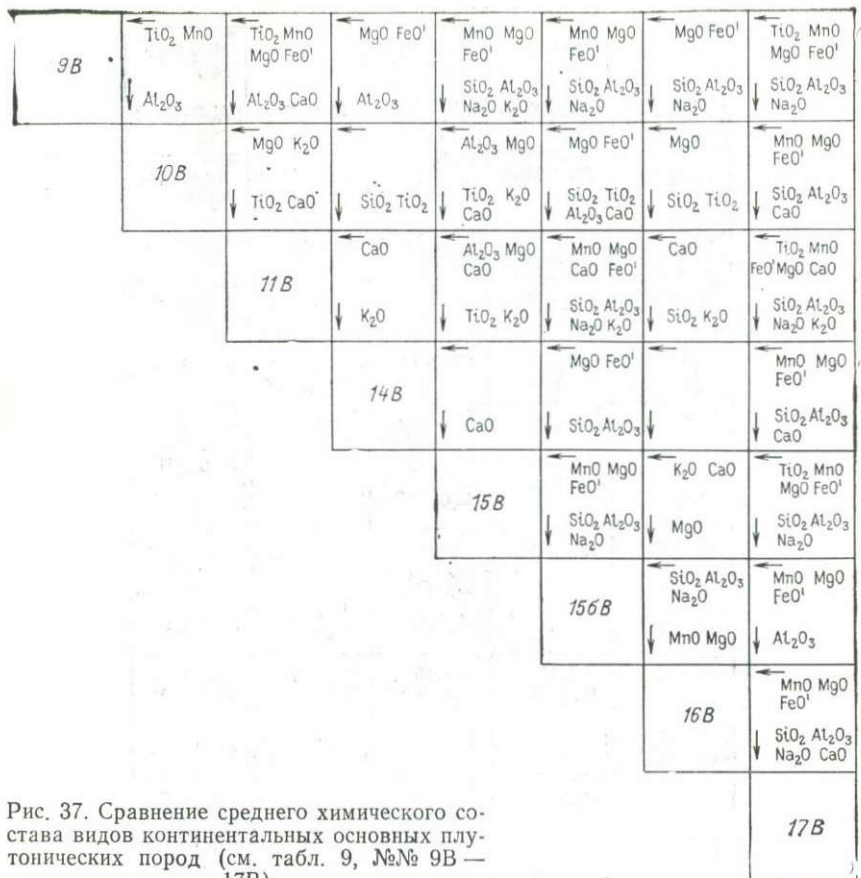


Рис. 37. Сравнение среднего химического состава видов континентальных основных плутонических пород (см. табл. 9, №№ 9B — 17B)

Таблица 10

Значимые различия средних содержаний пордообразующих окислов в лунных породах (см. также табл. 8)

Вид	Окислы, %								
	SiO <sub>2</sub>	TiO <sub>2</sub>	Al <sub>2</sub> O <sub>3</sub>	Cr <sub>2</sub> O <sub>3</sub>	FeO	MgO	MnO	K <sub>2</sub> O	P <sub>2</sub> O <sub>5</sub>
5 Л (лейкобазальт)	45,81	3,34	17,72	0,10	14,70	3,66	0,21	0,24	0,11
8 Л (двуриксеновый базальт)	48,88	1,25	20,53	0,20	7,79	7,31	0,10	0,51	0,40

9Л	MnO FeO <sup>1</sup> ↓ Na <sub>2</sub> O K <sub>2</sub> O	10Л	TiO <sub>2</sub> MgO CaO ↓ FeO <sup>1</sup>	11Л	TiO <sub>2</sub> MgO K <sub>2</sub> O P <sub>2</sub> O <sub>5</sub> ↓ Na <sub>2</sub> O CaO
α	9В	δ	10В	ε	11В
14Л	← ↓ Na <sub>2</sub> O	15Л	MnO FeO <sup>1</sup> ↓ Na <sub>2</sub> O	156Л	Al <sub>2</sub> O <sub>3</sub> MgO CaO SiO <sub>2</sub> MnO K <sub>2</sub> O Na <sub>2</sub> O
ε	14В	δ	15В	ε	156В
16Л	← ↓ Na <sub>2</sub> O	17Л	Al <sub>2</sub> O <sub>3</sub> CaO ↓ SiO <sub>2</sub> K <sub>2</sub> O Na <sub>2</sub> O	3	17В
ж	16В	3	17В		

Рис. 38. Сравнение среднего химического состава лунных и земных плутони-ческих пород (см. табл. 9)

а — оливиновый меланогаббро лунный (9Л) и континентальный (9В); б — троктолит лунный (10Л) и континентальный (10В); в — оливиновый габбро лунный (11Л) и континентальный (11В); г — оливиновый норит лунный (14Л) и континентальный (14В); δ — габбро лунный (15Л) и континентальный (15В); ε — лейкогаббро лунный (156Л) и континентальный (156В); ж — норит лунный (16Л) и континентальный (16В); з — анортозит лунный (17Л) и континентальный (17В)

ются от земных аналогов повышенной магнезиальностью клинопироксенов и значительно большим их содержанием (40—60 %, против 20—55 в земных). Повышенная железистость и титанистость оливиновых базальтов Луны, по-видимому, обусловлена большим содержанием в них рудных титансодержащих минералов (до 8 %, против 3—5 в земных).

Высокоглиноземистые оливиновые базальты и долериты Луны (3Л) отличаются от соответствующего земного океанического вида (3В) более мафическим составом. В них отмечаются повышенные содержания MgO и FeO и пониженные — SiO<sub>2</sub>, CaO, Na<sub>2</sub>O (см. табл. 8, рис. 35 в).

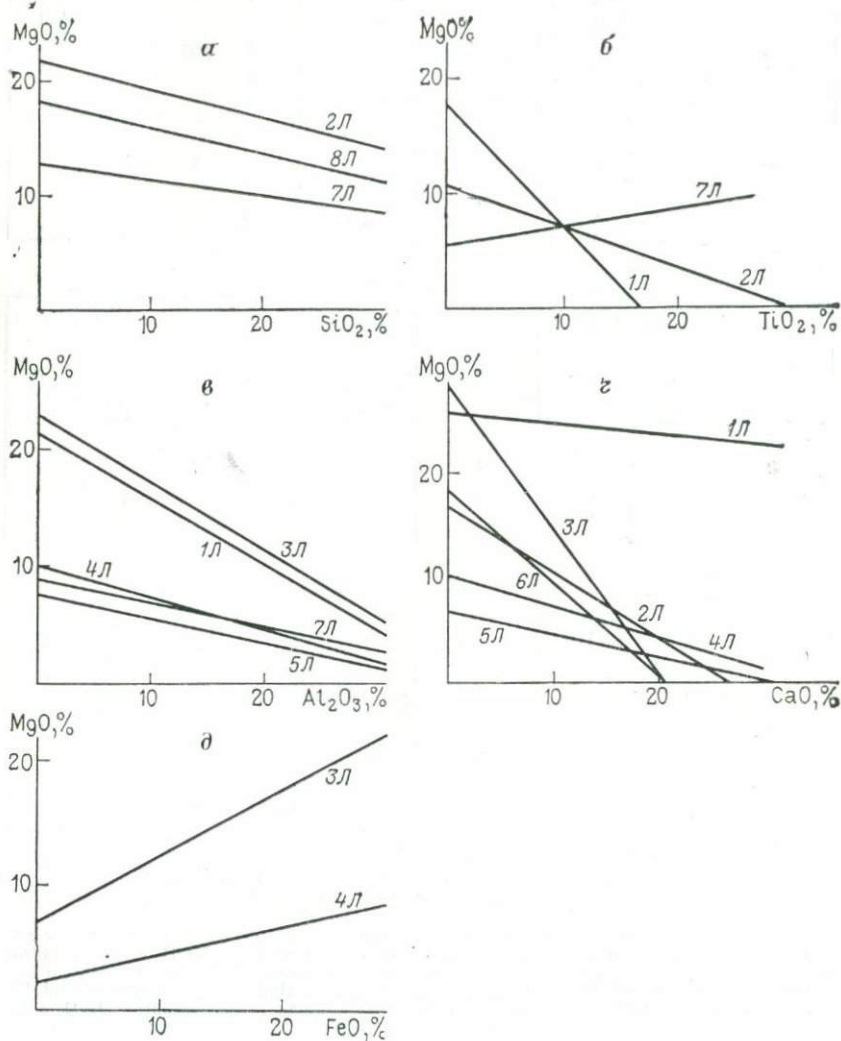


Рис. 39. Прямые линии линейной регрессии связей

а — SiO<sub>2</sub> и MgO в лунных оливиновых базальтах и долеритах (2Л), ильменитовых базальтах и долеритах (7Л), двупироксеновых базальтах (8Л); б — TiO<sub>2</sub> и MgO в лунных пикритобазальтах (1Л), оливиновых базальтах и долеритах (2Л), ильменитовых базальтах (7Л); в — Al<sub>2</sub>O<sub>3</sub> и MgO в лунных пикритобазальтах (1Л), оливиновых высокоглиноземистых базальтах и долеритах (3Л), базальтах и долеритах (4Л), лейкобазальтах и долеритах (4Л), лейкобазальтах и долеритах (5Л), ильменитовых базальтах и долеритах (7Л); г — CaO и MgO в лунных пикритобазальтах (1Л), оливиновых базальтах и долеритах (2Л), оливиновых высокоглиноземистых базальтах и долеритах (3Л), базальтах и долеритах (4Л), лейкобазальтах и долеритах (5Л) и ильменит-оливиновых базальтах и долеритах (6Л); д — FeO и MgO в лунных оливиновых высокоглиноземистых базальтах и долеритах (3Л) и базальтах и долеритах (4Л)

Лунные базальты собственно и долериты (4Л) в отличие от земных океанических (4Б) и континентальных (4В) богаче FeO, MnO, CaO и беднее SiO<sub>2</sub>, Al<sub>2</sub>O<sub>3</sub>, Na<sub>2</sub>O, K<sub>2</sub>O, P<sub>2</sub>O<sub>5</sub>, т. е. они также более мafические, чем их земные аналоги. Кроме того, лунные и земные океанические базальты и долериты, в отличие от континентальных богаче TiO<sub>2</sub> (рис. 35 г). Пониженное содержание в лунных базальтах и долеритах плагиоклаза по сравнению с земными (25—40 %, в земных 45—65), по-видимому, обусловлено недосыщенностю первых кремнеземом и глиноземом. Обогащенность лунных базальтов и долеритов FeO, TiO<sub>2</sub> сравнительно с земными, коррелируется с их обогащенностью рудными минералами (5—10 %, в земных 2—10).

Лунные лейкобазальты и лейкодолериты (5Л) богаче земных океанических (5Б) TiO<sub>2</sub>, FeO, MnO и беднее Al<sub>2</sub>O<sub>3</sub>, MgO, Na<sub>2</sub>O, а при сопоставлении с земными континентальными (5В) богаче CaO и беднее SiO<sub>2</sub> и K<sub>2</sub>O (рис. 35 д). Таким образом, намечается тенденция к обогащенности Fe-Ti компонентами и обеднению MgO лейкократового вида лунных базальтов и долеритов сравнительно с соответствующим видом земных пород. Минералогически лунные лейкобазальты и лейкодолериты содержат более мafические клинопироксены (клиногиперстен, редко пижонит), чем земные (диопсид-авгит, субкальциевый авгит, авгит).

Лунные безоливиновые разности (7Л) отличаются от оливиновых (6Л) большей магнезиальностью, титанистостью, железистостью (рис. 36 е), что объясняется присутствием в первых оливина (Fa<sub>30—40</sub>) до 10 %.

Экзотический характер лунных ильменитовых (высокотитанистых) базальтов, возможно, объясняется спецификой их образования на Луне из импактных расплавов. Известно, что при плавлении базальтов в вакууме происходит закономерное увеличение в расплаве концентрации Ti, Al, Ca, Mg и уменьшение K, Na, Si. Именно такими особенностями и отличаются лунные породы от земных.

Лунные двупироксеновые базальты и долериты (8Л) по сравнению с земными континентальными двупироксеновыми (гиперстеновыми) базальтами и долеритами (8В) богаче TiO<sub>2</sub>, MgO, Al<sub>2</sub>O<sub>3</sub>, CaO, P<sub>2</sub>O<sub>5</sub> и беднее SiO<sub>2</sub>, FeO, MnO, Na<sub>2</sub>O, K<sub>2</sub>O (рис. 35 ж). Указанное петрохимическое отличие лунных пород можно объяснить магнезиальным составом содержащегося в них ортопироксена и высоким содержанием в плагиоклазе аортитовой составляющей — An>80 (см. табл. 1, [8, табл. 5]).

Сравним теперь петрохимические особенности лунных и земных видов плутонических пород (см. табл. 9, рис. 38 а—э).

Лунное оливиновое меланогаббро (9Л) отличается от земного (9В) лишь несколько большим содержанием FeO и MnO, и меньшим — Na<sub>2</sub>O и K<sub>2</sub>O (табл. 9 и рис. 38 а).

Троктолиты Луны (10Л) более магнезиальные, кальциевые и титанистые и менее железистые, чем троктолиты Земли (10В) (см. табл. 9 и рис. 38 б). Не исключено, что лунные троктолиты соответствуют земным меланотроктолитам (гарризитам).

Лунное оливиновое габбро (11Л) более магнезиальное и более титанистое сравнительно с земным (11В). Кроме того, в нем больше  $K_2O$  и  $P_2O_5$  и меньше  $Na_2O$ ,  $CaO$  (см. табл. 9, рис. 38 в). Можно предположить, что на Луне оливиновое меланогаббро, более богато, чем земное, калием и фосфором.

Лунный оливиновый норит (14Л) по химическому составу сходен с земным (14В), отличается от последнего лишь меньшей натриевостью (см. табл. 9, рис. 38 г).

Лунное габбро (15Л) сравнительно с земным (15В) более железистое и марганцовистое, но менее натриевое (см. табл. 9, рис. 38 д). В минеральном составе это проявляется в большем содержании клинопироксена в первом (50—70, против 35—65 % — в земном), а, возможно и в составе клинопироксенов.

Лунное лейкогаббро (см. табл. 9 и рис. 25 е), представляющее лейкократовую разновидность габбро (15бЛ), значительно отличается от земного лейкогаббро — оно более основное ( $<SiO_2$ ) и магнезиальное, более кальциевое и глиноземистое, но менее щелочное ( $Na_2O + K_2O$ ), чем земное (15бВ).

Лунные нориты (16Л) так же как и оливиновые нориты (14Л) по химическому составу сходны с земными, но не похожи на них меньшей натриевостью.

Анортозиты Луны (17Л) в отличие от земных (17В) более основные ( $<SiO_2$ ), более кальциевые и глиноземистые, но менее щелочные ( $<Na_2O + K_2O$ ), (см. табл. 9, рис. 38 з). В минеральном составе это проявляется в большем содержании анортитовой составляющей в плагиоклазе лунных анортозитов (Ap<sub>75—100</sub>, в земных — Ap<sub>50—90</sub>).

## ЗАКЛЮЧЕНИЕ

Лунные магматические породы имеют структуры, свойственные земным изверженным породам, образовавшимся из расплава. Характер структур свидетельствует о существовании среди лунных пород двух классов — вулканического и плутонического. О вулканической природе некоторых пород Луны свидетельствуют и непосредственные наблюдения застывших потоков лавы на Луне, например, в кратере Аристарх и др.

Сходство лунных и земных магматических пород в минеральном и структурном отношениях определило возможность их сопоставления по классификационным принципам, разработанным для земных магматических пород. Основой для классификации последних являлись данные химического и минерального состава, а для вулканических пород главным образом — химического.

Проведенный сравнительный анализ лунных и земных пород позволил выявить.

1. Среди лунных магматических пород обнаруживаются аналоги земных пород как вулканических, так и плутонических классов (пикробазальты, оливиновые базальты, собственно базальты, лей-

кобазальты, меланогаббро, троктолиты, габбро, аортозиты и др.). В данном случае высокая статистическая и геологическая обоснованность выделения земных пород косвенно свидетельствует о надежности выделения их лунных аналогов.

2. Химический состав лунных пород, в общем случае, более мafический (фемический — больше  $MgO$ ,  $MnO$ ,  $TiO_2$  и часто  $FeO$ ), чем у соответствующих земных аналогов. Вместе с тем, для некоторых видов (нориты, оливиновые нориты) наблюдается почти полная аналогия химического состава тех и других. Не исключено, что повышенная мafичность (фемичность) лунных вулканических пород по сравнению с земными объясняется формированием первых в обстановке вакуума. Плавление базальтов в вакууме показывает тенденцию изменения состава расплава к его значительному обогащению  $Ti$ ,  $Al$ ,  $Ca$ ,  $Mg$  и обеднению  $K$ ,  $Na$ ,  $Si$ .

3. Лунные породы одного вида, отобранные в различных районах Луны, обладают сходным или весьма близким и достаточно выдержаным химическим составом. Это, например, широко распространенные на Луне оливиновые базальты, собственно базальты и др., доставленные из различных мест автоматической станцией «Луна-24» и кораблями «Аполлон-11, -12, -14, -15, -17». Точно также близки содержания главнейших компонентов в ильменитовых и оливин-ильменитовых (высокотитанистых) базальтах, доставленных «Аполлон-11, -12, -17».

Тем не менее, мы не исключаем, что на Луне, как и на Земле, существуют петрографические провинции, поскольку выявлено общее подобие магматизма обеих планет. Другие положения, вытекающие из проведенного анализа, более дискуссионны.

Существование непрерывности в составе лунных пород с формированием среди вулканических образований непрерывных рядов — от магнезиального (через умеренно-магнезиальный) до низкомагнезиального и соответствующих каждому ряду видов пород от пикробазальтов до лейкобазальтов, позволяют высказать предположение, что ведущим процессом в образовании лунных магматических пород был процесс кристаллизационной дифференциации. Вместе с тем, образование расплавов, сформировавших редкие породы — пикробазальты и меланогаббройды, по-видимому, происходило иным путем. В общем отмечено, что характер корреляционных связей компонентов в лунных породах отвечает таковым земных магматических пород близкого состава, что скорее всего свидетельствует о принципиальной схожести процессов дифференциации магмы на Земле и на Луне.

В настоящее время общепринята точка зрения о незначительной роли летучих в лунных магматических процессах. Не исключено, однако, что это представление — заблуждение, связанное с характером самого анализируемого материала (в той или иной степени иногда переработанного импактными процессами). Во всяком случае, судя по имеющимся анализам пород, фосфор является ведущим компонентом летучих для некоторых видов пород (двупироксеновые базальты и др.). Можно предположить, что некоторые ле-

тучие имели существенное значение в механизме дифференциации лунных магм.

Геологические наблюдения свидетельствуют о сопоставимости интенсивности проявлений магматизма и, в частности, вулканизма, на обеих планетах в ранние этапы их развития. Близки, по-видимому, и относительные (по отношению к массам планет) количества летучих компонентов, вовлеченных в протомагматизм.

Выводы о наличии дифференционных рядов пород на Луне и схожести процессов дифференциации магм на Земле и Луне, сами классификационные схемы лунных пород, позволяют предполагать наличие на Луне более широкого круга дифференциатов, чем это принято считать в настоящее время. Вероятно, эти породы будут обнаружены при последующих экспедициях на Луну.

## СПИСОК ЛИТЕРАТУРЫ

1. Барсуков В. Л., Дмитриев Л. В., Гаранин А. В. Основные черты геохимии лунных пород.—В кн. Грунт из материкового района Луны. М., Наука, 1979.
2. Богатиков О. А. Петрология и металлогения габбро-сиенитовых комплексов Атлаа-Саянской области. М., Наука, 1966.
3. Вуд Дж. А. Обзор типов лунных пород и сравнение лунной и земной коры.—В кн. Космохимия Луны и планет. Труды Советско-Американской конференции по космохимии Луны и планет. М., Наука, 1975.
4. Геохимические и петрохимические особенности реголита и пород из Моря Кризисов./Барсуков В. Л., Дмитриев Л. В., Тарасов Л. С. и др.—Геохимия, 1977, № 10.
5. Глазунов О. М. Геохимия и петрология габбро-пироксенитовой формации Восточных Саян. Новосибирск, Наука, 1975.
6. Дмитриев Л. В., Уханов А. В., Шараськин А. Я. К вопросу о составе вещества верхней мантии.—Геохимия, 1972, № 10.
7. Заваринский А. Н. Изверженные горные породы. М., Изд. АН СССР, 1956.
8. Классификация и номенклатура магматических горных пород./Андреева Е. Д., Богатиков О. А., Бородаевская М. Б. и др. М., Недра, 1981.
9. Крамбейн У., Кауфмен М., Мак-Кеммон Р. Модели геологических процессов. М., Мир, 1973.
10. Магматические горные породы. Т. 1. Классификация, номенклатура, петрография. Под ред. О. А. Богатикова, В. И. Гоньшаковой. М., Наука, 1983.
11. Некоторые результаты исследования вещественного состава двух проб реголита из Моря Кризисов./Свешникова Е. В., Богатиков О. А., Фрих-Хар Д. И. и др.—В кн.: Лунный грунт из Моря Кризисов. М., Наука, 1980.
12. Петрографический словарь. Под ред. Петрова В. П., Богатикова О. А., Петрова Р. П. М., Недра, 1981.
13. Структуры траппов Сибирской платформы./Лурье М. Л., Леднева В. П., Селивановская Т. В. и др.—Труды ВСЕГЕИ, 1976.
14. Типы пород и химия минералов лунного грунта из Моря Кризисов./Тарасов Л. С., Назаров М. А., Шевалеевский И. Д. и др.—Геохимия, № 10, 1977.
15. Финней В. К., Уорнер Дж. Л., Симондс К. Х. Типы лунных материковых пород и их отношение к процессам ударного фракционирования.—В кн.: Космохимия Луны и планет. Труды Советско-Американской конференции по космохимии Луны и планет. М., Наука, 1975.
16. Фрондел Дж. Минералогия Луны. М., Мир, 1978.
17. Чухров Ф. В. Типоморфизм—важнейшая проблема современной минералогии.—В кн.: Типоморфизм минералов. М., Наука, 1969.
18. Чухров Ф. В., Звягин Б. Б., Соболева С. В. О типоморфности кристаллических структур слоистых силикатов.—В кн.: Состав и структура минералов как показатели их генезиса. М., Наука, 1978.
19. Яковлев О. И. Ультраосновные и кислые породы Луны.—Геохимия, 1977, № 12.
20. Apollo 15 rake sample microbreccias and non-mare rocks: bulk rock mineral and glass electron microprobe analyses./Hlava P. F., Green J. A., Prinz M., et al. Sp. Publ. N 11, 1973, Inst. of Meteoritics, Dep. of Geology New-Mexico Univ., USA.
21. Bence A. E., Grove T. L. and Scambos T. Gabbros from mare crisiūm à an analysis of the Luna 24 soil. Geoph. Res. Lett. v 4, (10), 1977, p 493—496.
22. Bunch T. E., Keil K. and Prinz M. Mineralogy, petrology and chemistry of lunar rock 12039. Meteoritics, 7, (3), 1972, p. 245—255.
23. Bunch T. E., Prinz M., Keil K. Electron microprobe analyses of lithic fragments and glasses from Apollo 12 lunar samples. Sp. Publ. N 4, 1972, Inst. of Meteoritics, Dep. of Geology, New Mexico Univ., USA.
24. Chemical composition of Lunar anorthosites and their parent liquids./

Hubbard N. J., Gast P. W., Meyer C., et al. Earth Planet. Sci. Lett. v. 13 (1), 1971, p. 71.

25. Catalogue of Apollo 15 rake samples from stations 2, (St. George) 7 (Spur Crater), and 9a (Hadley Rille)./Dowty E., Conrad G. H., Green J. A., et al. Sp. Publ. N 8, 1973, Inst. of Meteoritics, Dep. of Geology, New-Mexico Univ., USA.

26. Dickey, John S. Nickel-iron in Lunar anorthosites. Earth Planet. Sci. Lett. v. 8 (6), 1970, p. 387—392.

27 Dowty E., Keil K. and Prinz M. Llynar Pyroxene—Phyric Basalts: Crystallization Under Supercooled Conditions. J. of Petrology v 15 (3), 1974, p. 419—453.

28. Dowty E., Prinz M., and Keil K. Ferroan anorthosite: a widespread and distinctive lunar rock type. Earth Planet Sci. Lett. v 24 (1), 1974, p. 15—25.

29. Drake M. J. and Weill D. F. Petrology of Apollo 11 sample 10071, a differentiated mini-igneous complex. Earth Planet. Sci. Lett. v 13 (1), 1971, p. 61.

30. Electron microprobe analyses of lithic fragments, glasses, chondrules, and minerals in Apollo 14 samples./Prinz M., Nehru C. E., Kurat G., et al. Sp. Publ. N 6, 1973, p. 1—38. Inst. of Meteoritics, Dep. of Geology, New-Mexico Univ., USA.

31. Engelhardt W., Stengelin R. Normative composition and classification of lunar igneous rocks and glasses. I. Lunar igneous rocks. Earth and Planetary Science Letters, v 42, N 2, 1979, pp. 213—222.

32. Gast P. W., Phinney W. C., Duke M. B., et al. Apollo 17 Lunar Samples: Chemical and Petrographic Description. Science, 1973, v 182 (4113), p. 659—672.

33. Gay P., Bown M. G., Rickson K.O. Mineralogical studies of lunar rock 12013, 10. Earth and Planet. Sci. Lett., v (2), 1970, p. 124—126.

34. Green D. H., Ware N. G., Hibberson W. O. and Major A. Experimental petrology of Apollo 12 basalts: part 1, sample 12009. Earth Planet. Sci. Lett. v 13 (1), 1971, p. 85—96.

35. Hollister L. S. and Kulick C. G. Luna 16 sample G 36: another crystalline product of an extremely mafic magma. Earth Planet. Sci. Lett. v 13 (2), 1972, p. 312—315.

36. Meteoritefree Apollo 15 crystalline KREEP./Dowty E., Keil K., Prinz M., et al. Proc 7th Lunar Sci. Conf., 1976, v. 2, p. 1833—1844.

37. Mineralogy, petrology, and chemistry of a Luna 16 basaltic fragment, sample B—1./Albee A. L., Chodos A. A., Gancarz A. J., et al. Earth Planet. Sci. Lett., v 13 (2), 1972, p. 353.

38. Minkin J. A., Thomson C. L., Chao E. C. T. Apollo 16 white boulder consortium samples 67455 and 67475: petrologic investigation. Proc. Lunar Sci 8th v 2, 1977, p. 1967—1986.

39. Petrologic History of Moon Suggested by Petrography, Mineralogy, and Crystallography./Anderson A. T., Grewe A. V., Goldsmith J. R., et al. Science, v. 167 (3918), 1970, p. 587—590.

40. Petrology, mineralogy and classification of Apollo 15 mare basalts./Brown G. M., Emeleus C. H., Holland J. G., et al. In, The Apollo 15 Lunar Samples, 1972, p. 40—44.

41. Petrology of a stratified boulder from South massif. Stoesser D. B., Marvin U. B., Wood J. A., et al. Proc. 5th Lunar Sci. Conf. 1974, v. 1, p. 355—377.

42. Prinz M., Bunch T. E., Keil K. Electron microprobe analyses of lithic fragments and glasses from Apollo 11 Lunar samples. Sp. Publ. N 2, 1971, p. 14 Inst. of Meteoritics, Dep. of Geology, New-Mexico Univ., USA.

43. Pyroxferroite, a new calcium bearing iron silicate from Tranquillity Base./Chao E. C. T. and Mincin J. A., et al. Proc. Apollo 11 Lunar Sci. Conf., 1970, v. 1, p. 65—79.

44. Recommended classification and nomenclature of Lunar highland rocks—a committee report./Stöffler D., Knöll H. D., Marvin U. B., et al. «Proc. Conf. Lunar Highlands Crust, Houston, Tex., Nov. 14—16, 1979» New York e. a., 1980, 51—70.

45. Rhodes J. M. and Hubbard N. J. Chemistry, classification and petrogenesis of Apollo 15 mare basalts. Proc. 4th Lunar Sci. Conf. 1973, v. 2, p. 1127—1148.

46. Stoesser D. B., Ryder G., Marvin U. B. Lunar Granite Clasts With Unique

Ternary Feldspars. Abstr. of papers Submit. to 6th Lunar Sci. Conf., 1975, p. 780—782.

47. Steele I. M. and Smith J. V. Mineral and bulk compositions of three fragments from Luna 16. Earth Planet. Sci. Lett. v. 13 (2), 1970, p. 323—327.
48. The Apollo 11 samples: Introduction/Schmitt H. H. H., Lofgren G., Swann G. A., et al. Proc. Apollo 11 Lunar Sci Conf. Houston, 1970, v. 1, p. 1—54.
49. Wood J. A. Petrology of the Lunar soil and Geophysical Implications. Journal of Geophysical Research. v. 75, N 32, 1970. Published by the American Geophysical Union. p. 6497—6513.

## ОГЛАВЛЕНИЕ

<b>Введение</b>	3
<b>Глава I. Общая систематика магматических пород</b>	7
<b>Глава II. Классификация магматических пород основного состава</b>	12
Основные вулканические породы	15
Основные плутонические породы	38
<b>Глава III. Ультраосновные, средние и кислые магматические породы</b>	48
<b>Глава IV. Сравнительный анализ лунных и земных основных магматических пород</b>	52
<b>Заключение</b>	66
<b>Список литературы</b>	69

Олег Алексеевич Богатиков,  
Валентина Ивановна Гоньшакова,  
Дмитрий Иосифович Фрих-Хар и др.

### КЛАССИФИКАЦИЯ ЛУННЫХ МАГМАТИЧЕСКИХ ПОРОД

Редактор издательства *И. Ф. Искра*  
Обложка художника *А. Е. Григорьева*  
Художественный редактор *Г. Н. Юрчевская*  
Технический редактор *О. Ю. Цицевская*  
Корректор *Л. В. Сметанина*

ИБ № 6333

Сдано в набор 04.06.85. Подписано в печать 05.08.85. Т-13788. Формат 60×90<sup>1/16</sup>.  
Бумага типографская № 1. Гарнитура «Литературная». Печать высокая. Усл. печ. л. 4,5.  
Усл. кр.-отт. 4,75. Уч.-изд. л. 5,0. Тираж 1470 экз. Заказ 421/573-1. Цена 25 коп.

Ордена «Знак Почета» издательство «Недра», 103633, Москва, К-12,  
Третьяковский проезд, 1/19.

Московская типография № 6 Союзполиграфпрома при Государственном комитете СССР  
по делам издательств, полиграфии и книжной торговли.  
109088, Москва, Ж-88, Южнопортовая ул., 24.

25 коп.

4760

1  
ЕОИ

НЕДРА